UNIVERSIDAD NACIONAL DEL SANTA FACULTAD DE INGENIERÍA ESCUELA PROFESIONAL DE INGENIERÍA EN ENERGÍA



Análisis comparativo entre la eficiencia energética con paneles fotovoltaicos monofaciales y bifaciales en la Universidad Nacional del Santa

Tesis para obtener el Título Profesional de Ingeniero en Energía

Autor:

Bach. Toribio Arroyo, Diego

Código ORCID: 0009-0003-2259-7901

Asesor:

Dr. Aranguri Cayetano, Denis Javier

DNI N°: 42009679

Código ORCID: 0000-0002-6119-2072

Nuevo Chimbote – Perú 2025

UNIVERSIDAD NACIONAL DEL SANTA FACULTAD DE INGENIERÍA ESCUELA PROFESIONAL DE INGENIERÍA EN ENERGÍA



CONFORMIDAD DEL ASESOR

La presente Tesis para Título ha sido revisada y desarrollada en cumplimiento del objetivo propuesto y reúne las condiciones formales y metodológicas, estando encuadrado dentro de las áreas y líneas de investigación conforme al Reglamento General para obtener el Título Profesional en la Universidad Nacional del Santa (Resolución N° 337-2024-CU-R-UNS) de acuerdo con la denominación siguiente:

TESIS PARA OBTENER EL TÍTULO PROFESIONAL DE INGENIERO EN ENERGÍA

Análisis comparativo entre la eficiencia energética con paneles fotovoltaicos monofaciales y bifaciales en la Universidad Nacional del Santa

AUTOR:

Bach. Toribio Arroyo, Diego

Dr. Arangurí Cayetano, Denis Javier

DNY: 42009679

Código ORCID: 0000-0002-6119-2072

UNIVERSIDAD NACIONAL DEL SANTA FACULTAD DE INGENIERÍA ESCUELA PROFESIONAL DE INGENIERÍA EN ENERGÍA



CONFORMIDAD DEL JURADO EVALUADOR

El presente Jurado Evaluador da la conformidad del presente informe, desarrollado en cumplimiento del objetivo propuesto y presentado con forme al Reglamento General para obtener el Título Profesional en la Universidad Nacional del Santa, titulado:

Análisis comparativo entre la eficiencia energética con paneles fotovoltaicos monofaciales y bifaciales en la Universidad Nacional del Santa

AUTOR:

Bach. Toribio Arroyo, Diego

Revisado y evaluado por el siguiente Jurado Evaluador:

Dr. Herradda Villanueva. Joe

PRES DENTE DNI: 17870920

Código ORCID: 0000-0002-8791-8994

Mg. Rojas Ffores, Amancio Ramiro

SECRETARIO

DNI: 32806061

Código ORCID: 0000-0003-4897-7585

Dr. Arangurí Cayetano, Denis Javier

INTEGRANTE

DNI: 42009679

Código ORCID: 0000-0002-6119-2072



FACULTAD DE INGENIERIA

Dirección E.P. de Ingeniería en Energía

ACTA DE SUSTENTACIÓN DE TESIS

Siendo las 11:00 a.m., del día viernes 19 del mes de setiembre del año dos mil veinticinco, en el Aula E-3 de la Escuela Profesional de Ingeniería en Energía, en cumplimiento al Art. 68 del Reglamento General de Grados y Títulos, aprobado con Resolución N°337-2024-CU-R-UNS de fecha 12.04.24, se instaló el Jurado Evaluador designado mediante **Resolución Nº 326-2025-UNS-CFI** de fecha 03.07.2025., integrado por los siguientes docentes:

| Dr. Joel Herradda Villanueva | : | Presidente |
|------------------------------------|---|-------------|
| Mg. Amancio Ramiro Rojas Flores | : | Secretario |
| Dr. Denis Javier Arangurí Cayetano | : | Integrante |
| M.Sc. César Luis López Aguilar | : | Accesitario |

Y según la Resolución Decanal N°625-2025-UNS-FI de fecha 12.09.2025, se DECLARA EXPEDITO a la bachiller para dar inicio a la sustentación y evaluación de Tesis, titulada: "ANÁLISIS COMPARATIVO DE LA EFICIENCIA ENERGÉTICA ENTRE PANELES FOTOVOLTAICOS MONOFACIALES Y BIFACIALES EN LA UNIVERSIDAD NACIONAL DEL SANTA", perteneciente al bachiller: TORIBIO ARROYO DIEGO, con código de matrícula N° 0201611038, teniendo como asesor al docente Dr. Denis Javier Arangurí Cayetano, según Resolución Decanal N°205-2024-UNS-FI de fecha 26.04.24.

Terminada la sustentación del bachiller, respondió las preguntas formuladas por los miembros del jurado y el público presente.

El Jurado después de deliberar sobre aspectos relacionados con el trabajo, contenido y sustentación del mismo y con las sugerencias pertinentes, en concordancia con el artículo 73° del Reglamento General de Grados y Títulos de la Universidad Nacional del Santa, declara:

| BACHILLER | PROMEDIO | PONDERACIÓN |
|----------------------|----------|-------------|
| TORIBIO ARROYO DIEGO | 16 | Regular |

Siendo las 12:00 p.m. del mismo día, se da por terminado el acto de sustentación, firmando los integrantes del jurado en señal de conformidad.

Dr. Joel Herradda Villanueva

Mg. Amancio Ramiro Rojas Flores

Dr. Denis Javier Arangurí Cayetano INTEGRANTE

RECIBO TURNITIN



Recibo digital

Este recibo confirma quesu trabajo ha sido recibido por Turnitin. A continuación podrá ver la información del recibo con respecto a su entrega.

La primera página de tus entregas se muestra abajo.

Autor de la entrega: Diego Toribio Arroyo

Título del ejercicio: Revisión PTT. Diego Toribio

Título de la entrega: TESIS FINAL TORIBIO 2025.pdf

Nombre del archivo: TESIS_FINAL_TORIBIO_2025.pdf

Tamaño del archivo: 5.74M
Total páginas: 96
Total de palabras: 16,006
Total de caracteres: 95,876

Fecha de entrega: 27-mar.-2025 09:43a. m. (UTC-0500)

Identificador de la entrega: 2472745386

UNIVERSIDAD NACIONAL DEL SANTA
FACULTAD DE INGENIERÍA
ESCUELA ACADÉMICO PROFESIONAL DE INGENIERÍA EN
ENERGÍA

JUNES
UNIVERSIDAD

Análitàs comparativo entre la eficiencia energida con punches
fotavoltaicos monofaciales y bifaciales en la Universidad Nacional del
Santa

Tesia para obtener el Tindo Profesional de Ingeniero en Energia
Análor:
Bach. Toribos Armyo, Diego
Código ORCID: 0009/0032-2399-7901

Anáson:
De. Anangun Coystano, Denis Javier
DNI N°: 2009/679
Código ORCID: 0000.0002-6119-2072.

Nuero Chimbote - Perrit
202-503-10

Derechos de autor 2025 Turnitin. Todos los derechos reservados.

REPORTE PORCENTUAL DE TURNITIN

TESIS FINAL TORIBIO 2025.pdf

| INFORME DE ORIGINALIDAD | |
|--|-----|
| 15% 15% 2% 5% INDICE DE SIMILITUD FUENTES DE INTERNET PUBLICACIONES ESTUDIANTE | |
| FUENTES PRIMARIAS | |
| repositorio.uns.edu.pe Fuente de Internet | 8% |
| 2 hdl.handle.net Fuente de Internet | 2% |
| repositorio.unaj.edu.pe Fuente de Internet | 1% |
| repositorio.uni.edu.pe Fuente de Internet | 1% |
| repositorio.untrm.edu.pe Fuente de Internet | <1% |
| Submitted to Pontificia Universidad Catolica del Peru Trabajo del estudiante | <1% |
| Submitted to Universidad Nacional del Santa Trabajo del estudiante | <1% |
| patents.google.com Fuente de Internet | <1% |
| 9 repositorio.unan.edu.ni | |

DEDICATORIA

A Dios primero, por darme la vida y las fuerzas necesarias para lograr mis objetivos personales y profesionales.

A mis padres, quienes me brindan su confianza y apoyo incondicional, además de sus sabios consejos para poder mantenerme firme y constante en mi carrera profesional.

A mis hermanos por darme siempre su apoyo y confianza, y estar siempre presentes en cada objetivo logrado

DIEGO TORIBIO

AGRADECIMIENTO

A toda la plana docente de la EAP de Ingeniería en Energía por las enseñanzas brindadas y por su loable labor para impartir conocimiento en el transcurso de mi formación universitaria.

A mi asesor de tesis DENIS JAVIER ARANGURI CAYETANO, por siempre brindarme sus consejos, conocimientos y enseñanzas que me ayudaron en la realización del proyecto de tesis.

El autor

ÍNDICE GENERAL

| CARÁTULA | <i></i> | i |
|-----------|--------------------------------------|------|
| CONFORM | IDAD DEL ASESOR | ii |
| CONFORM | IDAD DEL JURADO EVALUADOR | iii |
| ACTA DE S | USTENTACIÓN DE TESIS | iv |
| RECIBO TU | JRNITIN | v |
| REPORTE F | PORCENTUAL DE TURNITIN | vi |
| DEDICATO | RIA | vii |
| AGRADECI | IMIENTO | viii |
| ÍNDICE GE | NERAL | ix |
| ÍNDICE DE | TABLAS | xi |
| ÍNDICE DE | FIGURAS | xii |
| ÍNDICE DE | ANEXOS | xiii |
| RESUMEN. | | xiv |
| ABSTRACT | ¬ | xv |
| I. INTRO | DUCCIÓN | 16 |
| 1.1. DES | SCRIPCIÓN Y FORMULACIÓN DEL PROBLEMA | 16 |
| 1.1.1. | Realidad problemática | 16 |
| 1.1.2. | Enunciado del problema | 18 |
| 1.2. OB. | JETIVOS | 18 |
| 1.2.1. | Objetivo general | 18 |
| 1.2.2. | Objetivos específicos | 18 |
| 1.3. FOI | RMULACIÓN DE LA HIPÓTESIS | 18 |
| 1.4. JUS | STIFICACIÓN E IMPORTANCIA | |
| 1.4.1. | Justificación teórica | |
| 1.4.2. | Justificación metodológica | |
| 1.4.3. | Justificación práctica | |
| 1.4.4. | Justificación social | |
| | O TEÓRICO | |
| | TECEDENTES | |
| 2.1.1. | Antecedentes internacionales | |
| 2.1.2. | Antecedentes Nacionales | |
| | RCO CONCEPTUAL | |
| 2.2.1. | Energía solar fotovoltaica | 26 |

| 2.2. | 2. Tecnología de la celda solar | 27 |
|---------|--|----|
| 2.2. | 3. Paneles fotovoltaicos monofaciales y bifaciales | 28 |
| 2.2. | 4. Funcionamiento de los paneles bifaciales | 29 |
| 2.2. | .5. Albedo | 30 |
| 2.2. | .6. Software PVsyst | 31 |
| III. | METODOLOGÍA | |
| 3.1. | RECURSOS | |
| 3.1. | 1. Recursos humanos | 33 |
| 3.2. | MATERIALES | |
| 3.2. | 1. Físicos (equipos, materiales, instrumentos) | |
| 3.2. | 2. No físicos (softwares especializados) | 33 |
| 3.3. | MÉTODOS | 33 |
| 3.3. | 1. Identificación de variables | |
| 3.3. | 2. Operacionalización de las variables de la investigación | 34 |
| 3.3. | 3. Métodos de la investigación | 35 |
| 3.3. | 4. Procedimiento de la investigación | 36 |
| 3.3 | 5. Limitaciones de la investigación | 37 |
| 3.3. | .6. Diseño de la investigación | 37 |
| 3.3. | 7. Población y muestra | 38 |
| 3.3. | 8. Técnicas e instrumentos para la recolección de datos | 38 |
| 3.3. | 9. Técnicas de procesamiento y análisis de los resultados | 39 |
| IV. RES | SULTADOS Y DISCUSIÓN | 40 |
| 4.1. | RESULTADOS | 40 |
| 4.2. | DISCUSIÓN | 61 |
| V. CO | NCLUSIONES Y RECOMENDACIONES | 64 |
| 5.1. | CONCLUSIONES | 64 |
| 5.2. | RECOMENDACIONES | 65 |
| VI. REI | FERENCIAS BIBLIOGRÁFICAS Y VIRTUALES | 66 |
| VII AN | | 70 |

ÍNDICE DE TABLAS

| Tabla 1 Características físicas y ambientales del entorno de estudio | 41 |
|--|----|
| Tabla 2 Características eléctricas del suministro | 42 |
| Tabla 3 Irradiación mensual para el recinto | 45 |
| Tabla 4 Indicadores técnicos para el sistema con tecnología monofacial | 49 |
| Tabla 5 Indicadores técnicos para el sistema con tecnología bifacial | 50 |
| Tabla 6 Indicadores económicos para el sistema con tecnología monofacial | 53 |
| Tabla 7 Indicadores económicos para el sistema con tecnología bifacial | 53 |
| Tabla 8 Emisiones asociadas de CO ₂ para el sistema con tecnología monofacial | 56 |
| Tabla 9 Emisiones asociadas de CO ₂ para el sistema con tecnología bifacial | 56 |
| Tabla 10 Prueba de normalidad rendimiento final del sistema | 57 |
| Tabla 11 Prueba t de student rendimiento final del sistema | 58 |
| Tabla 12 Prueba de normalidad LCOE del sistema | 58 |
| Tabla 13 Prueba t de student LCOE del sistema | 58 |
| Tabla 14 Prueba de normalidad emisiones de CO ₂ reemplazadas del sistema | 59 |
| Tabla 15 Prueba t de student emisiones de CO ₂ reemplazadas del sistema | 59 |
| Tabla 16 Sistema fotovoltaico escogido | 60 |

ÍNDICE DE FIGURAS

| Figura 1 Porcentaje de la capacidad acumulada por tecnología, 2010-2027 | 26 |
|--|----|
| Figura 2 Estructura de una celda solar | 27 |
| Figura 3 Estructura modulo monofacial y bifacial | 28 |
| Figura 4 Configuraciones de instalaciones para paneles monofaciales y bifaciales | 30 |
| Figura 5 Interfaz gráfica del software PVsyst | 31 |
| Figura 6 Ubicación del Edificio Administrativo | 40 |
| Figura 7 Mapa interactivo PVsyst | 42 |
| Figura 8 Selección de la base de datos PVsyst | 43 |
| Figura 9 Data climatológica mensual PVsyst | 44 |
| Figura 10 Irradiación global horizontal e inclinada para el recinto | 46 |
| Figura 11 Orientación de los módulos fotovoltaicos | 47 |
| Figura 12 Perfil de carga diario | 48 |
| Figura 13 Requerimiento energético diario | 48 |
| Figura 14 Producción del sistema anual monofacial vs bifacial | 51 |
| Figura 15 Producción específica anual monofacial vs bifacial | 51 |
| Figura 16 Fracción solar monofacial vs bifacial | 52 |
| Figura 17 Rendimiento final del sistema monofacial vs bifacial | 52 |
| Figura 18 Valor actual neto monofacial vs bifacial | 54 |
| Figura 19 Tasa interna de retorno monofacial vs bifacial | 54 |
| Figura 20 Periodo recuperación de inversión monofacial vs bifacial | 55 |
| Figura 21 Costo nivelado de la energía monofacial vs bifacial | 55 |
| Figura 22 Emisiones de CO ₂ reemplazadas monofacial vs bifacial | 57 |

ÍNDICE DE ANEXOS

| Anexo 1: Matriz de Consistencia | 70 |
|--|----|
| Anexo 2: Matriz de operacionalización de las variables | 72 |
| Anexo 3: Ficha de observación | 73 |
| Anexo 4: Formato N° 04 | 74 |
| Anexo 5: Render de sombreados cercanos | 75 |
| Anexo 6: Diagrama de sombreado | 76 |
| Anexo 7: Diagrama de sankey del sistema | 77 |
| Anexo 8: Balance energético y resultados principales | 78 |
| Anexo 9: Necesidades del usuario y uso energético | 79 |
| Anexo 10: Reporte PVsyst sistema óptimo | 80 |
| Anexo 11: Ficha técnica módulo fotovoltaico | 96 |
| Anexo 12: Ficha técnica inversor fotovoltaico | 98 |

RESUMEN

En la presente investigación analiza el impacto energético de los paneles fotovoltaicos monofaciales y bifaciales en el Edificio Administrativo del Campus I de la Universidad Nacional del Santa. Se realizó una simulación con el software PVsyst para comparar el desempeño técnico y económico de ambas tecnologías, considerando parámetros como la producción de energía, el rendimiento del sistema, la inversión inicial y el Costo Nivelado de Energía (LCOE). Los resultados revelan que los paneles bifaciales presentan un rendimiento superior, con un aumento del 5.34 % en la producción energética en comparación con los monofaciales. Además, aunque su inversión inicial es mayor, ofrecen un retorno de inversión más rápido debido a su eficiencia mejorada. Desde un enfoque ambientalista, los paneles bifaciales permiten una mayor reducción de emisiones de CO₂, contribuyendo a la sostenibilidad institucional. El estudio concluye que la implementación de tecnología bifacial es la opción más viable para optimizar el consumo eléctrico en la universidad. Los resultados del estudio permiten recomendar el desarrollo de estrategias de instalación que maximicen la captación de radiación reflejada y realizar un monitoreo continuo del sistema. Estos hallazgos pueden servir de referencia para futuras iniciativas de energías renovables en instituciones educativas y entornos urbanos.

PALABRAS CLAVES: Panel fotovoltaico monofacial, panel fotovoltaico bifacial, impacto energético, PVsyst, análisis comparativo.

ABSTRACT

The present research analyses the energy impact of single-facial and bifacial photovoltaic

panels in the Administrative Building of Campus I of the Universidad Nacional del Santa.

A simulation was carried out with PVsyst software to compare the technical and economic

performance of both technologies, considering parameters such as energy production,

system performance, initial investment and Levelized Cost of Energy (LCOE). The results

reveal that bifacial panels have a superior performance, with a 5.34 % increase in energy

production compared to monofacial panels. In addition, although their initial investment is

higher, they offer a faster return on investment due to their improved efficiency. From an

environmental perspective, bifacial panels allow for a greater reduction of CO2 emissions,

contributing to institutional sustainability. The study concludes that the implementation of

bifacial technology is the most viable option to optimize electricity consumption at

university. It is recommended to develop installation strategies that maximize reflected

radiation capture and to carry out continuous monitoring of the system. These findings can

serve as a reference for future renewable energy initiatives in educational institutions and

urban environments.

KEY WORDS: Monofacial photovoltaic panel, bifacial photovoltaic panel, energy impact,

PVsyst, comparative analysis.

XV

I. INTRODUCCIÓN

1.1. DESCRIPCIÓN Y FORMULACIÓN DEL PROBLEMA

1.1.1. Realidad problemática

La transición energética, explicada por la Agencia Internacional de la Energía (IEA, 2023a), en el marco del ascenso de una nueva economía basada en energías limpias e impulsada por la energía solar fotovoltaica, se presenta como una hoja de ruta fundamental para alcanzar la neutralidad de carbono. Este proceso no solo implica un cambio en la matriz energética, sino también transformaciones profundas en la conceptualización y gestión de los recursos. La IEA (2023b), subraya el elevado potencial renovable que ofrece la oportunidad de mejorar la ya extremadamente limpia industria eléctrica de América Latina y el Caribe, apuntando hacia un futuro más resiliente y equitativo, lo que demanda la colaboración integral de gobiernos, industrias y la sociedad en su conjunto.

La energía solar fotovoltaica emerge como un pilar fundamental en la lucha contra el cambio climático y desempeña un papel crucial en la necesaria transición hacia fuentes de energía más sostenibles. Según Jäger-Waldau (2023), tras superar una capacidad fotovoltaica instalada acumulada de más de 1 TWp en 2022, se proyecta alcanzar la marca de los 2 TWp en 2025. En 2022, la producción de energía solar fotovoltaica registró un aumento récord del 26 %, alcanzando unos 1300 TWh, superando por primera vez a la energía eólica en el aumento absoluto de generación (Bojek, 2023).

A pesar del dominio de los paneles monofaciales en el mercado, las limitaciones inherentes de esta tecnología como la escasa eficiencia en la generación de energía, la gran superficie de suelo requerida y los costos elevados han obstaculizado su crecimiento y promoción (Zhong et al., 2023; Raina & Sinha, 2022; Khan et al., 2021). En este contexto, la reciente introducción de la tecnología fotovoltaica bifacial ha despertado un interés renovado. La propiedad bifacial, que permite aprovechar la radiación solar incidente desde ambas caras, ofrece ventajas en términos de ahorro de costos y espacio, ya que la alta densidad energética de los módulos bifaciales se traduce en mayor energía para una misma superficie. La Agencia Internacional de la Energía: Programa de Sistemas de Energía Fotovoltaica (IEA-PVPS, 2023), destaca que, a pesar de los mayores costos de instalación, los módulos bifaciales están adquiriendo una ventaja competitiva, ya que el uso de estos módulos solo implica un aumento leve en el gasto de inversión

inicial (CAPEX), pero permite un costo nivelado de la energía (LCOE) significativamente menor.

En la realidad peruana, el crecimiento de las instalaciones fotovoltaicas es evidente. Según el Organismo Supervisor de la Inversión en Energía y Minería (OSINERGMIN, 2023), existen 9 proyectos de centrales solares a nivel nacional, de los cuales 5 planean utilizar la tecnología bifacial. Proyectos destacados incluyen la Central Solar Clemesí de 114,93 MW en operaciones finales de prueba y la Central Solar Hanaqpampa de 300 MW, cuya construcción está programada para iniciar en 2024 en el departamento de Moquegua.

A nivel local, la empresa Enel X Perú y SIDERPERU pusieron en funcionamiento una planta solar de 500 kWp en junio de 2023, estimando generar 850 MWh anuales y mitigar 170 toneladas de CO₂, reduciendo la huella de carbono de la empresa siderúrgica (Milla, 2023). Asimismo, el Programa Masivo Fotovoltaico para Zonas Aisladas No Conectadas a Red, supervisado por Hidrandina, ha permitido la electrificación de poblaciones rurales mediante kits solares con respaldo de baterías (La República, 2022). En el distrito de Huarmey, la empresa Antamina ha impulsado la instalación de sistemas fotovoltaicos aislados para mejorar la calidad de vida en dos asentamientos humanos del distrito mencionado (Cruz, 2022).

Estos esfuerzos indican que en el país y a nivel local se reconoce a la energía solar como un elemento clave en la mitigación de los problemas ambientales. Es por ello por lo que la investigación se enfoca en proporcionar información valiosa para promover el uso de fuentes de energía renovables en la matriz energética de la Universidad Nacional del Santa, reduciendo así su huella de carbono asociada a sus consumos eléctricos. Además de abordar integralmente la sostenibilidad de los paneles bifaciales para la toma de decisiones ambientalmente responsables. Dado que la institución desempeña un papel socioformativo y se enmarca en fomentar la investigación y el desarrollo tanto a nivel local como nacional, al impulsar la colaboración con la industria, se entiende que, las investigaciones enmarcadas en la neutralidad de carbono, la transición energética y la generación de energía limpia contribuyen en la necesidad de la institución de posicionarse como un enlace entre las problemáticas sociales y ambientales con la comunidad universitaria.

1.1.2. Enunciado del problema

¿En qué porcentaje una tecnología de paneles fotovoltaicos maximiza el impacto energético para satisfacer las demandas energéticas del Edificio Administrativo del Campus I de la Universidad Nacional del Santa?

1.2. OBJETIVOS

1.2.1. Objetivo general

Analizar el impacto energético de las tecnologías de paneles fotovoltaicos monofaciales y bifaciales para satisfacer las demandas energéticas del Edificio Administrativo del Campus I de la Universidad Nacional del Santa.

1.2.2. Objetivos específicos

- Analizar las condiciones ambientales y las características técnicas del entorno del Edificio Administrativo del Campus I de la Universidad Nacional del Santa.
- Comparar simulaciones de los indicadores técnicos de los paneles fotovoltaicos monofaciales y bifaciales utilizando el software especializado PVsyst 8.0.7.
- Comparar los indicadores económicos de ambas tecnologías.
- Evaluar la sensibilidad económica de los sistemas fotovoltaicos propuestos.
- Cuantificar la reducción de emisiones de CO₂ asociada a cada tecnología.

1.3. FORMULACIÓN DE LA HIPÓTESIS

Los paneles fotovoltaicos bifaciales presentan un impacto energético superior en un 10%, en comparación con la tecnología de los paneles fotovoltaicos monofaciales, para satisfacer las demandas energéticas del Edificio Administrativo del Campus I de la Universidad Nacional del Santa.

1.4. JUSTIFICACIÓN E IMPORTANCIA

Se presenta la justificación e importancia que respaldan la elección del estudio.

1.4.1. Justificación teórica

La transición energética hacia fuentes renovables es un componente fundamental en la lucha global contra el cambio climático. En este contexto, los paneles fotovoltaicos se destacan como una de las tecnologías más efectivas y ampliamente adoptadas. Sin embargo, la evolución de esta tecnología ha generado nuevas variantes, como los paneles bifaciales, que prometen superar las limitaciones de los paneles monofaciales tradicionales. A pesar del creciente interés y de la incorporación de paneles bifaciales en diversos proyectos a nivel internacional, existe una escasez de estudios comparativos que analicen en profundidad su desempeño en contextos específicos como el de la Universidad Nacional del Santa. Esta investigación, por tanto, se justifica teóricamente al contribuir con un marco conceptual que permitió evaluar de manera exhaustiva el impacto energético de ambas tecnologías, proporcionando así una base sólida para futuras investigaciones en entornos similares.

1.4.2. Justificación metodológica

La metodología de esta investigación se centra en la aplicación de simulaciones con el software PVsyst, reconocido por su capacidad para modelar y analizar sistemas fotovoltaicos bajo diversas condiciones climáticas y de instalación. La elección de este software se justificó por su precisión y aceptación en la comunidad científica para la evaluación de proyectos solares. La comparación entre paneles monofaciales y bifaciales no solo se basó en la eficiencia energética, sino también en la rentabilidad económica y el impacto ambiental, lo que permitió una evaluación integral del rendimiento de ambas tecnologías. Este enfoque metodológico fue esencial para obtener resultados precisos que puedan ser aplicados directamente en la toma de decisiones dentro de la Universidad Nacional del Santa, y potencialmente replicados en otros contextos con características similares.

1.4.3. Justificación práctica

Desde una perspectiva práctica, la investigación buscó responder a la necesidad urgente de optimizar el consumo energético en instituciones educativas, donde la sostenibilidad y la reducción de costos operativos son objetivos prioritarios. En particular, la

Universidad Nacional del Santa, al adoptar la tecnología fotovoltaica más adecuada, puede no solo reducir su huella de carbono, sino también disminuir sus gastos en energía, liberando recursos para otros fines académicos. Este estudio proporcionó una guía práctica para la implementación de sistemas fotovoltaicos eficientes, facilitando la transición hacia energías renovables en el campus y sirviendo como modelo para otras instituciones en el país.

1.4.4. Justificación social

La relevancia social de esta investigación radicó en su contribución a la promoción de tecnologías limpias y sostenibles en el ámbito educativo. La adopción de paneles fotovoltaicos no solo mejora la eficiencia energética de la universidad, sino que también refuerza su compromiso con la mitigación del cambio climático. Al promover prácticas sostenibles y reducir las emisiones de CO₂, la universidad no solo mejora su imagen institucional, sino que también inspira a otras organizaciones a seguir un camino similar, creando un impacto positivo en la comunidad y contribuyendo al bienestar social y ambiental.

II. MARCO TEÓRICO

2.1. ANTECEDENTES

En la investigación, presentamos los siguientes antecedentes

2.1.1. Antecedentes internacionales

M. Prasad & R. Prasad (2023), en su investigación titulada "Energía solar fotovoltaica conectada a la red bifacial frente a monofacial para islas pequeñas: El caso de Fiyi", se enfocaron en el estudio y comparación tanto tecnológica como económica, entre un parque solar bifacial conectado a la red y un parque solar monofacial en Fiyi. En el estudio se consideraron datos meteorológicos históricos de los últimos 17 años y parámetros relevantes de la red, utilizando el programa PVsyst para el modelado y análisis. El diseño de ambos huertos solares se basó en la maximización del área mediante el software, evaluando diversos ángulos de inclinación para optimizar la recolección de energía. Desde el punto de vista económico, el periodo de recuperación de la inversión para un huerto solar bifacial calculado fue de 6,24 años, siendo menor que el valor calculado para un huerto solar monofacial (6,72 años). Los resultados

indicaron que el huerto solar bifacial presenta un potencial anual de producción de energía de 22,149 MWh y un coeficiente de rendimiento de 93,13%. El costo nivelado de la energía (LCOE) para el parque bifacial fue inferior (12,34 céntimos\$/kWh), con un significativo potencial de reducción de GEI (28 184 176,53 kgCO₂eq/año). Por otro lado, el huerto solar monofacial generó una capacidad anual de 20,448 MWh, con un coeficiente de rendimiento de 85,26%, y un LCOE de 13,29 céntimos\$/kWh. En conclusión, el huerto solar bifacial conectado a la red se erigió como la opción preferible, destacando por su mayor potencial energético, una reducción sustancial de los GEI y un LCOE más bajo.

Kahar et al. (2023), presentaron en su investigación titulada "Análisis comparativo de sistemas solares fotovoltaicos bifaciales conectados a la red y monofaciales estándar", el diseño de un sistema solar fotovoltaico centrado en el modelado a partir de paneles bifaciales y monofaciales a gran escala, utilizando el software PVsyst. Para ello, se modelaron dos sistemas independientes con una capacidad total de 1 MW que tenían características casi similares. La energía total anual calculada inyectada a la red por el sistema bifacial fue de 1699,6 MWh, con una media de 4,57 kWh/kWp/día. La energía total vertida a la red para el sistema monofacial durante el año fue de 1645,3 MWh, con una media de 4,05 kWh/kWp/día. Las pérdidas medias de captación de los módulos bifaciales y monofaciales fueron de 0,33 y 0,82 kWh/kWp/día, respectivamente, con unas pérdidas del sistema de 0,15 y 0,18 kWh/kWp/día (bifaciales y monofaciales). Los valores de rendimiento medio bifacial y monofacial fueron de 0,904 y 0,801, respectivamente. En este escenario, el sistema bifacial presentó una irradiación adicional en el reflejo del suelo de 1309 kWh/m² con una superficie de 18954 m². El sistema fotovoltaico bifacial generó un beneficio en términos de retorno de la inversión (ROI) de aproximadamente 357 % y alcanzó el punto de equilibrio en unos 7 años. Mientras que el sistema fotovoltaico monofacial presentó un plazo de amortización de unos 8,1 años y un ROI de 290,4 %. Como resultado, el estudio comparativo reveló que los sistemas solares bifaciales superaban a los sistemas solares monofaciales en términos de eficacia e idoneidad de implementación a mediano y largo plazo.

Aksoy & Çalik (2022), presentaron en su investigación titulada "Investigación del rendimiento de paneles fotovoltaicos bifaciales en diferentes condiciones de suelo", un estudio donde abordaron la influencia del albedo en paneles fotovoltaicos bifaciales, en contraste con los paneles monofaciales convencionales. El diseño propuesto incluyó

paneles bifaciales y monofaciales con una capacidad nominal de 54,6 kWp y con ángulos de inclinación y acimut de 35° y 0°, respectivamente, para una instalación en tejados. Los resultados revelaron que, la radiación solar total anual alcanzó 1969 kWh/m² en paneles monofaciales, mientras que para los equipos bifaciales fue un 6,4 % mayor en suelos blancos, 2,4 % en suelos arenosos y 0,8 % en suelos asfálticos. La producción anual de energía varío entre 91,197 MWh para el asfalto, 94,404 MWh para la arena y 97,730 MWh para el suelo blanco, mientras que los paneles monofaciales generaron 105,690 MWh. En términos de coeficiente de rendimiento, se observó que, en condiciones de máxima radiación, los paneles bifaciales superaron al sistema monofacial en un 14,5 %. La eficiencia de los paneles bifaciales se vio influenciada positivamente por las condiciones del suelo, contribuyendo significativamente al rendimiento general y pudiendo implementarse con costos de inversión más bajos en comparación con proyectos monofaciales. Finalmente, la elección del suelo blanco se posicionó como la mejor opción, aumentando la producción anual en un 15,9 % en comparación con los paneles monofaciales.

Kumbaroğlu et al. (2021), elaboraron una investigación titulada "Comparación técnicoeconómica entre paneles solares bifaciales y monofaciales", donde llevaron a cabo un análisis tecno económico de un parque solar de 35 MW que utilizó paneles solares bifaciales, comparándolo con paneles solares monofaciales convencionales de igual capacidad instalada, para lo cual se usó el software PVsyst. Basándose en un período de 4 años, se estimó que la ganancia de utilización de los paneles bifaciales, en términos de eficiencia global, varía entre el 7,9 % y el 16,8 %, dependiendo de la producción mensual. Para abordar la incertidumbre en los precios de la energía, se empleó una simulación Monte Carlo. En las hipótesis de referencia, el parque solar bifacial presentó un Valor Actual Neto (VAN) de 12,6 % superior en comparación con las alternativas monofaciales. Se realizó un análisis de la Tasa Interna de Retorno (TIR) incremental bajo varios escenarios, revelando una TIR de 44 % para los paneles bifaciales. La sensibilidad de los resultados se examinó en relación con la tasa de descuento, la vida útil y los costos de energía. El análisis FODA comparó los aspectos internos y externos de los paneles bifaciales y monofaciales, destacando que, a pesar de los mayores costos iniciales de inversión, los paneles bifaciales exhibieron un menor Costo Nivelado de Energía (LCOE). Se concluyó que, a pesar de la falta de respaldo gubernamental actualmente, la energía solar fotovoltaica bifacial puede impulsar el mercado gracias a sus sólidos resultados tecno económicos y a su mayor vida útil, alineándose con estrategias de inversión a largo plazo.

2.1.2. Antecedentes Nacionales

Espinoza (2023), en su investigación para obtener el grado de doctor titulada "Generación energética sostenible con paneles solares monofaciales y bifaciales en la Universidad Nacional Toribio Rodríguez de Mendoza de Amazonas", se propuso evaluar la eficiencia energética, viabilidad económica e impacto ambiental de paneles solares fotovoltaicos monofaciales y bifaciales. Se instalaron 42 paneles monofaciales (equivalentes a 81,58 m²) y 50 Bifaciales (equivalentes a 84,12 m²) en una estructura metálica con una inclinación de 15° orientado hacia el norte en Chachapoyas, Amazonas, a una altitud de 2326 m.s.n.m. Los datos climáticos se obtuvieron de la estación meteorológica INDES-CES durante el periodo de mayo 2021 a abril 2022. Los resultados revelaron que la generación energética anual fue de 17 257,83 kWh/m² para los equipos monofaciales y 19 185,29 kWh/m² para la contraparte de tecnología bifacial, con radiación solar acumulada de 1631,18 kWh/m² anual y un valor de horas solares pico (HSP) de 4,46 kWh/m² en promedio. La eficiencia energética se calculó en 74,68 % para los elementos monofaciales y 66,12 % para los paneles bifaciales. En términos de viabilidad económica, el tiempo de recuperación de la inversión estimado fue de 8,49 años para los paneles monofaciales y 9,45 años para su contraparte bifacial, en pocas palabras, ambos rentables económicamente durante su vida útil de 25 años, con una tasa de degradación anual del 0,6 %. Respecto al impacto ambiental, se calculó que los paneles bifaciales mitigarían 195 280,81 toneladas de CO₂, y los módulos monofaciales evitarían la emisión de 194 793,86 toneladas de CO₂ durante los 25 años de su vida útil. En conclusión, las condiciones climáticas y atmosféricas influyen en el rendimiento de los paneles solares, evidenciando la importancia de considerar estos factores al implementar tecnologías fotovoltaicas. Además, se destacó la viabilidad económica y el impacto positivo en la reducción de emisiones de CO₂, sugiriendo la adopción de sistemas fotovoltaicos como una alternativa clave para abordar el cambio climático y alinearse con los Objetivos del Desarrollo Sostenible del 2030.

García et al. (2023), en su artículo de investigación titulado "Caracterización exterior IV de módulos fotovoltaicos bifaciales inclinados y verticales", propusieron un método novedoso para caracterizar módulos solares bifaciales mediante mediciones para condiciones ambientales en el exterior de corriente-tensión (I-V). Su enfoque amplío las

metodologías previas desarrolladas para módulos monofaciales, teniendo en cuenta la norma IEC TS 60904-1-2 específica para módulos bifaciales. Este método incorporó la irradiancia equivalente, que considera el albedo y la bifacialidad. Se obtuvieron los valores de la corriente de cortocircuito, la tensión de circuito abierto y la potencia máxima de la curva característica I-V del módulo. Estos valores se extrapolaron a las condiciones estándar de prueba (STC) utilizando la irradiancia equivalente observada y la temperatura del módulo. El enfoque propuesto se aplicó a módulos bifaciales con dos orientaciones de montaje: 15° de inclinación norte y vertical este-oeste. Los resultados de la caracterización eléctrica de los módulos bifaciales utilizando este método demostraron una precisión comparable a la caracterización de módulos monofaciales inclinados. En comparación con un módulo monofacial de referencia, se encontró que los valores nominales de tensión en circuito abierto y factor de forma medidos fueron altamente consistentes, con variaciones relativas inferiores al 1 % para los módulos bifaciales. Sin embargo, las corrientes nominales de cortocircuito resultaron ser hasta un 9 % inferiores a los valores STC, posiblemente atribuibles al desajuste espectral y a las pérdidas angulares específicas del emplazamiento, afectando tanto a los módulos monofaciales como a los bifaciales. A pesar de estas variaciones, el enfoque propuesto demostró ser aplicable y proporcionar resultados similares para la caracterización IV en ambientes exteriores de módulos bifaciales, ya sea inclinados o verticales.

Gonzales (2023), en su investigación "Análisis experimental del rendimiento de un módulo fotovoltaico bifacial a diferentes ángulos de inclinación e irradiancia", se centró en analizar experimentalmente el rendimiento de un módulo fotovoltaico bifacial en diferentes ángulos de inclinación e irradiancia. Se utilizó un módulo de la marca Trina Solar de 405 W con una estructura metálica adaptable que permite variar el ángulo de inclinación. Para recopilar datos, se empleó un trazador de curvas I-V Gossen Metrawatt Profitest PV bajo condiciones estándares de prueba. Se realizaron pruebas durante 3 días para cada ángulo de inclinación, tanto en configuración bifacial como frontal. Los resultados mostraron que, bajo condiciones estándares de prueba, el rendimiento de conversión alcanzó el 20,70 % a un ángulo de inclinación de 5°, con una ganancia bifacial del 15,12 % y una ganancia de potencia de 57,14 W. En condiciones reales con el microinversor, el rendimiento de conversión máximo fue del 20,65 % a 5° de inclinación. En conclusión, se observó que, a menor ángulo de inclinación, mayor es la ganancia bifacial y el rendimiento. Sin embargo, las variaciones entre cada ángulo de

inclinación evaluado son mínimas. Por lo tanto, el ángulo óptimo se determinó en función de la mejor utilización de la irradiancia incidente sobre el lado frontal del módulo fotovoltaico bifacial.

Estrada (2022), en su tesis de pregrado titulada "Estudio de viabilidad económica y técnica para la construcción de la central solar fotovoltaica de 10 MW", se centró en el análisis de viabilidad técnica y económica para la eventual construcción de una Central Solar Fotovoltaica con una capacidad instalada de 10 MW en la región de la selva peruana, en particular en la ciudad de Iquitos. Para lograr este propósito, se llevó a cabo una evaluación económica con el objetivo de determinar indicadores financieros aceptables. El diseño óptimo de la Central Solar Fotovoltaica se desarrolló utilizando la tecnología bifacial, siguiendo las directrices de la normativa IEC. Este enfoque se adoptó para maximizar la producción de energía eléctrica, dado que la irradiación en la selva peruana no es considerablemente elevada. La inversión para la construcción de la Central Solar Fotovoltaica se estimó en USD 13 971 017, y se procedió a realizar una evaluación económica detallada del proyecto. A través de la evaluación económica, se determinó que el precio propuesto para la energía eléctrica en posibles subastas privadas, de acuerdo con la normativa legal vigente sobre contratos de compra y venta de energía, sería de 80 USD/MWh, con un LCOE (Costo Nivelado de Energía) de 56,03 USD/MWh. Los indicadores financieros clave derivados de esta evaluación incluyeron una TIR (Tasa Interna de Retorno) del 23,9 %, un VAN (Valor Actual Neto) de USD 7 568 390 y una B/C (Relación Costo Beneficio) de 1,35. Estos indicadores sugirieron que la construcción de la Central Solar Fotovoltaica no solo es viable desde el punto de vista económico, sino también sostenible en términos financieros. El uso de estos indicadores financieros se presentó como un elemento crucial en la toma de decisiones respecto a la construcción de la Central Solar Fotovoltaica en la ciudad de Iquitos, brindando una perspectiva sólida sobre la rentabilidad y la autosostenibilidad del proyecto.

2.2. MARCO CONCEPTUAL

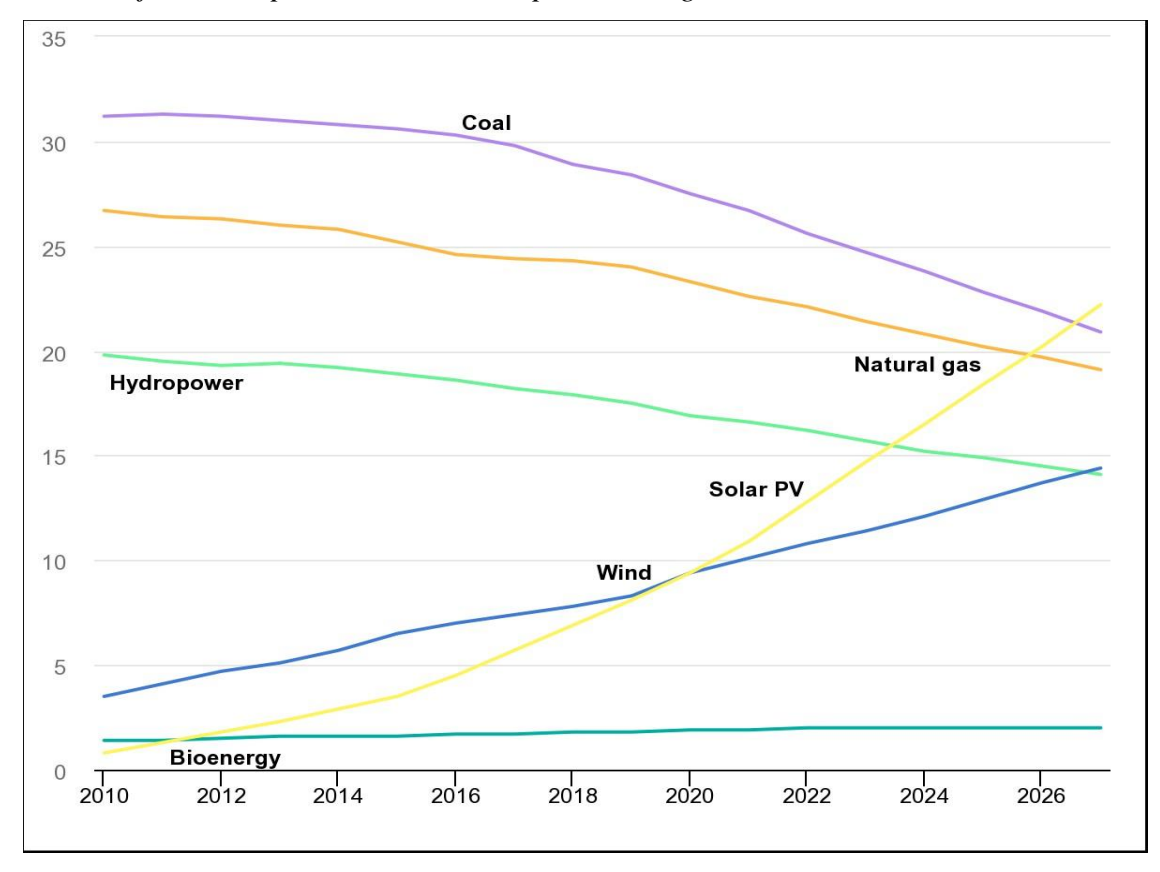
2.2.1. Energía solar fotovoltaica

La energía solar fotovoltaica se erige como una tecnología modular que exhibe la capacidad de ser implementada tanto en instalaciones de considerable envergadura, generando economías de escala, como en configuraciones de dimensiones reducidas. Esta versatilidad posibilita una diversidad de aplicaciones que abarcan desde sistemas residenciales modestos emplazados en tejados, hasta instalaciones destinadas a la generación masiva de energía (Bojek, 2023).

A pesar de la tendencia al alza en los precios de las materias primas, la energía solar fotovoltaica en escala comercial figura como la opción de menor costo para la producción de energía en la mayoría de los países a nivel mundial (Abou et al., 2022). En la Figura 1, se aprecia una proyección de la capacidad acumulada porcentual de las principales energías renovables a nivel mundial.

Figura 1

Porcentaje de la capacidad acumulada por tecnología, 2010-2027

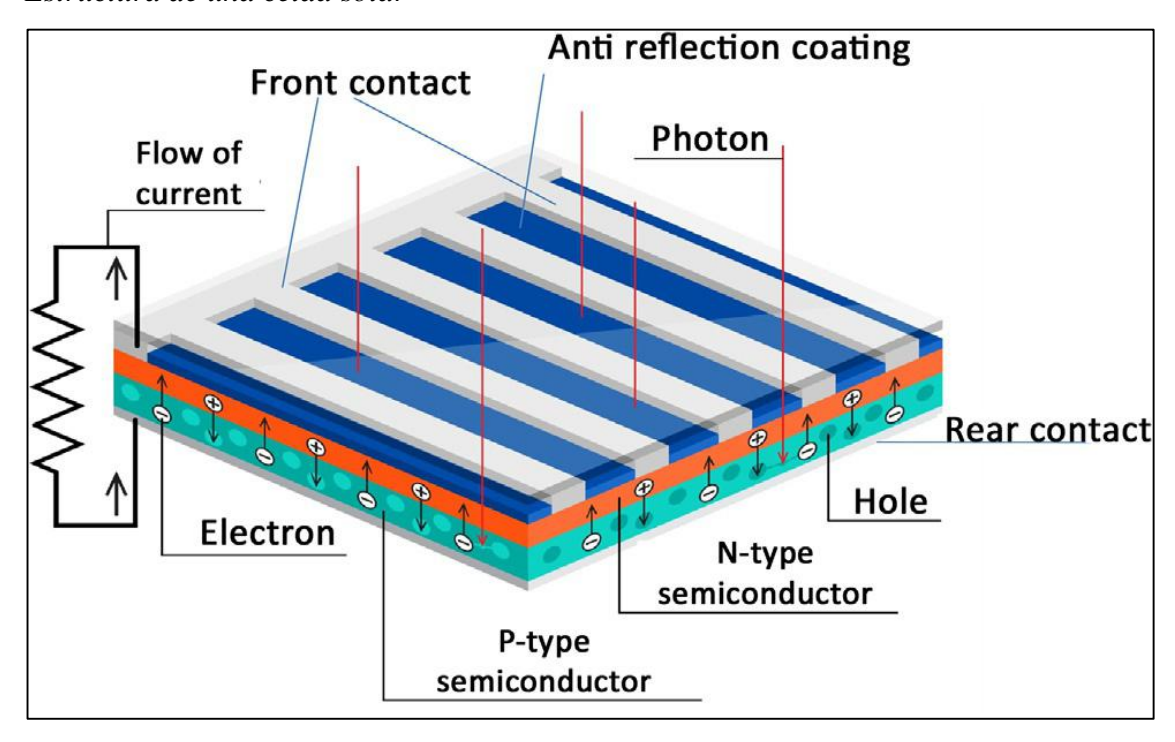


Nota: Tomado de *Solar PV* [Gráfico], por P. Bojek, 2023, IEA. (https://www.iea.org/energy-system/renewables/solar-pv).

2.2.2. Tecnología de la celda solar

Las celdas solares representan tecnologías inherentemente simples, generalmente compuestas de materiales semiconductores capaces de absorber energía luminosa y originar pares electrón-hueco. Como se muestra en la Figura 2, una celda solar constituye una unión p-n semiconductora meticulosamente diseñada, con la capacidad de separar y recoger electrones y huecos en direcciones opuestas (Satpathy & Pamuru, 2020).

Figura 2 *Estructura de una celda solar*



Nota: Tomado de Solar PV power: design, manufacturing and applications from sand to systems (p. 72), por R. Satpathy & V. Pamuru, 2020, Academic Press.

En su concepción fundamental, la celda solar se configura como un dispositivo de unión p-n, utilizando silicio monocristalino o policristalino de tipo p como material base. La región de tipo n se genera al dopar de átomos de fósforo la superficie, estableciendo así una unión p-n con la oblea. En la parte frontal de la celda solar, sobre la zona de tipo n, se aplica un revestimiento antirreflejante. Para la captación de portadores de carga, dicho revestimiento antirreflejante se cubre con una rejilla metálica que funciona como contacto frontal. La disposición n/p se representa en la estructura de la célula solar, como se muestra en la Figura 2. En síntesis, una celda solar se configura como un dispositivo de unión p-n, con contactos en ambos extremos y una capa antirreflejante frontal (Perpiñán, 2023).

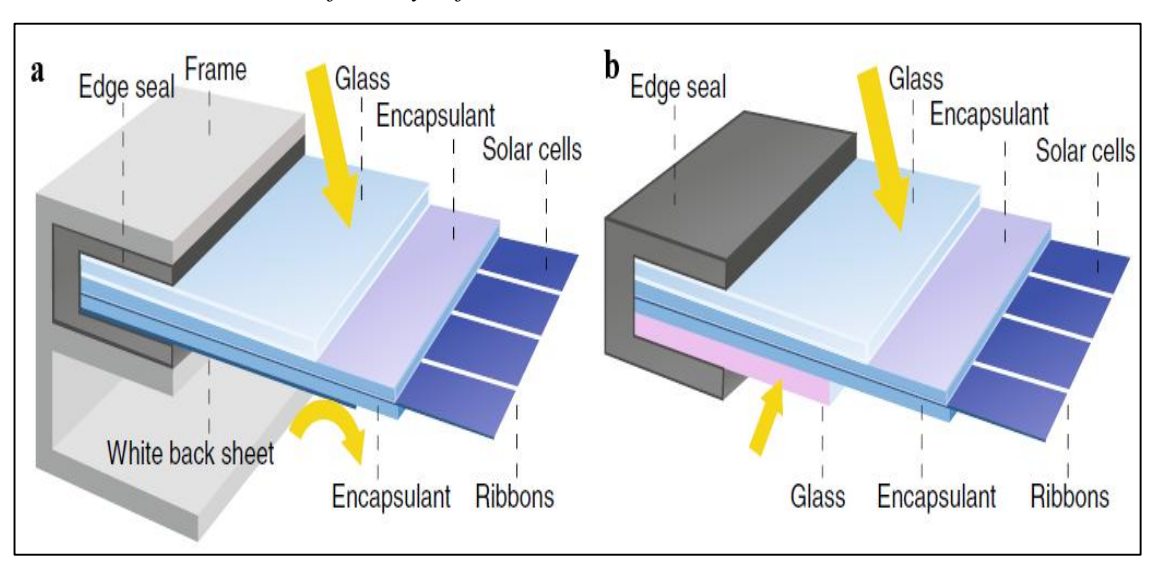
El principio de operación de las celdas solares se sustenta en el efecto fotovoltaico, donde la incidencia de fotones provenientes de la radiación solar sobre un material semiconductor ocasiona la absorción de energía luminosa, generando un diferencial de potencial entre dos materiales semiconductores, fenómeno conocido como efecto fotovoltaico. En consecuencia, cuando un material semiconductor absorbe un fotón de energía luminosa, los electrones experimentan desplazamiento como resultado del efecto fotovoltaico (Satpathy & Pamuru, 2020).

2.2.3. Paneles fotovoltaicos monofaciales y bifaciales

Los paneles o módulos fotovoltaicos monofaciales son una tecnología que ha madurado a través de los años. Las celdas solares del módulo monofacial se encuentran dispuestas de manera intercalada entre un encapsulante recubierto de vidrio en la cara frontal y una lámina posterior no transparente de tonalidad blanca en la cara posterior, visible en el panel cuando observado desde dicha dirección. Los perímetros de la disposición están herméticamente sellados, mientras que un marco de aluminio confiere estabilidad mecánica al conjunto. En contraste, en el caso de los módulos bifaciales, las celdas solares se encuentran intercaladas entre capas de encapsulante y vidrio tanto en la cara frontal como en la posterior. Dada la robustez inherente a la construcción de doble vidrio, se prescinde de la necesidad de un marco metálico, sellándose los bordes de manera efectiva (Kopecek y Libal, 2018).

Figura 3

Estructura modulo monofacial y bifacial



Nota: Tomado de *Towards large-scale deployment of bifacial photovoltaics* (p. 443), por R. Kopecek & J. Libal, 2018, Nat Energy 3, 443–446.

2.2.4. Funcionamiento de los paneles bifaciales

La concepción de la celda solar bifacial no constituye una innovación reciente, sino que data de décadas atrás. La investigación en torno a células fotovoltaicas bifaciales se remonta a los inicios de la industria solar, si bien, en aquel entonces, su fabricación resultaba prohibitivamente costosa para alcanzar niveles comerciales (Satpathy & Pamuru, 2020).

Las celdas solares bifaciales ejercen la conversión de la luz incidente en ambas caras. La región posterior de los módulos solares intercepta la luz reflejada o difusa proveniente del suelo o de la superficie sobre la cual se instalan, contribuyendo así al incremento de la producción. El albedo, entendido como la radiación reflejada o difusa desde la superficie terrestre, se encuentra condicionado por diversos factores, incluyendo la naturaleza de la superficie de soporte, la altura de montaje y la separación entre las filas de las estructuras de montaje de los módulos. Se estima que la superficie posterior de un panel solar tiene la capacidad de absorber entre un 5 % y un 30 % de la luz incidente en la superficie frontal (Kopecek & Libal, 2021).

Las topologías de células solares comerciales, tales como las de heterounión (HJT), PERT y PERC, son susceptibles de ser transformadas fácilmente en configuraciones bifaciales. El factor de bifacialidad, definido como la relación entre la eficiencia de conversión en la cara posterior y la eficiencia de conversión en la cara anterior para un mismo valor de irradiancia, se ve influenciado por la naturaleza estructural y la extensión de la superficie cubierta por la rejilla metálica en la cara posterior. Cabe destacar que las células HJT y PERT exhiben una bifacialidad superior al 90 %, mientras que las PERC manifiestan un valor cercano al 70 %. Por su parte, una célula IBC presenta aproximadamente un 80 % de bifacialidad (Satpathy & Pamuru, 2020).

El factor de bifacialidad se define de la siguiente manera:

$$F = \frac{\eta_{posterior}}{\eta_{anterior}} \tag{1}$$

Donde:

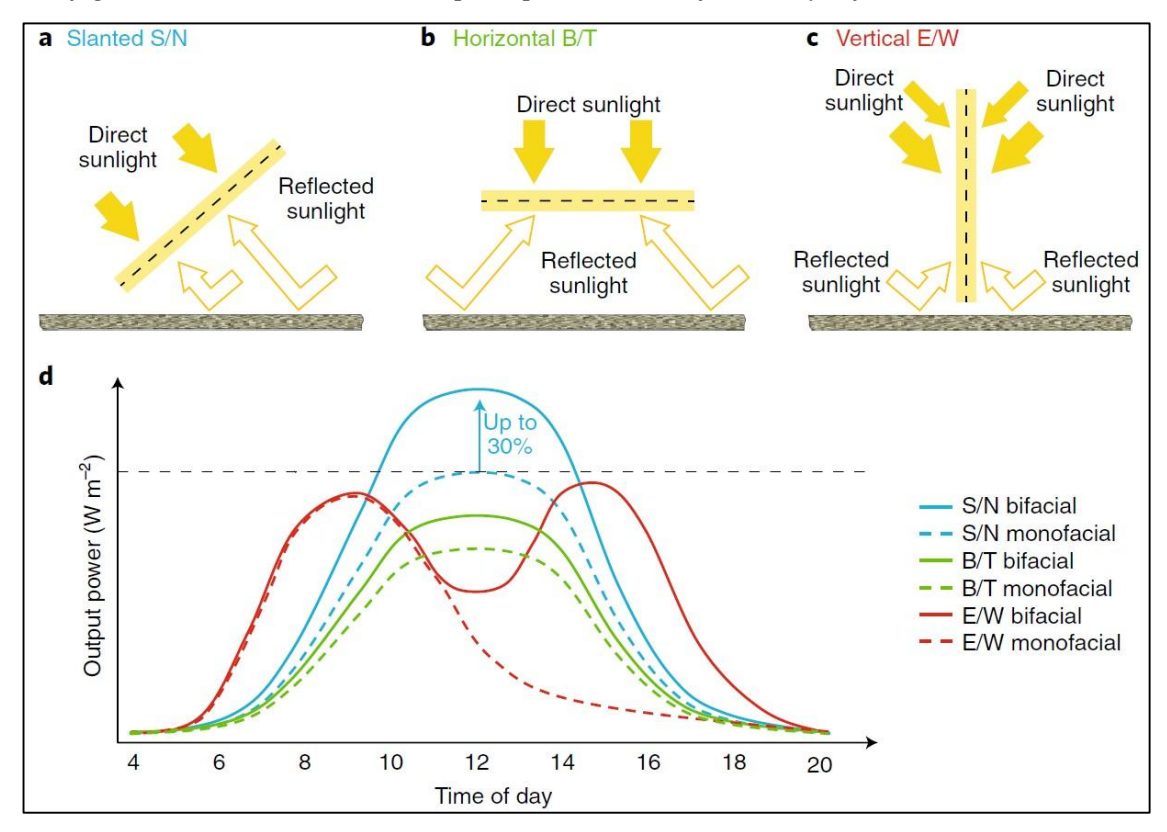
F: Factor de bifacialidad (adimensional)

 $\eta_{posterior}$: Eficiencia de conversión en la cara posterior (adimensional)

 $\eta_{anterior}$: Eficiencia de conversión en la cara anterior (adimensional)

En la Figura 4, se presentan una comparativa de la producción de potencia por unidad de área de diferentes configuraciones de instalaciones para paneles monofaciales y bifaciales.

Figura 4Configuraciones de instalaciones para paneles monofaciales y bifaciales



Nota: a. Módulo de inclinación fija. b. Disposición horizontal. c. Geometría vertical. d. Curvas de generación de energía diaria obtenidas al compararlas con instalaciones monofaciales del mismo diseño. Tomado de *Towards large-scale deployment of bifacial photovoltaics* (p. 444), por R. Kopecek & J. Libal, 2018, Nat Energy 3, 443–446.

2.2.5. Albedo

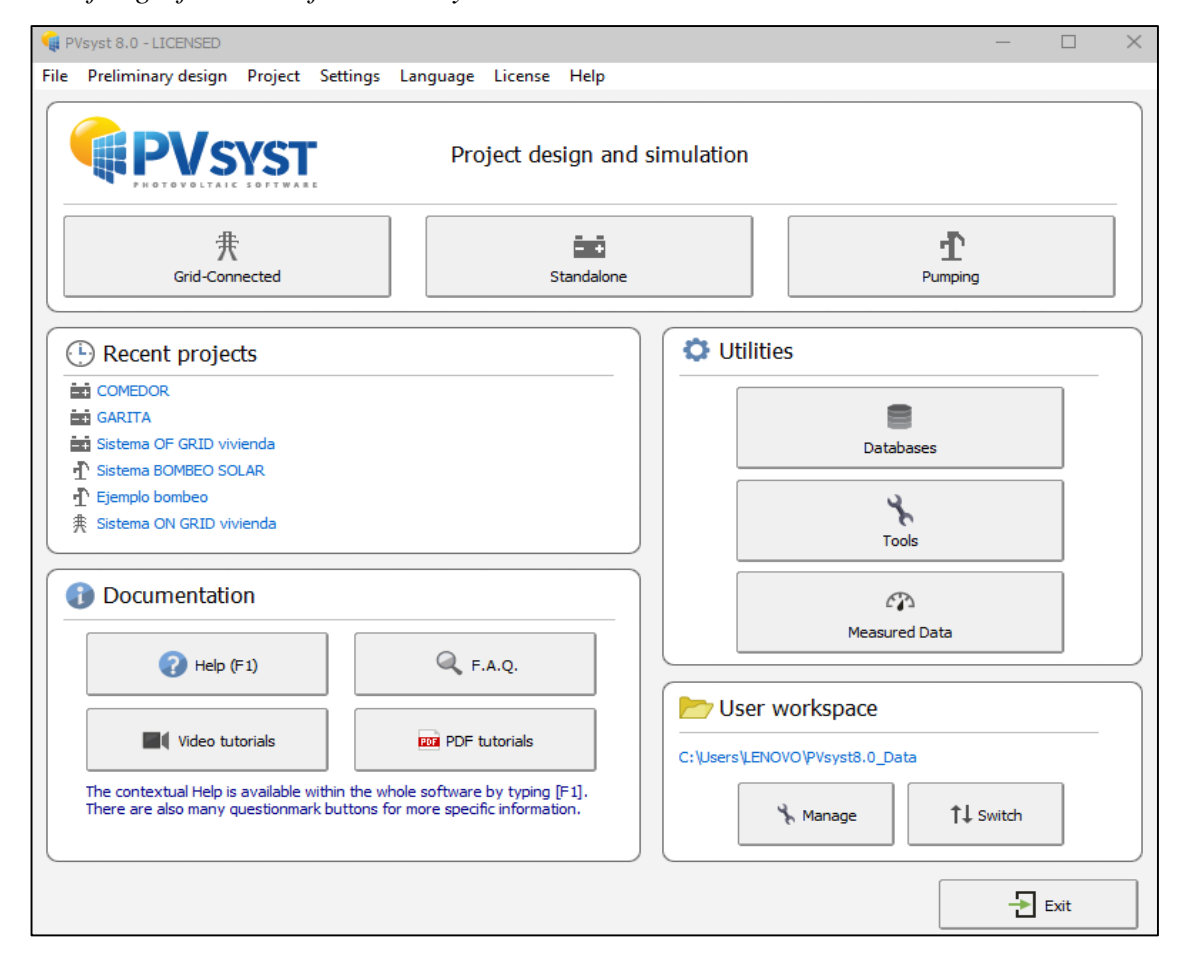
La radiación reflejada en el suelo es la radiación solar total que se refleja en la superficie de la Tierra, y se mide mediante un coeficiente denominado albedo. El albedo, también denominado blancura de una superficie, es una relación entre la cantidad de irradiación solar reflejada por una superficie y la cantidad total de irradiación que incide sobre ella. El albedo oscila entre 0 y 1 y varía según el lugar, la estación y la hora del día. Los objetos completamente blancos tienen un albedo de 1, ya que pueden reflejar el 100% de la radiación que incide sobre ellos, mientras que los objetos completamente negros tienen un albedo de 0, ya que pueden absorber el 100% de la radiación que incide sobre ellos (Abou et al., 2022).

La cantidad de albedo depende de la superficie donde están instalados los módulos, la altura del montaje y la distancia entre filas de las estructuras de montaje de los módulos. La cara posterior del panel solar puede absorber entre el 5 y el 30% de la luz absorbida por la superficie frontal del panel solar (Satpathy & Pamuru, 2020).

2.2.6. Software PVsyst

PVsyst constituye una aplicación de simulación concebida en la Universidad de Genova en Ginebra, con el propósito de facilitar el cálculo de sistemas fotovoltaicos de 3 tipos: conectados a red, aislados y bombeo solar. Este software desempeña un papel integral en la configuración y diseño de sistemas, permitiendo la evaluación cuantitativa de la energía generada. La obtención de resultados se fundamenta en una simulación de dimensionamiento del sistema, la cual incorpora la ubicación geográfica de la instalación fotovoltaica como un parámetro determinante.

Figura 5 *Interfaz gráfica del software PVsyst*



Nota: Tomado de PVsyst software [Fotografía], por PVsyst, 2023, PVsyst. (https://www.pvsyst.com/).

Los resultados de la simulación pueden presentarse en términos mensuales, diarios u horarios, y diversos factores de simulación pueden ser incorporados en la evaluación. El "Diagrama de pérdidas" facilita la identificación de posibles fallos de diseño en el sistema. Aunque las bases de datos de PVsyst contemplan múltiples emplazamientos y conjuntos de datos meteorológicos, los usuarios poseen la facultad de desarrollar proyectos personalizados en función de la ubicación específica y los archivos meteorológicos que deseen emplear (Kumar et al., 2021).

En adición a su funcionalidad técnica, el software posibilita la realización de análisis económicos y ambientales. Esta capacidad se sustenta en una base de datos que abarca precios y factores de emisión de CO₂, variables que pueden ser ajustadas para adaptarse a diversas simulaciones. Aunque PVsyst opera bajo una licencia de pago, los usuarios tienen acceso a una versión de prueba de 30 días y la opción de solicitar una licencia estudiantil, especialmente diseñada para aquellos usuarios vinculados a instituciones educativas.

III. METODOLOGÍA

3.1. RECURSOS

3.1.1. Recursos humanos

- El investigador: Bachiller Toribio Arroyo, Diego
- El asesor: Dr. Arangurí Cayetano Denis Javier

3.2. MATERIALES

3.2.1. Físicos (equipos, materiales, instrumentos)

- 01 laptop.
- 01 impresora.
- Materiales de oficina, útiles y papelería en general.
- Libros, textos, otros materiales impresos.
- Libros, artículos electrónicos.

3.2.2. No físicos (softwares especializados)

Software PVsyst 8.0.7.

3.3.MÉTODOS

3.3.1. Identificación de variables

Variable Independiente: Panel fotovoltaico

Definición conceptual: Un panel fotovoltaico se configura como un conjunto organizado mediante disposiciones en serie y paralelo de celdas solares protegidas físicamente de la intemperie y aisladas eléctricamente del exterior, aportando rigidez mecánica al conjunto (Perpiñán, 2023).

Variable Dependiente: Impacto energético

Definición conceptual: Implica evaluar la eficiencia de las tecnologías energéticas, los costos y beneficios económicos asociados, así como los efectos en el medio ambiente, incluyendo emisiones de gases contaminantes y el uso de recursos naturales (Mohammad & Mahjabeen, 2023; Sánchez-Pantoja et al., 2018).

3.3.2. Operacionalización de las variables de la investigación

| Variable | Definición conceptual | Definición operacional | Dimensiones | Indicadores | Escala de medida |
|--------------------------|---|---|--|---|---|
| V.I.: Panel fotovoltaico | Un panel fotovoltaico se configura como un conjunto organizado mediante disposiciones en serie y paralelo de celdas solares protegidas físicamente de la intemperie y aisladas eléctricamente del exterior, aportando rigidez mecánica al conjunto (Perpiñán, 2023). | Se divide en dos dimensiones: panel fotovoltaico monofacial y panel fotovoltaico bifacial | Panel fotovoltaico monofacial Panel fotovoltaico bifacial | Número de paneles Área del arreglo fotovoltaico Peso total Nivel sobre el suelo Número de paneles Área del arreglo fotovoltaico Peso total Nivel sobre el suelo | Escala de razón |
| V.D.: Impacto energético | Implica evaluar la eficiencia de las tecnologías energéticas, los costos y beneficios económicos asociados, así como los efectos en el medio ambiente, incluyendo emisiones de gases contaminantes y el uso de recursos naturales (Mohammad & Mahjabeen, 2023; Sánchez-Pantoja et al., 2018). | Se divide en dos dimensiones: componente técnico, componente económico y componente ambiental. | Componente técnico Componente económico Componente ambiental | Rendimiento final del sistema PR Fracción solar SF Producción del sistema anual Producción específica anual Valor actual neto Tasa interna de retorno Periodo de recuperación de inversión Costo nivelado de energía Emisiones de CO ₂ generadas Emisiones de CO ₂ reemplazadas | Escala de razón |

3.3.3. Métodos de la investigación

Método Descriptivo

El método descriptivo permitió recopilar y organizar datos climáticos y eléctricos del Edificio Administrativo del Campus I de la Universidad Nacional del Santa. Este método también se utilizó para describir las características de los paneles solares seleccionados y el entorno donde se instalaron. Se recogieron datos de radiación solar, temperatura, consumo eléctrico estimado y costos de los paneles fotovoltaicos. Estos datos fueron la base para las simulaciones y el análisis comparativo.

Método inductivo-deductivo

El método inductivo-deductivo representó una modalidad de aproximación a la investigación que amalgamó dos procesos lógicos fundamentales: la inducción y la deducción. En la fase inductiva, se llevó a cabo la recopilación exhaustiva de los parámetros relativos al suministro eléctrico del Edificio Administrativo del Campus I de la Universidad Nacional del Santa. Paralelamente, se determinó el espacio disponible, considerándolo en el proceso de dimensionamiento del sistema fotovoltaico. A partir de esta información, se buscó discernir patrones, regularidades o tendencias generales vinculadas al impacto energético del conjunto fotovoltaico. La fase deductiva, por otro lado, se valió de principios generales derivados de la teoría pertinente a los sistemas fotovoltaicos. Este método se caracterizó por su naturaleza cíclica, donde la inducción propuso enunciados generales, mientras que la deducción posibilitó la verificación de estos a través de la predicción y observación.

Método analítico

El método analítico concentró su enfoque en el análisis detallado y desglosado de un fenómeno, objeto o problema con el propósito de comprender sus componentes y relaciones internas. En el contexto de la investigación, se procedió a descomponer el sistema fotovoltaico en etapas, con el objetivo de examinar las pérdidas de energía, así como los parámetros operativos y de rendimiento y los parámetros económicos y ambientales. La meticulosa exploración y análisis se llevaron a cabo mediante el empleo de un software especializado, específicamente PVsyst, que facilitó una aproximación más profunda a las características, funciones y relaciones entre los componentes del sistema. Al concluir esta fase, se realizó una síntesis de los resultados obtenidos para

alcanzar una comprensión integral del fenómeno objeto de estudio. El método analítico, dada su capacidad para desentrañar situaciones complejas, se reveló como una herramienta valiosa para profundizar en la comprensión de fenómenos de esta índole.

Método Comparativo

El método comparativo se utilizó para identificar similitudes y diferencias entre dos o más elementos. En este caso, el estudio comparó el impacto energético de los paneles monofaciales y bifaciales. Tras ejecutar las simulaciones de las configuraciones, se llevó a cabo una comparación detallada en cada caso. Esto permitió evaluar qué tecnología fue la más adecuada para satisfacer las necesidades del Edificio Administrativo del Campus I de la Universidad Nacional del Santa.

3.3.4. Procedimiento de la investigación

- Se recolectaron datos climáticos (radiación solar, temperatura, etc.) y se estimó el consumo eléctrico del Edificio Administrativo del Campus I de la Universidad Nacional del Santa.
- Se recopilaron especificaciones técnicas y costos de los paneles fotovoltaicos monofaciales y bifaciales.
- Se modelaron dos sistemas fotovoltaicos en el software PVsyst: uno con paneles monofaciales y otro con bifaciales.
- Se ingresaron los datos climáticos y técnicos en el software para asegurar simulaciones precisas.
- Se ejecutaron las simulaciones para ambos sistemas y se registraron los indicadores técnicos.
- Se calcularon los costos de instalación y mantenimiento para ambas tecnologías.
- Se estimó la rentabilidad económica utilizando los parámetros económicos.
- Se compararon los resultados de producción energética y rentabilidad entre los paneles monofaciales y bifaciales.
- Se determinó el tiempo de recuperación de la inversión para ambos tipos de paneles.
- Se analizó la reducción de emisiones de CO₂ derivada del uso de energías renovables.
- Se interpretaron los resultados para seleccionar la tecnología más eficiente y rentable.
- Se emitieron recomendaciones para la implementación de sistemas fotovoltaicos en el campus y en otros contextos similares.

3.3.5. Limitaciones de la investigación

La presente investigación exhibió ciertas limitaciones que se detallan a continuación:

- En cuanto al diseño de la instalación fotovoltaica, se restringió exclusivamente a un

sistema de conexión a red, considerando la inyección cero. Esta limitación se

fundamentó en la ausencia de reglamentación y normativas que respaldaran la

generación distribuida en el país.

- La dimensión del área disponible para la instalación estableció un condicionante

espacial que afectó la capacidad de emplazamiento del máximo número de paneles

solares.

- Los datos relativos al recurso solar en la ubicación del sistema se obtuvieron

mediante el empleo del software PVsyst, el cual se distinguió por disponer de

diversas bases meteorológicas validadas.

- La calidad de los datos de albedo pudo afectar la exactitud de los resultados.

- La implementación real pudo estar limitada por costos altos o disponibilidad de

paneles bifaciales.

3.3.6. Diseño de la investigación

El diseño de la investigación, según Naupas et al. (2018) es el descriptivo comparativo,

en virtud de que se busca diferencias y/o semejanzas entre dos elementos, fenómenos u

objetos de estudio. La simbología correspondiente al diseño de la investigación es:

 $M_1 \longrightarrow O_1$

 $M_2 \longrightarrow O_2$ donde $O_1 \cong \neq O_2$

Donde:

M₁: Muestra de los paneles fotovoltaicos monofaciales

M₂: Muestra de los paneles fotovoltaicos bifaciales

O₁: Observación del impacto energético de la muestra 1

O2: Observación del impacto energético de la muestra 2

37

3.3.7. Población y muestra

La investigación presentó la población y la muestra que se describen a continuación:

 Población: Paneles fotovoltaicos de diferentes tecnologías de aprovechamiento de la energía solar.

Muestra: Paneles fotovoltaicos monofaciales y bifaciales.

Muestreo: No probabilístico por conveniencia.

3.3.8. Técnicas e instrumentos para la recolección de datos

A) Técnicas

Análisis documental: Se empleó a través de la evaluación sistemática y exhaustiva de documentos escritos y/o electrónicos relacionados con el diseño y análisis de sistemas fotovoltaicos que utilizaron paneles bifaciales.

Observación: Se recolectaron los datos de consumos eléctricos del Edificio Administrativo del Campus I de la Universidad Nacional del Santa, así como el área disponible para el sistema fotovoltaico.

Procesamiento: Consistió en el tratamiento y análisis de los datos recopilados, enfocándose en la información del recurso solar propio de la ubicación del sistema.

B) Instrumentos

Guía de revisión documental: Se utilizó para orientar y sistematizar el proceso de análisis de diferentes documentos, ya fueran físicos o virtuales.

Ficha de observación: Permitió registrar sistemáticamente las observaciones realizadas durante el estudio. En ella se almacenaron los datos de consumo eléctrico y del área disponible.

Recibos de electricidad: Sirvieron para determinar los consumos energéticos mensuales de la institución universitaria.

Software PVsyst 8.0.7: Este software presentó bases de datos meteorológicas, de las cuales se obtuvieron los datos del recurso solar para la ubicación del sistema.

3.3.9. Técnicas de procesamiento y análisis de los resultados

A) Técnicas

Procesamiento: La información obtenida y los resultados de la investigación fueron analizados y sintetizados para presentarlos de una manera adecuada para facilitar su comprensión.

Simulación: El proceso de simulación se respaldó en ecuaciones y modelos matemáticos específicos para el diseño de sistemas fotovoltaicos.

B) Instrumentos

Hojas de cálculo de Microsoft Excel: Se utilizaron para analizar estadísticamente los resultados obtenidos, mediante la elaboración de tablas y gráficos.

Documento de Microsoft Word: Sirvió para elaborar el informe final de la investigación, empleando las normas APA 7ª edición y siguiendo las normativas de la Universidad Nacional del Santa.

Archivos de AutoCAD: Se emplearon para la elaboración de una distribución de los equipos del sistema fotovoltaico y un diagrama unifilar del mismo.

Software PVsyst 8.0.7: Se utilizó para la simulación y análisis técnico, económico y ambiental de los sistemas fotovoltaicos con paneles solares monofaciales y bifaciales.

IV. RESULTADOS Y DISCUSIÓN

4.1. **RESULTADOS**

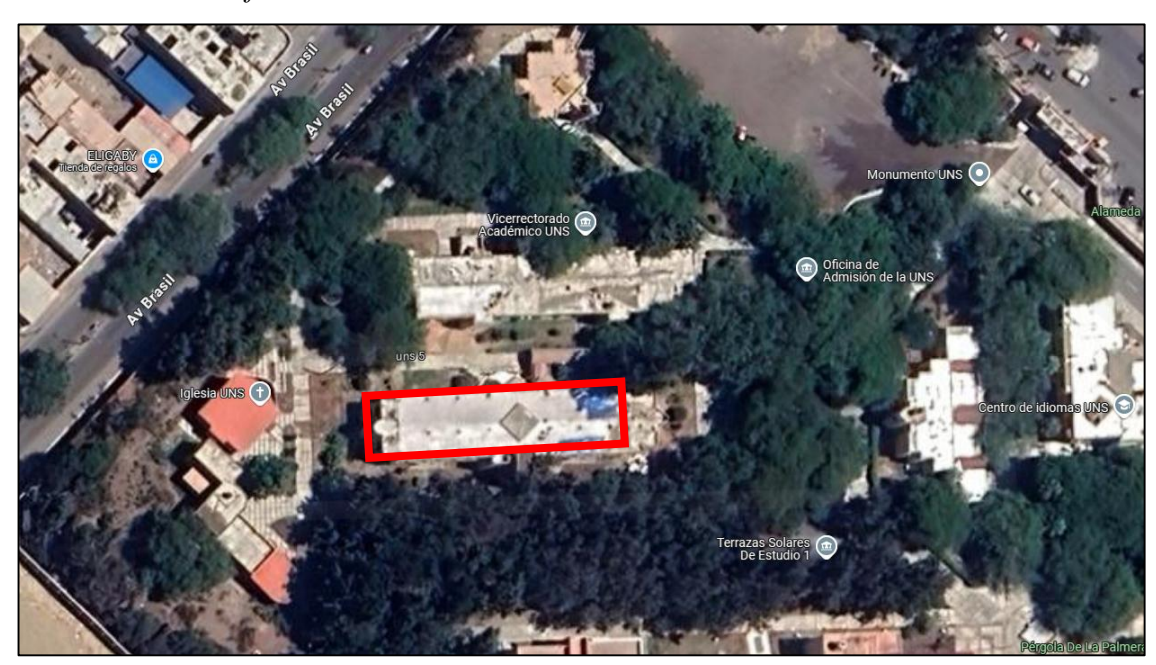
Los resultados de la investigación se presentan a continuación.

4.1.1. Objetivo específico 1

El Edificio Administrativo del Campus I de la Universidad Nacional del Santa es una de las infraestructuras de mayor antigüedad dentro de la institución. Su horario de atención se extiende desde las 8:00 a. m. hasta las 6:00 p. m., lo que implica un consumo energético constante durante la jornada laboral. En cuanto a su ubicación, el edificio se encuentra ingresando por la primera puerta de la universidad y dirigiéndose hacia la derecha, tal como se muestra en la Figura 6.

Debido a su demanda eléctrica, este edificio representa una oportunidad adecuada para la implementación de un sistema fotovoltaico, lo que permitió optimizar el consumo de energía y reducir la dependencia de la red eléctrica convencional.

Figura 6 *Ubicación del Edificio Administrativo*



Nota: Tomado de *Google Maps* [Fotografía], por Google Maps, 2025, Google Maps. (https://www.google.com/maps?authuser=0).

El techo del Edificio Administrativo del Campus I de la Universidad Nacional del Santa posee una superficie total de 615 m², de los cuales 466 m² son aptos para la instalación

de módulos fotovoltaicos, debido a la presencia de elementos arquitectónicos que limitan el área disponible.

La orientación del edificio hacia el norte favorece la disposición óptima de los módulos fotovoltaicos, permitiendo maximizar la captación de radiación solar. No obstante, el edificio se encuentra rodeado de árboles de gran tamaño, cuya presencia es un factor determinante en el análisis de sombras y en la evaluación de las pérdidas energéticas asociadas.

Se llevó a cabo un análisis detallado de las características físicas y ambientales del entorno del Edificio Administrativo del Campus I de la Universidad Nacional del Santa, con el objetivo de evaluar su viabilidad para la instalación de paneles fotovoltaicos. En este proceso, se recopilaron datos relevantes, los cuales se presentan en la Tabla 1.

Tabla 1Características físicas y ambientales del entorno de estudio

| Parámetros | Descripción | | | |
|---------------------------------------|--|--|--|--|
| Fecha de observación | 17-02-2025 | | | |
| Ubicación exacta (Latitud/Longitud) | Lat: -9.1185° // Lon: -78.5161° | | | |
| Tipo de superficie | Concreto (Albedo 30%) | | | |
| Estado de la superficie | Limpio | | | |
| Área disponible para instalación | 466 m^2 | | | |
| Obstáculos potenciales | Arboles // sombras constantes | | | |
| Orientación principal | Norte | | | |
| Inclinación del terreno | Techo plano | | | |
| Presencia de estructuras reflectantes | Ninguna | | | |
| Observaciones adicionales | El análisis de sombras resulta | | | |
| | fundamental debido a la alta densidad de | | | |
| | árboles que rodean el edificio, ya que su | | | |
| | presencia puede afectar la eficiencia y el | | | |
| | rendimiento del sistema fotovoltaico. | | | |

En cuanto al consumo energético del edificio, este fue determinado a partir de los datos proporcionados en los planos eléctricos, los cuales fueron solicitados a los responsables del mantenimiento eléctrico de la universidad. A partir de esta información, se

identificaron las características del suministro eléctrico, permitiendo un análisis más preciso de la demanda energética del edificio.

Tabla 2Características eléctricas del suministro

| Parámetros | Descripción |
|--------------------|-------------|
| Tensión | 380 V + N |
| Tipo | Trifásica |
| Potencia instalada | 37.10 kW |
| Máxima demanda | 22.75 kW |

Nota: Tomado de información proporcionada por el equipo de mantenimiento eléctrico de la UNS.

4.1.2. Objetivo específico 2

Con base en la información recopilada, se llevó a cabo el análisis en el software PVsyst 8.0.7. En primera instancia, se configuró la ubicación del recinto, seleccionando la base de datos meteorológicos de Meteonorm 8.2, a partir de la cual se obtuvieron valores clave como la radiación solar mensual y diaria, la velocidad del viento, la temperatura y la humedad relativa. Los resultados obtenidos se presentan en las siguientes figuras.

Figura 7 *Mapa interactivo PVsyst*



Figura 8Selección de la base de datos PVsyst

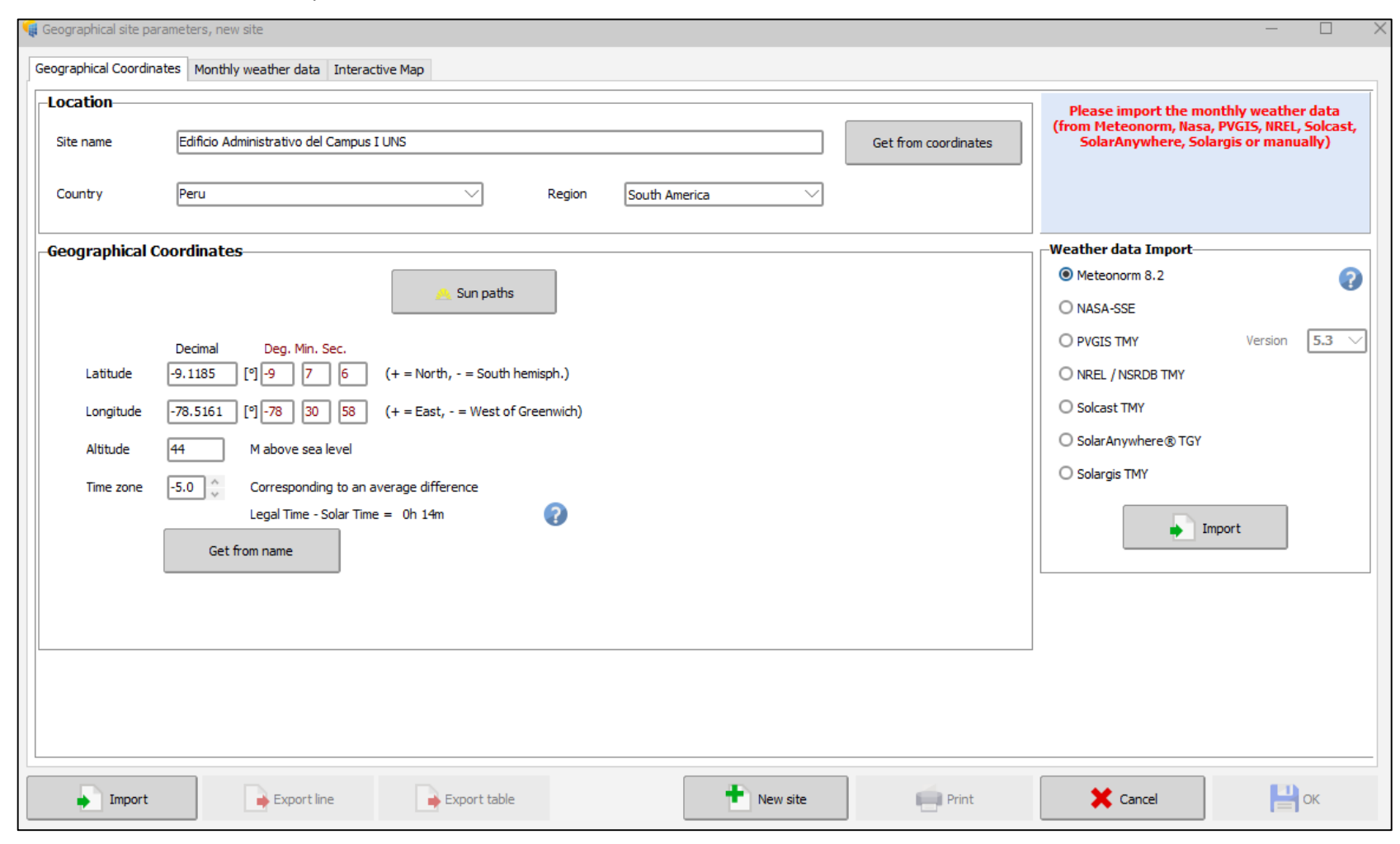
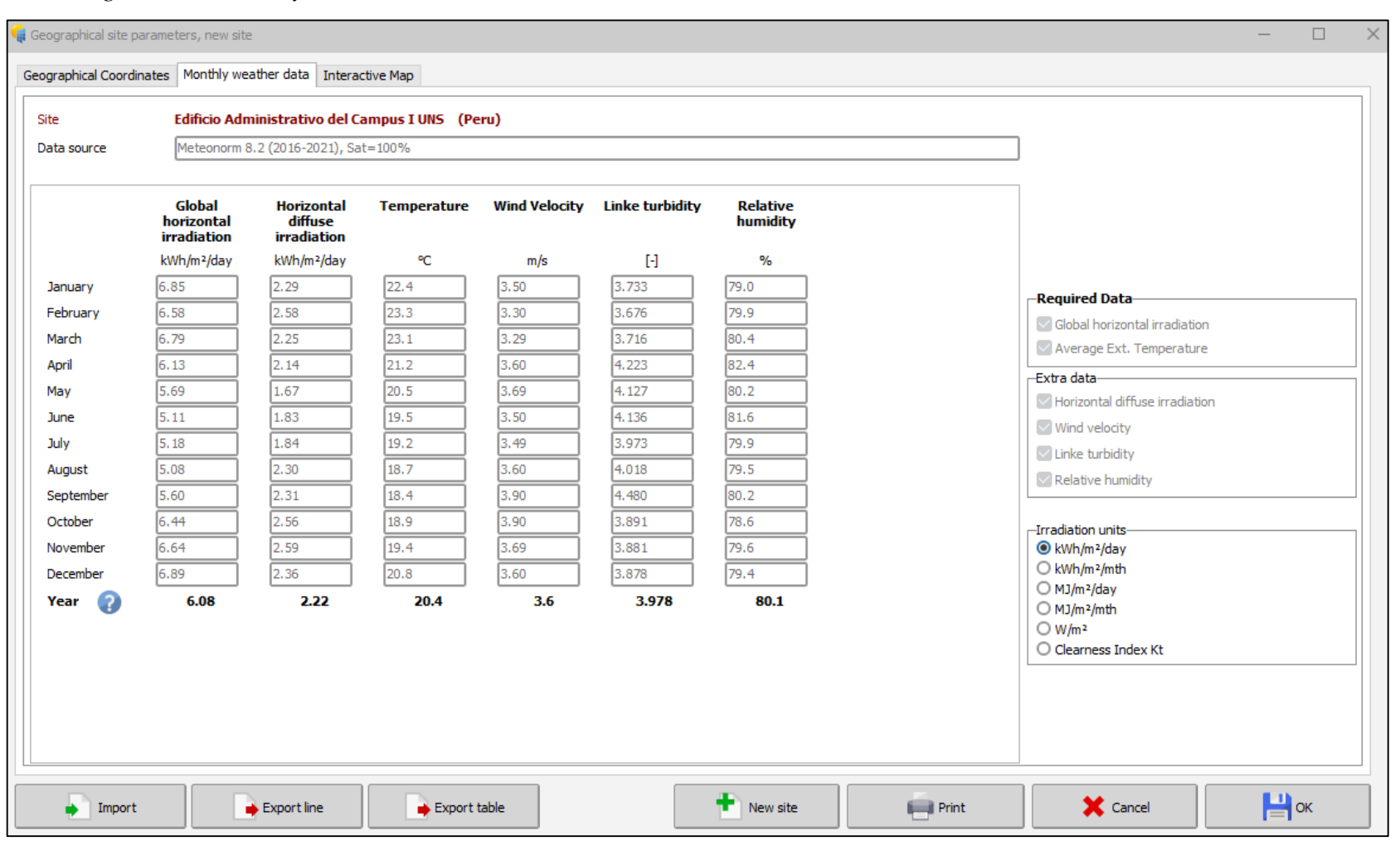


Figura 9Data climatológica mensual PVsyst

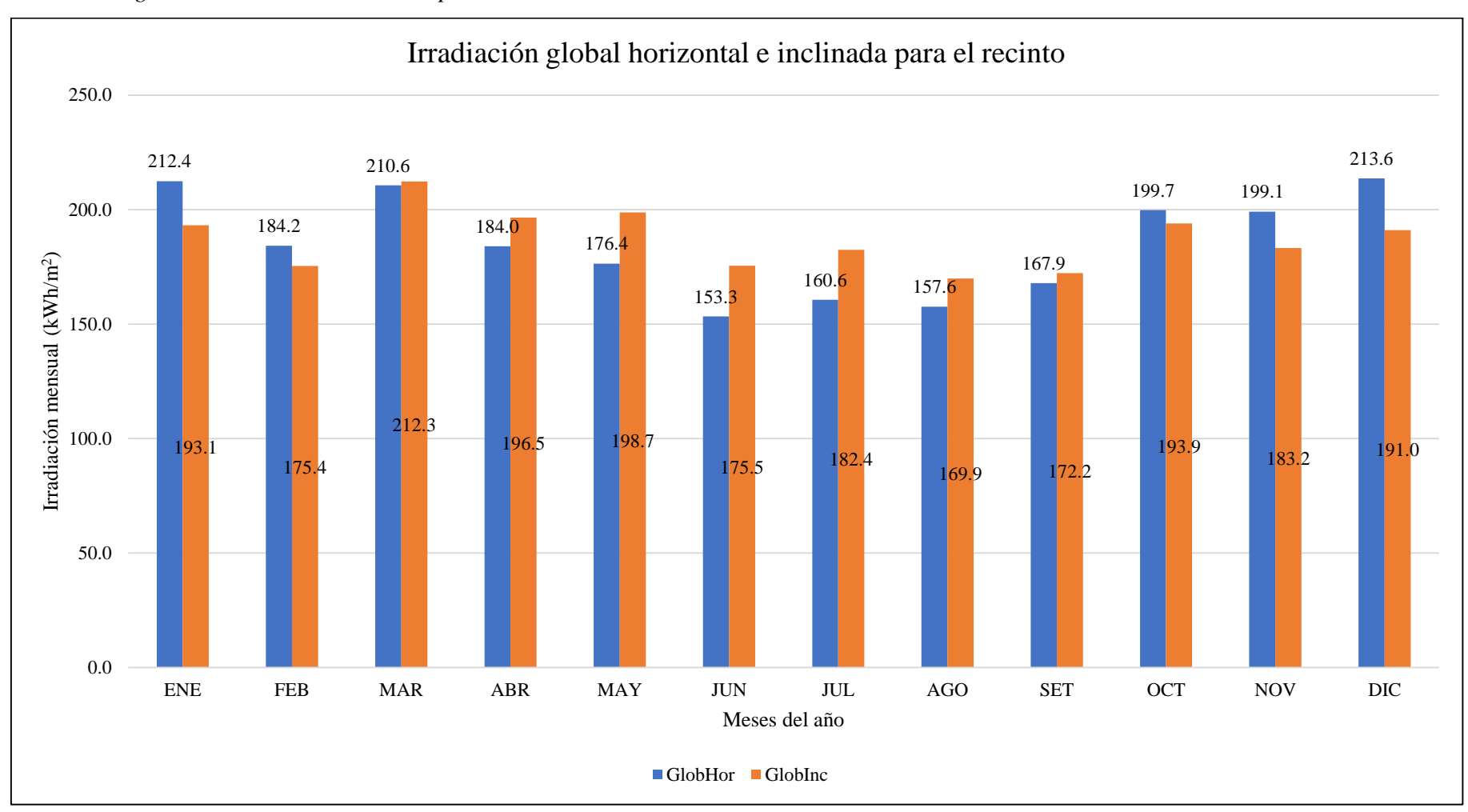


Con el fin de facilitar un análisis más detallado, se presentaron los datos de irradiación mensual tanto para un plano horizontal como para un plano inclinado, permitiendo evaluar las diferencias en la captación de radiación solar y su impacto en el rendimiento del sistema fotovoltaico.

Tabla 3 *Irradiación mensual para el recinto*

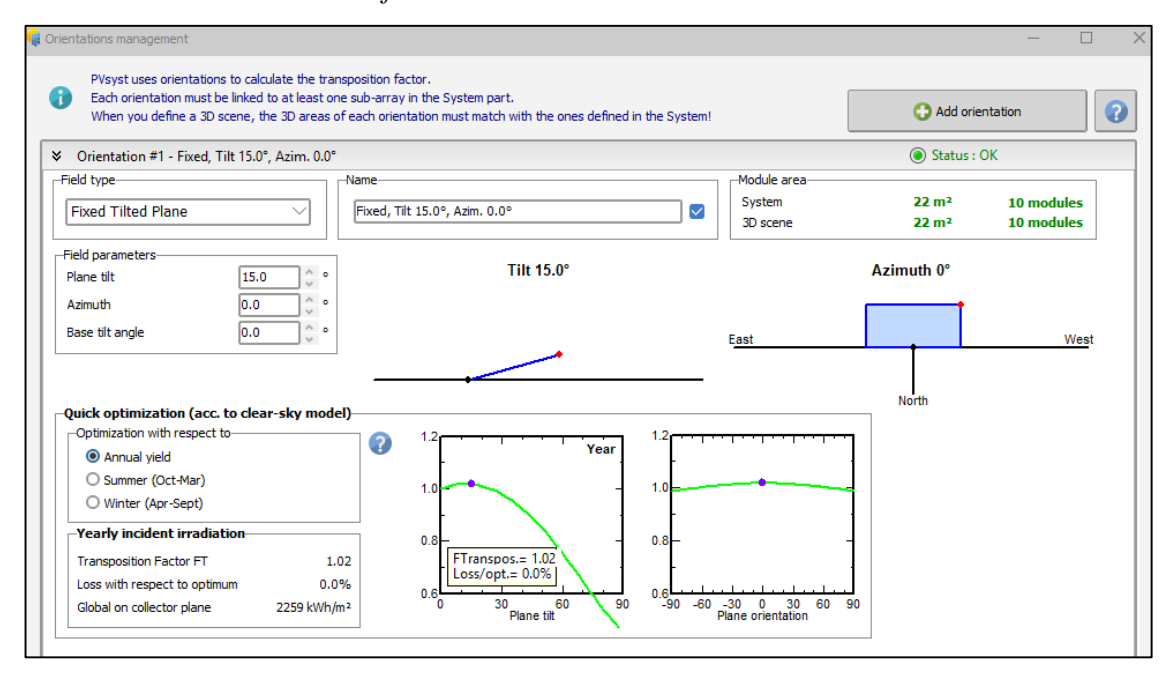
| Meses | GlobHor (kWh/m²/mes) | GlobInc (kWh/m²/mes) |
|-----------|----------------------|----------------------|
| enero | 212.4 | 193.1 |
| febrero | 184.2 | 175.4 |
| marzo | 210.6 | 212.3 |
| abril | 184.0 | 196.5 |
| mayo | 176.4 | 198.7 |
| junio | 153.3 | 175.5 |
| julio | 160.6 | 182.4 |
| agosto | 157.6 | 169.9 |
| setiembre | 167.9 | 172.2 |
| octubre | 199.7 | 193.9 |
| noviembre | 199.1 | 183.2 |
| diciembre | 213.6 | 191.0 |
| TOTAL | 2219.4 | 2244.1 |

Figura 10 *Irradiación global horizontal e inclinada para el recinto*



Posteriormente, se determinó el ángulo de inclinación óptimo para la ubicación del sistema fotovoltaico. En este caso, tanto la latitud del sitio como las recomendaciones técnicas permitieron seleccionar un ángulo de 15°, tal como se muestra en la Figura 11. Asimismo, se definió la orientación de los módulos, dirigiéndolos hacia el norte, conforme a las condiciones óptimas para el hemisferio sur.

Figura 11 *Orientación de los módulos fotovoltaicos*

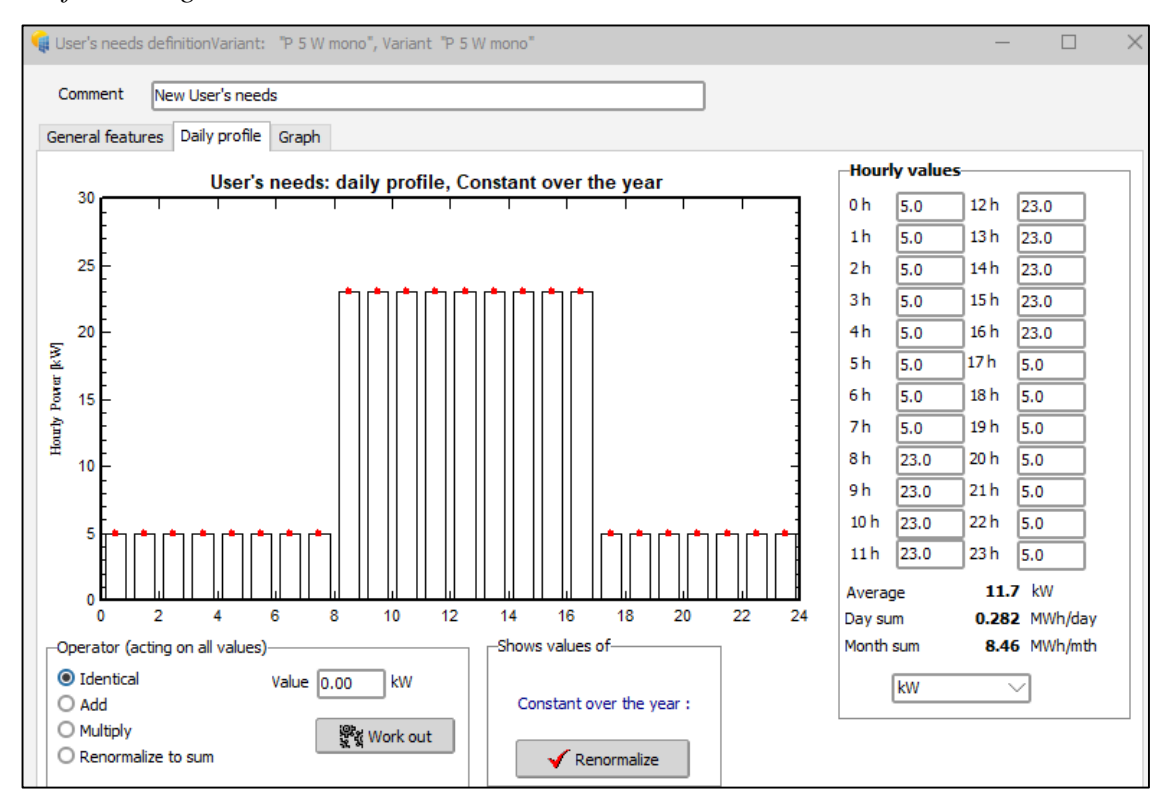


Nota: Tomado de PVsyst software [Fotografía], por PVsyst, 2025, PVsyst. (https://www.pvsyst.com/).

En lo que respecta al consumo energético, la Figura 12 presenta el consumo diario, el cual se mantuvo constante a lo largo del año. Se determinó que la potencia promedio del edificio fue de 11.7 kW, con un consumo anual de 103 MWh/año. Asimismo, se identificó que no se habilitó la opción de inyección de energía a la red y que el consumo propio del sistema se estimó en 282 kWh/día.

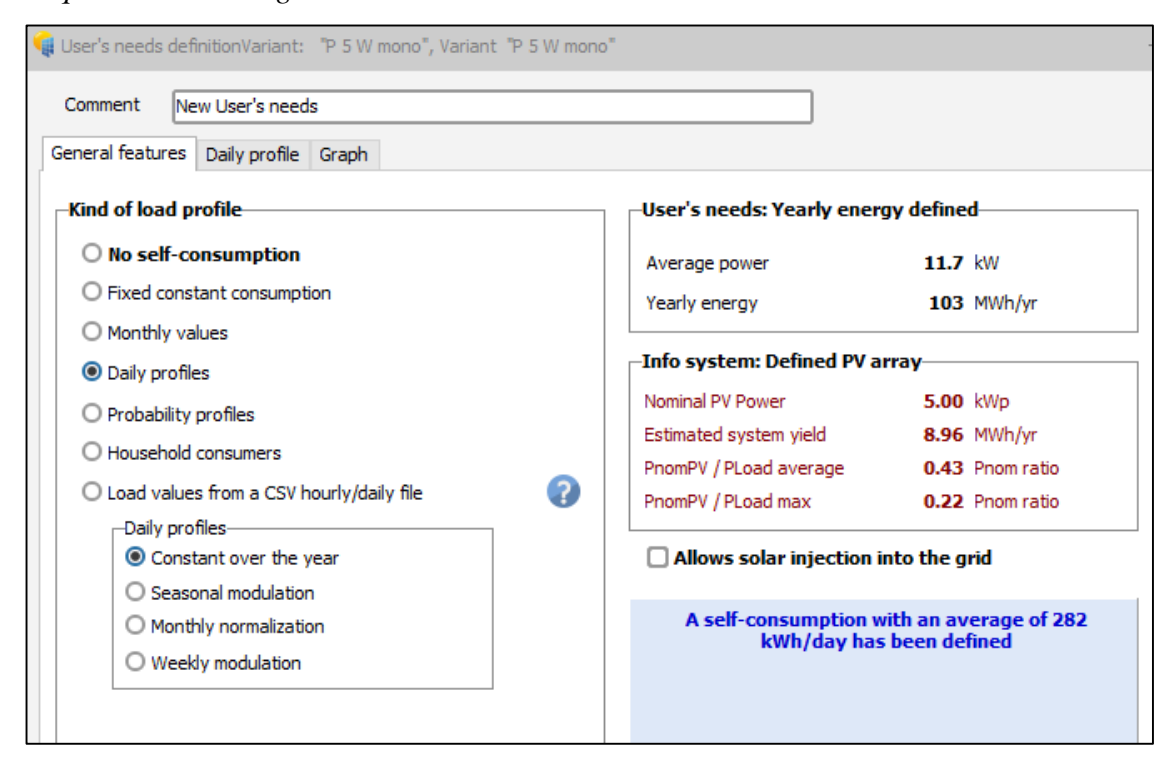
Por otro lado, la Figura 13 muestra el perfil de consumo horario del edificio, el cual mantuvo un patrón estable durante todo el año. Se identificaron dos niveles de demanda: un período de baja demanda, comprendido entre las 00:00 y las 08:00, así como entre las 18:00 y las 23:59, con un consumo de 5.0 kW, y un período de alta demanda, registrado entre las 08:00 y las 18:00, con un consumo de 23.0 kW. Esta distribución horaria reflejó un consumo energético acorde con las actividades operativas del edificio, permitiendo caracterizar la demanda eléctrica y evaluar la viabilidad de la integración de un sistema fotovoltaico.

Figura 12 *Perfil de carga diario*



Nota: Tomado de PVsyst software [Fotografía], por PVsyst, 2025, PVsyst. (https://www.pvsyst.com/).

Figura 13 *Requerimiento energético diario*



4.1.3. Objetivo específico 3

En el presente estudio se llevó a cabo una simulación considerando distintas potencias de sistemas fotovoltaicos y ambas tecnologías, monofacial y bifacial, con el propósito de determinar la capacidad óptima del sistema que maximice los indicadores técnicos. A continuación, se presentan los resultados obtenidos en la parte técnica.

Tabla 4 *Indicadores técnicos para el sistema con tecnología monofacial*

| Potencia pico del sistema (kWp) | Número de paneles | Área de uso (m²) | Peso total (kg) | Nivel sobre el suelo (m) | Producción del sistema anual (kWh/año) | Producción específica anual (kWh/kWp/año) | Fracción solar SF | Rendimiento final del sistema PR |
|--|----------------------|---------------------|--------------------|-----------------------------|---|---|----------------------|--|
| 5.00 | 10 | 22.00 | 235.00 | 0.05 | 7828 | 1566 | 7.60% | 69.80% |
| 10.00 | 20 | 44.00 | 470.00 | 0.05 | 16021 | 1602 | 15.60% | 71.40% |
| 15.00 | 30 | 66.00 | 705.00 | 0.05 | 24255 | 1617 | 23.60% | 72.00% |
| 20.00 | 40 | 88.00 | 940.00 | 0.05 | 32220 | 1611 | 31.30% | 71.80% |
| 24.00 | 48 | 105.60 | 1128.00 | 0.05 | 37992 | 1583 | 36.90% | 70.60% |
| 30.00 | 60 | 132.00 | 1410.00 | 0.05 | 48120 | 1604 | 46.80% | 71.50% |
| 34.00 | 68 | 149.60 | 1598.00 | 0.05 | 53992 | 1588 | 52.50% | 70.80% |
| 40.00 | 80 | 176.00 | 1880.00 | 0.05 | 59920 | 1498 | 58.20% | 66.80% |
| 45.00 | 90 | 198.00 | 2115.00 | 0.05 | 63765 | 1417 | 62.00% | 63.10% |
| 51.00 | 102 | 224.40 | 2397.00 | 0.05 | 66912 | 1312 | 65.00% | 58.50% |
| 54.00 | 108 | 237.60 | 2538.00 | 0.05 | 67500 | 1250 | 65.60% | 55.70% |
| 60.00 | 120 | 264.00 | 2820.00 | 0.05 | 70140 | 1169 | 68.20% | 52.10% |

Tabla 5 *Indicadores técnicos para el sistema con tecnología bifacial*

| Potencia pico del sistema (kWp) | Número de paneles | Área de uso (m²) | Peso total (kg) | Nivel sobre el suelo (m) | Producción del sistema anual (kWh/año) | Producción específica anual (kWh/kWp/año) | Fracción solar SF | Rendimiento final del sistema PR |
|--|----------------------|---------------------|--------------------|-----------------------------|---|---|----------------------|--|
| 5.00 | 10 | 24.00 | 301.00 | 1.50 | 8862 | 1772 | 8.60% | 79.00% |
| 10.00 | 20 | 48.00 | 602.00 | 1.50 | 17928 | 1793 | 17.40% | 79.90% |
| 15.00 | 30 | 72.00 | 903.00 | 1.50 | 26910 | 1794 | 26.10% | 79.90% |
| 20.00 | 40 | 96.00 | 1204.00 | 1.50 | 35160 | 1758 | 34.20% | 78.30% |
| 24.00 | 48 | 115.20 | 1444.80 | 1.50 | 42408 | 1767 | 41.20% | 78.80% |
| 30.00 | 60 | 144.00 | 1806.00 | 1.50 | 52920 | 1764 | 51.40% | 78.60% |
| 34.00 | 68 | 163.20 | 2046.80 | 1.50 | 58378 | 1717 | 56.70% | 76.50% |
| 40.00 | 80 | 192.00 | 2408.00 | 1.50 | 62960 | 1574 | 61.20% | 70.20% |
| 45.00 | 90 | 216.00 | 2709.00 | 1.50 | 66330 | 1474 | 64.40% | 65.70% |
| 51.00 | 102 | 244.80 | 3070.20 | 1.50 | 69207 | 1357 | 67.30% | 60.50% |
| 54.00 | 108 | 259.20 | 3250.80 | 1.50 | 70254 | 1301 | 68.20% | 58.00% |
| 60.00 | 120 | 288.00 | 3612.00 | 1.50 | 71100 | 1185 | 69.10% | 52.80% |

Figura 14 *Producción del sistema anual monofacial vs bifacial*

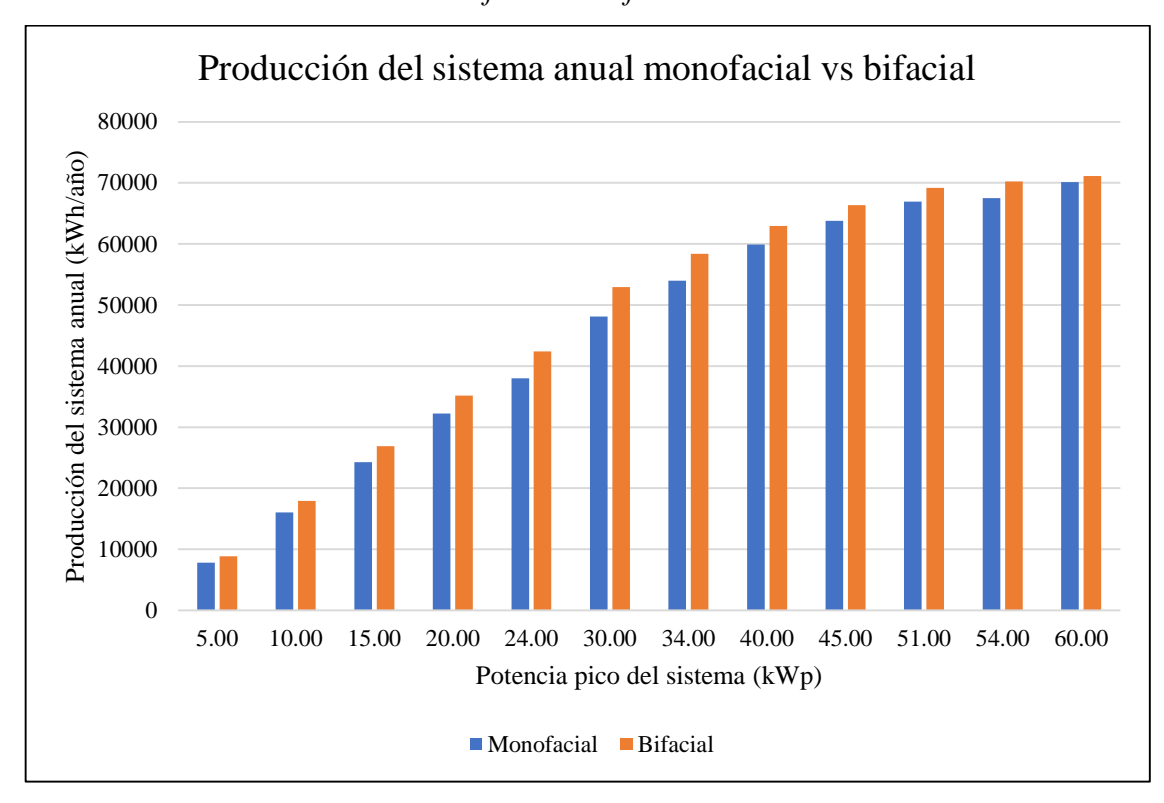


Figura 15 *Producción específica anual monofacial vs bifacial*

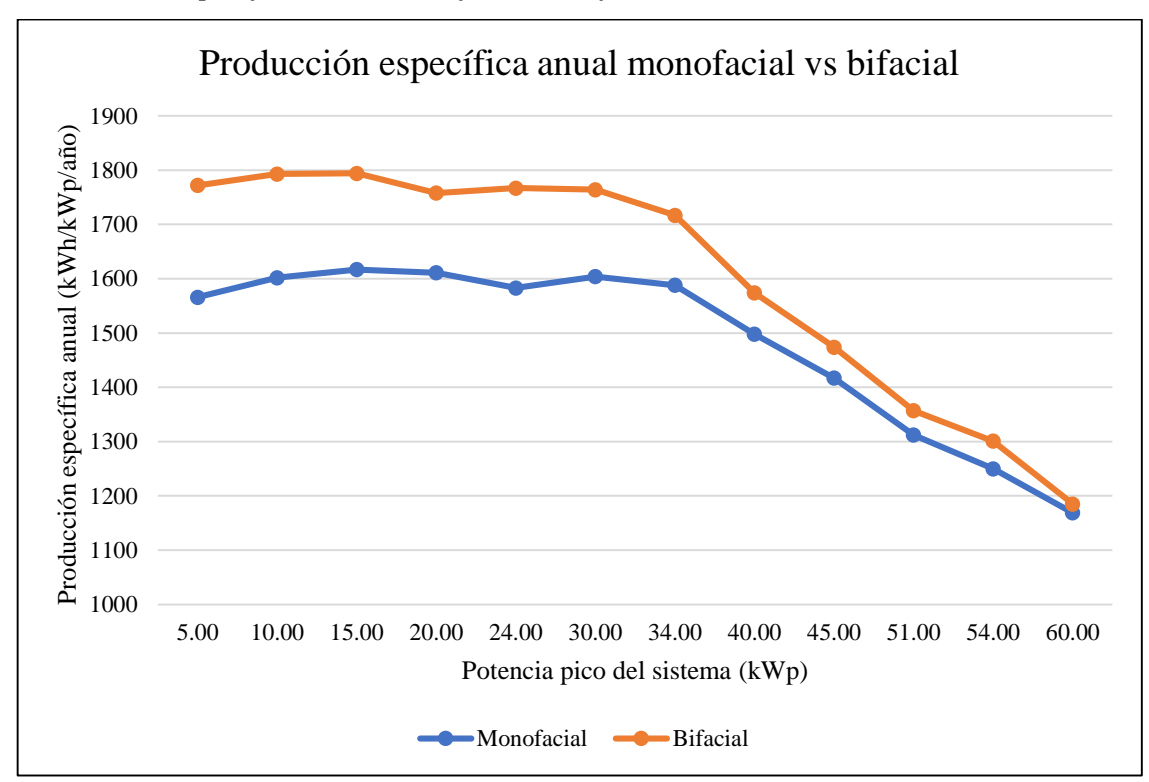


Figura 16Fracción solar monofacial vs bifacial

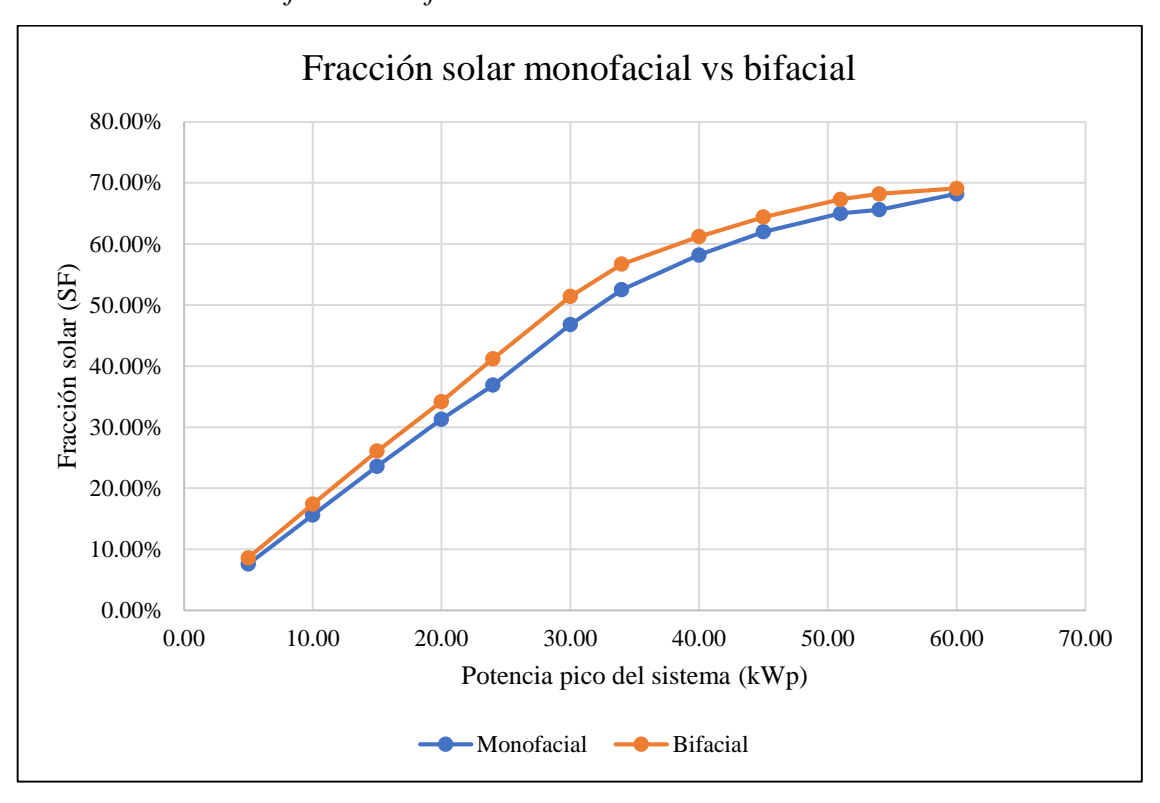
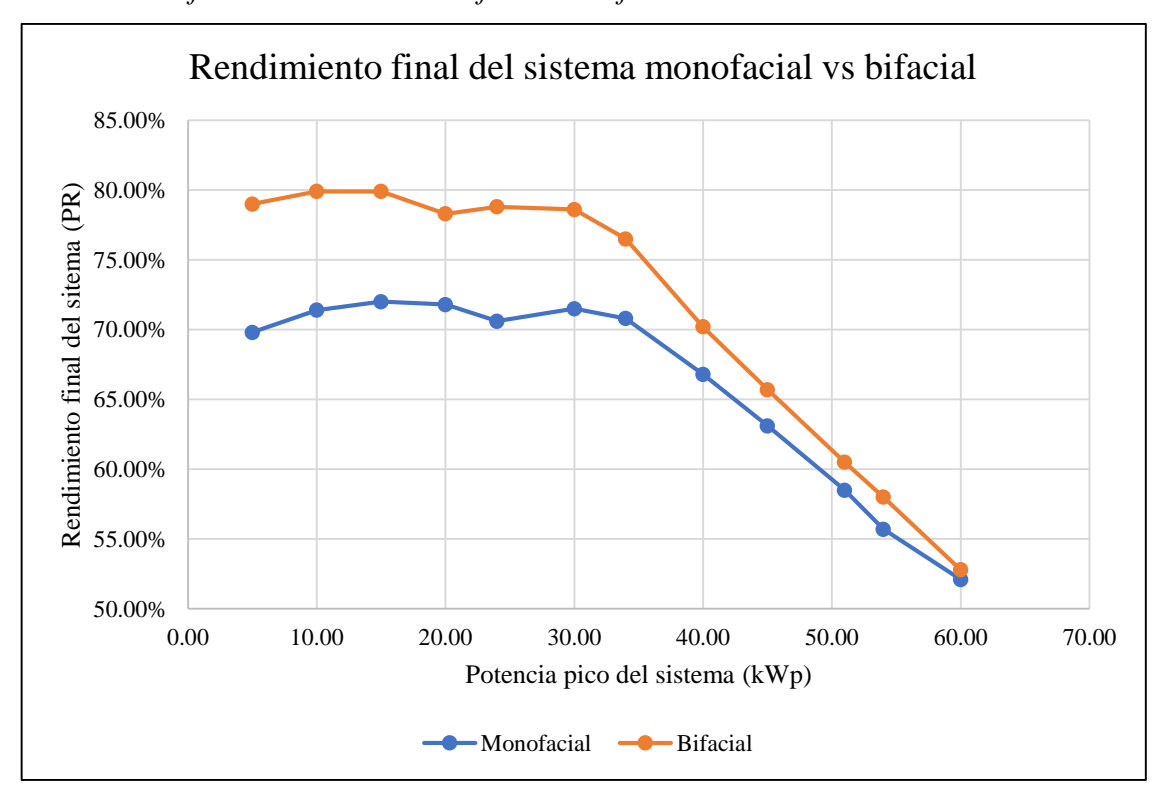


Figura 17 *Rendimiento final del sistema monofacial vs bifacial*



4.1.4. Objetivo específico 4

En cuanto a los indicadores económicos, se estimó una vida útil del sistema de 20 años, considerando una tasa de inflación del 4% y una tasa de descuento del 12%. Por otro lado, en este análisis no se contempló la inyección a la red de los excedentes de energía generados, debido a la ausencia de un marco normativo que regule dicho procedimiento.

Tabla 6Indicadores económicos para el sistema con tecnología monofacial

| Potencia pico del sistema (kWp) | Inversión (S/) | OPEX (S//año) | VAN (S/) | TIR | PRI (años) | LCOE (S//kWh) |
|--|-------------------|------------------|-----------|--------|---------------|------------------|
| 5.00 | 25910.00 | 1146.46 | 21299.27 | 21.86% | 7.7 | 0.5882 |
| 10.00 | 51820.00 | 2292.91 | 44883.22 | 22.37% | 7.4 | 0.5759 |
| 15.00 | 77730.00 | 3439.37 | 68434.44 | 22.54% | 7.3 | 0.5719 |
| 20.00 | 103640.00 | 4585.82 | 90758.14 | 22.48% | 7.4 | 0.5733 |
| 24.00 | 124368.00 | 5502.99 | 104148.09 | 22.06% | 7.6 | 0.5835 |
| 30.00 | 155460.00 | 6878.74 | 135693.85 | 22.43% | 7.4 | 0.5743 |
| 34.00 | 176188.00 | 7795.90 | 152836.28 | 22.32% | 7.5 | 0.5764 |
| 40.00 | 207280.00 | 9171.65 | 158880.44 | 21.14% | 8.1 | 0.6060 |
| 45.00 | 233190.00 | 10318.10 | 154360.21 | 19.96% | 8.8 | 0.6389 |
| 51.00 | 264282.00 | 11693.85 | 138430.03 | 18.39% | 10.0 | 0.6881 |
| 54.00 | 279828.00 | 12381.73 | 123108.82 | 17.43% | 10.8 | 0.7216 |
| 60.00 | 310920.00 | 13757.47 | 103148.78 | 16.15% | 12.2 | 0.7701 |

Tabla 7 *Indicadores económicos para el sistema con tecnología bifacial*

| Potencia pico del sistema (kWp) | Inversión (S/) | OPEX (S//año) | VAN (S/) | TIR | PRI (años) | LCOE (S//kWh) |
|--|-------------------|------------------|-----------|--------|---------------|------------------|
| 5.00 | 27100.00 | 1198.57 | 27049.22 | 23.78% | 6.8 | 0.5429 |
| 10.00 | 54200.00 | 2397.14 | 55634.93 | 24.09% | 6.7 | 0.5362 |
| 15.00 | 81300.00 | 3595.70 | 82675.75 | 24.04% | 6.7 | 0.5379 |
| 20.00 | 108400.00 | 4794.27 | 104912.80 | 23.51% | 6.9 | 0.5495 |
| 24.00 | 130080.00 | 5753.12 | 127637.78 | 23.65% | 6.9 | 0.5463 |
| 30.00 | 162600.00 | 7191.41 | 161678.42 | 23.74% | 6.8 | 0.5439 |
| 34.00 | 184280.00 | 8150.26 | 175508.95 | 23.20% | 7.1 | 0.5551 |
| 40.00 | 216800.00 | 9588.54 | 169488.28 | 21.30% | 8.0 | 0.6017 |
| 45.00 | 243900.00 | 10787.11 | 160310.55 | 19.90% | 8.9 | 0.6407 |
| 51.00 | 276420.00 | 12225.39 | 140651.92 | 18.21% | 10.1 | 0.6941 |
| 54.00 | 292680.00 | 12944.53 | 127139.99 | 17.36% | 10.9 | 0.7241 |
| 60.00 | 325200.00 | 14382.81 | 92336.45 | 15.58% | 12.9 | 0.7937 |

Figura 18Valor actual neto monofacial vs bifacial

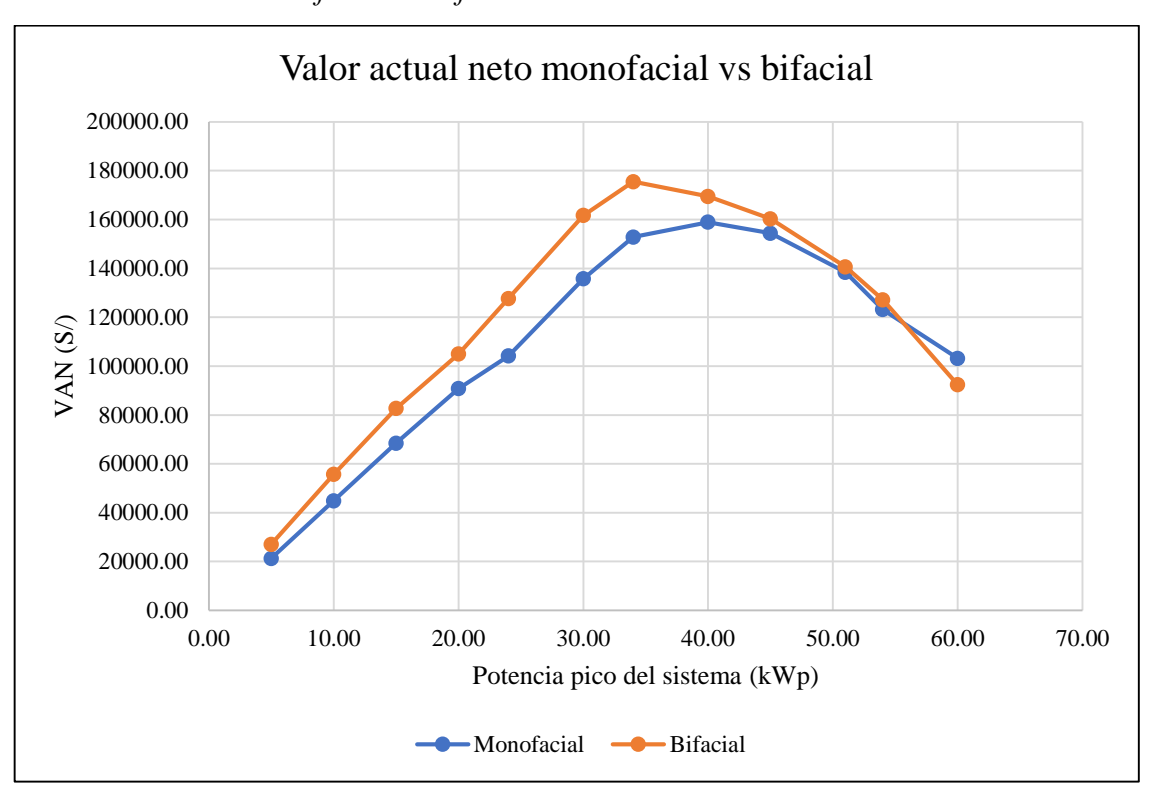


Figura 19Tasa interna de retorno monofacial vs bifacial

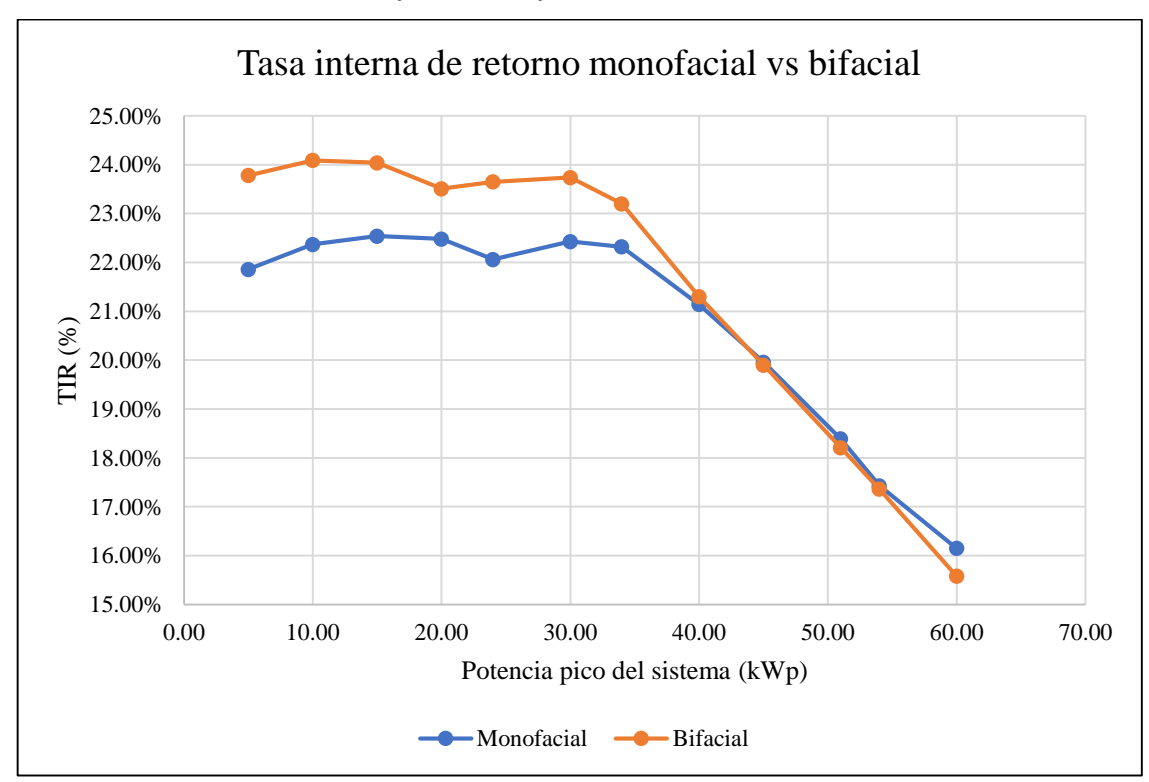


Figura 20Periodo recuperación de inversión monofacial vs bifacial

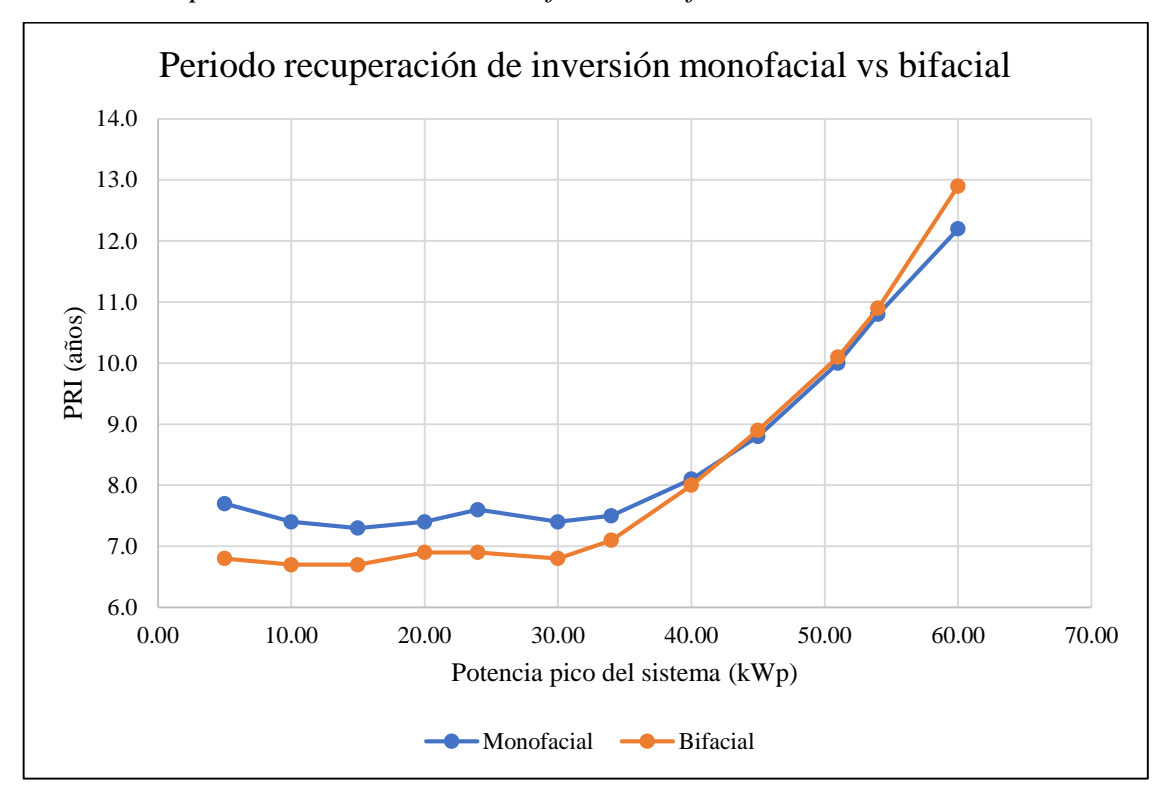
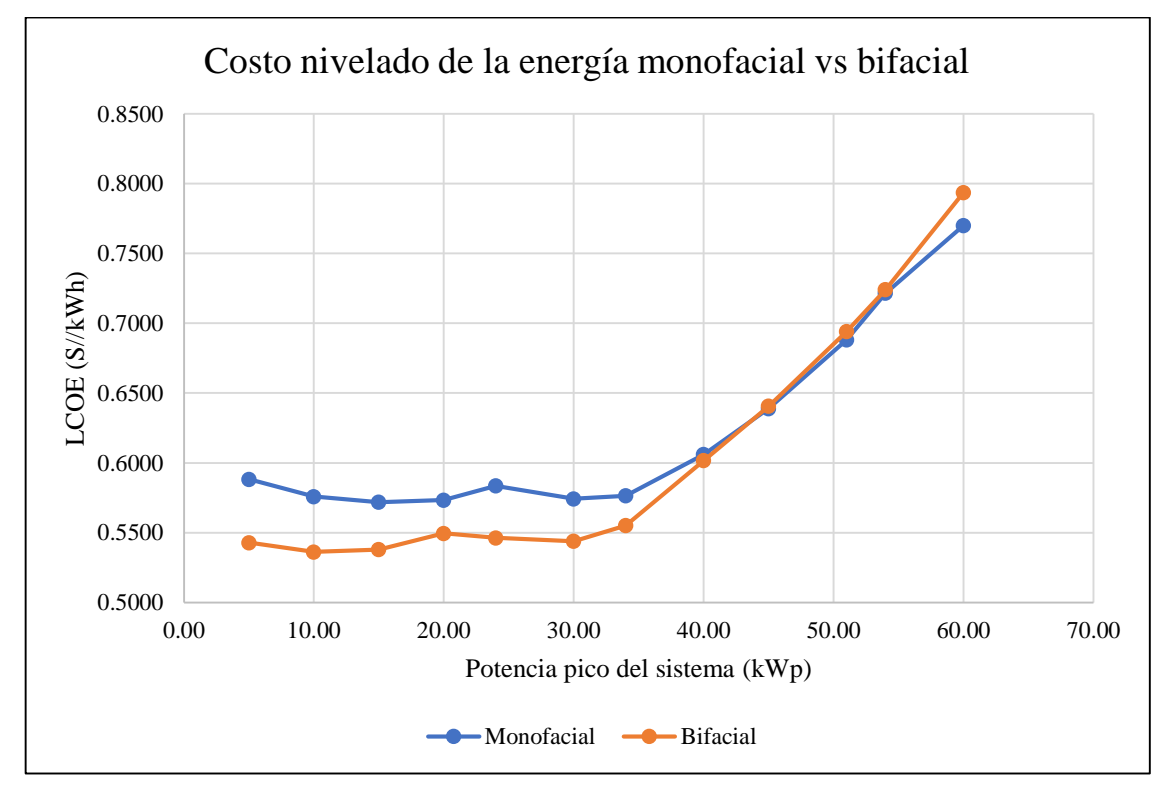


Figura 21Costo nivelado de la energía monofacial vs bifacial



4.1.5. Objetivo específico 5

Las emisiones asociadas al sistema fotovoltaico estuvieron vinculadas a la huella de carbono derivada de su proceso de fabricación y transporte, siendo estas equivalentes para ambas tecnologías analizadas. En cuanto a las emisiones evitadas, estas fueron directamente proporcionales a la energía generada durante la vida útil del sistema. A continuación, se presentan los indicadores correspondientes.

Tabla 8 *Emisiones asociadas de CO*₂ *para el sistema con tecnología monofacial*

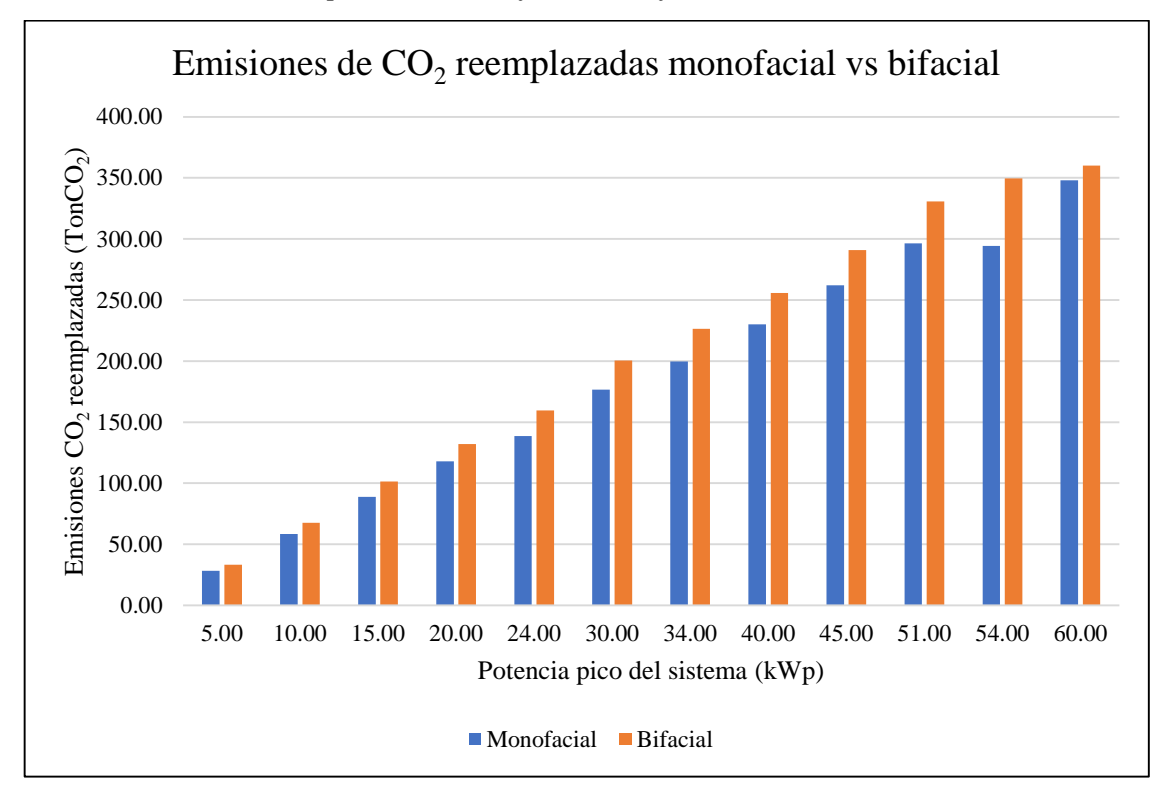
| Potencia pico del sistema (kWp) | Emisiones de CO ₂ generadas (TonCo ₂) | Emisiones de CO ₂ reemplazadas (TonCo ₂) |
|------------------------------------|---|---|
| 5.00 | 8.90 | 28.29 |
| 10.00 | 17.60 | 58.49 |
| 15.00 | 26.40 | 88.86 |
| 20.00 | 35.10 | 117.99 |
| 24.00 | 42.10 | 138.53 |
| 30.00 | 52.60 | 176.57 |
| 34.00 | 59.60 | 199.57 |
| 40.00 | 70.10 | 230.09 |
| 45.00 | 78.80 | 262.07 |
| 51.00 | 89.30 | 296.45 |
| 54.00 | 94.50 | 294.36 |
| 60.00 | 105.00 | 348.06 |

Tabla 9 *Emisiones asociadas de CO*₂ *para el sistema con tecnología bifacial*

| Potencia pico del sistema | Emisiones de CO ₂ | Emisiones de CO ₂ |
|---------------------------|---------------------------------|------------------------------|
| (kWp) | generadas (TonCo ₂) | reemplazadas (TonCo2) |
| 5.00 | 8.90 | 33.21 |
| 10.00 | 17.60 | 67.56 |
| 15.00 | 26.40 | 101.48 |
| 20.00 | 35.10 | 131.97 |
| 24.00 | 42.10 | 159.72 |
| 30.00 | 52.60 | 200.43 |
| 34.00 | 59.60 | 226.37 |
| 40.00 | 70.10 | 255.69 |
| 45.00 | 78.80 | 290.90 |
| 51.00 | 89.30 | 330.69 |
| 54.00 | 94.50 | 349.47 |
| 60.00 | 105.00 | 360.20 |

Figura 22

Emisiones de CO₂ reemplazadas monofacial vs bifacial



4.1.6. Objetivo general

En cuanto al impacto energético derivado de la comparación entre ambas tecnologías, se seleccionaron tres indicadores principales, los cuales permitieron determinar si el uso de una tecnología sobre otra representó una mejora significativa. En el caso de los indicadores técnicos, el parámetro más relevante fue el rendimiento final del sistema, como se detalla en la Tabla 4 y Tabla 5, según corresponda.

A partir de estos datos, se llevó a cabo un tratamiento estadístico con el propósito de verificar la distribución de los datos. En primer lugar, se evaluó si estos seguían una distribución normal y, posteriormente, se aplicaron pruebas estadísticas para aceptar o rechazar la hipótesis planteada. Los resultados de este análisis se presentan a continuación.

Tabla 10Prueba de normalidad rendimiento final del sistema

| Prueba de | | Shapiro-Wilk | |
|---------------|-------------|--------------------|---------------|
| normalidad | Estadístico | Grados de libertad | Significancia |
| Diferencia PR | 0.909 | 12 | 0.205 |

La prueba de normalidad indicó que la diferencia del parámetro sigue una distribución normal, por lo que se utilizó una prueba paramétrica (t de student para muestras relacionadas), siendo sus resultados los siguientes:

 Tabla 11

 Prueba t de student rendimiento final del sistema

| T de student | Diferencia de | 4 | Grados de libertad | Significancia |
|--------------|---------------|--------|--------------------|---------------|
| i de student | medias | ι | Grados de libertad | (bilateral) |
| PRm - PRb | -5.34167 | -6.219 | 11 | 0.000 |

Dado que el valor de significancia obtenido fue inferior a 0.05 (5%), se confirmó que la diferencia en el parámetro analizado fue estadísticamente significativa. En términos absolutos, dicha diferencia correspondió a aumentar el parámetro 5.34% al usar la tecnología bifacial.

El mismo procedimiento fue aplicado al costo nivelado de energía (LCOE), un parámetro económico fundamental para comparar el costo de producción de energía del sistema fotovoltaico. Los resultados obtenidos de este análisis se presentan a continuación.

Tabla 12Prueba de normalidad LCOE del sistema

| Prueba de | | Shapiro-Wilk | |
|-----------------|-------------|--------------------|---------------|
| normalidad | Estadístico | Grados de libertad | Significancia |
| Diferencia LCOE | 0.930 | 12 | 0.380 |

La prueba de normalidad indicó que la diferencia del parámetro sigue una distribución normal, por lo que se utilizó una prueba paramétrica (t de student para muestras relacionadas), siendo sus resultados los siguientes:

Tabla 13Prueba t de student LCOE del sistema

| T de student | Diferencia de medias | t | Grados de libertad | Significancia (bilateral) |
|---------------|-------------------------|-------|--------------------|------------------------------|
| LCOEm - LCOEb | 0.01684 | 2.650 | 11 | 0.023 |

Dado que el valor de significancia obtenido fue inferior a 0.05 (5%), se confirmó que la diferencia en el parámetro analizado fue estadísticamente significativa. En términos absolutos, dicha diferencia representó una reducción de 0.01684 S//kWh (2.71%) en el parámetro al emplear la tecnología bifacial.

El mismo procedimiento fue aplicado al análisis de las emisiones de CO₂ reemplazadas, un parámetro ambiental que permitió cuantificar la reducción de emisiones de CO₂ lograda mediante la implementación del sistema fotovoltaico. Los resultados obtenidos de este análisis se presentan a continuación.

Tabla 14Prueba de normalidad emisiones de CO₂ reemplazadas del sistema

| Prueba de | Shapiro-Wilk | | | |
|--------------|--------------|--------------------|---------------|--|
| normalidad | Estadístico | Grados de libertad | Significancia | |
| Diferencia E | 0.914 | 12 | 0.237 | |

La prueba de normalidad indicó que la diferencia del parámetro sigue una distribución normal, por lo que se utilizó una prueba paramétrica (t de student para muestras relacionadas), siendo sus resultados los siguientes:

Tabla 15Prueba t de student emisiones de CO₂ reemplazadas del sistema

| T de student | Diferencia de medias | t | Grados de libertad | Significancia (bilateral) |
|--------------|-------------------------|--------|--------------------|------------------------------|
| Em - Eb | -22.36333 | -5.689 | 11 | 0.000 |

Dado que el valor de significancia obtenido fue inferior a 0.05 (5%), se confirmó que la diferencia en el parámetro analizado fue estadísticamente significativa. En términos absolutos, dicha diferencia representó una reducción adicional de 22.36 toneladas de CO₂ (11.98%) al emplear la tecnología bifacial.

Finalmente, tras un análisis exhaustivo y la verificación de que el sistema bifacial logró un impacto energético mayor y estadísticamente significativo en comparación con el sistema monofacial, se determinó la potencia óptima del sistema fotovoltaico. Esta selección se realizó con el objetivo de maximizar el rendimiento energético y minimizar

el costo nivelado de energía (LCOE), estableciéndose que la configuración óptima correspondía a un sistema fotovoltaico bifacial de 15 kWp. A continuación, se presentan los principales indicadores de desempeño del sistema seleccionado.

Tabla 16Sistema fotovoltaico escogido

| Indicador | Valor |
|---|----------|
| Potencia pico del sistema Ppk (kWp) | 15.00 |
| Tecnología | BIFACIAL |
| Número de paneles | 30 |
| Área de uso (m²) | 72.00 |
| Peso total (kg) | 903.00 |
| Nivel sobre el suelo (m) | 1.50 |
| Producción del sistema anual (kWh/año) | 26910 |
| Producción específica anual (kWh/kWp/año) | 1794 |
| Fracción solar SF | 26.10% |
| Rendimiento final del sistema PR | 79.90% |
| Inversión (S/) | 81300.00 |
| OPEX (S//año) | 3595.70 |
| VAN (S/) | 82675.75 |
| TIR | 24.04% |
| PRI (años) | 6.7 |
| LCOE (S//kWh) | 0.5379 |
| Emisiones de CO ₂ generadas (TonCO ₂) | 26.40 |
| Emisiones de CO ₂ reemplazadas (TonCO ₂) | 101.48 |

Las fichas técnicas del sistema fotovoltaico, junto con su diagrama de conexión, fueron incluidas en los anexos correspondientes para su consulta detallada.

4.2. DISCUSIÓN

El análisis comparativo realizado ha evidenciado que la tecnología bifacial presenta un impacto energético superior en comparación con la monofacial, lo cual está alineado con investigaciones internacionales como la de Prasad & Prasad (2023), quienes demostraron que los paneles bifaciales generan un mayor coeficiente de rendimiento y reducen el Costo Nivelado de Energía (LCOE). De igual forma, Kahar et al. (2023) destacaron que los paneles bifaciales logran una mejor captación de radiación reflejada, lo que incrementa su eficiencia en la producción de energía.

Desde la perspectiva teórica, la eficiencia de un sistema fotovoltaico está influenciada por la capacidad de conversión de sus módulos, la disponibilidad de radiación solar y las condiciones de instalación. Kopecek & Libal (2018) resaltaron que los paneles bifaciales maximizan su producción energética al captar radiación reflejada desde el suelo, lo que coincide con los resultados obtenidos en esta investigación, donde se observó un incremento del rendimiento del sistema bifacial en entornos con albedo favorable.

El uso del software PVsyst permitió modelar con precisión el desempeño de ambas tecnologías, reforzando la importancia de herramientas de simulación en la toma de decisiones energéticas. La validación de estos resultados mediante simulaciones computacionales es un aspecto clave respaldado por Satpathy & Pamuru (2020), quienes destacaron la utilidad del PVsyst en la predicción de rendimiento fotovoltaico en diferentes escenarios.

Los resultados reflejan que la adopción de paneles bifaciales en el Edificio Administrativo del Campus I no solo optimiza la generación de energía, sino que también reduce el costo operativo a lo largo de su vida útil. A pesar de que la inversión inicial en paneles bifaciales es mayor, el análisis económico muestra que el menor LCOE y el rápido retorno de inversión justifican su implementación. No obstante, el impacto real de la tecnología bifacial depende de factores como la altura de instalación, la orientación de los módulos y la calidad de la superficie reflectante. En este sentido, las estrategias de instalación deben enfocarse en maximizar estos parámetros para asegurar la rentabilidad del sistema.

El análisis del impacto energético de los paneles fotovoltaicos monofaciales y bifaciales en la Universidad Nacional del Santa demuestra que la tecnología bifacial es la opción más eficiente y rentable a largo plazo. La evidencia obtenida confirma que la adopción de esta tecnología puede contribuir significativamente a la reducción del consumo eléctrico en

instituciones educativas, promoviendo un modelo energético más sostenible y alineado con los objetivos de transición energética.

Con respecto al primer objetivo específico, los resultados indican que la ubicación del edificio presenta condiciones favorables para la instalación de paneles fotovoltaicos, debido a su orientación hacia el norte y la disponibilidad de un área considerable para la instalación de los módulos solares. Sin embargo, la presencia de árboles cercanos genera sombras que pueden afectar la eficiencia del sistema.

Estos hallazgos coinciden con la investigación de Aksoy & Çalik (2022), quienes demostraron que la eficiencia de los paneles bifaciales se ve influenciada por la cantidad de radiación reflejada en el suelo y la presencia de elementos de sombra. Asimismo, Kopecek & Libal (2018) resaltaron la importancia del albedo en la optimización del rendimiento de los paneles bifaciales, lo que refuerza la necesidad de evaluar la superficie de instalación.

Con respecto al segundo objetivo específico, las simulaciones realizadas con PVsyst confirmaron que los paneles bifaciales tienen un rendimiento final superior en comparación con los monofaciales, debido a su capacidad de captar radiación por ambas caras. Además, se observó un incremento del rendimiento en condiciones de mayor albedo y con una inclinación de 15°, lo que se alinea con estudios previos como el de Kahar et al. (2023), quienes identificaron un coeficiente de rendimiento superior en paneles bifaciales gracias a su mayor eficiencia en captación solar.

Asimismo, estudios nacionales como el de Espinoza (2023) respaldan estos hallazgos, evidenciando que la tecnología bifacial optimiza la generación de energía en escenarios de alta irradiación. La simulación con PVsyst también permitió determinar la diferencia en la producción específica anual entre ambas tecnologías, validando que los paneles bifaciales superan a los monofaciales en eficiencia energética.

Con respecto al tercer objetivo específico, el análisis económico evidenció que, aunque los paneles bifaciales requieren una inversión inicial mayor, presentan un menor Costo Nivelado de Energía (LCOE) y un periodo de recuperación de inversión (PRI) más corto en comparación con los paneles monofaciales. Estos resultados concuerdan con la investigación de Kumbaroğlu et al. (2021), quienes identificaron una Tasa Interna de Retorno (TIR) superior en paneles bifaciales, lo que los convierte en una opción más rentable a largo plazo.

Desde una perspectiva nacional, Estrada (2022) encontró que los proyectos fotovoltaicos bifaciales en el Perú pueden ser viables económicamente, siempre que se optimice su diseño e instalación. En este sentido, los hallazgos de esta investigación refuerzan la idea de que la inversión en tecnología bifacial puede ser financieramente atractiva para instituciones educativas como la Universidad Nacional del Santa.

Con respecto al cuarto objetivo específico, los resultados de la evaluación económica indicaron que los paneles bifaciales tienen un mayor retorno de inversión en escenarios donde se aprovecha su capacidad de captación de radiación reflejada. Esta observación coincide con estudios como el de Prasad & Prasad (2023), quienes concluyeron que los sistemas bifaciales pueden reducir significativamente los costos de operación a lo largo de su vida útil.

Además, los resultados del análisis de sensibilidad económica muestran que la rentabilidad de estos sistemas depende de factores como la disponibilidad de incentivos gubernamentales y el costo de los componentes fotovoltaicos. En este sentido, la implementación de estrategias de financiamiento podría mejorar la viabilidad de estos proyectos.

Con respecto al quinto objetivo específico, los cálculos de emisiones evitadas mostraron que los paneles bifaciales contribuyen en mayor medida a la reducción de CO₂ en comparación con los monofaciales, lo que los hace una opción más sostenible desde el punto de vista ambiental. Esta conclusión es consistente con la investigación de Gonzales (2023), quien demostró que la tecnología bifacial puede mitigar un mayor volumen de emisiones contaminantes en entornos urbanos.

En el contexto peruano, iniciativas como el Programa Masivo Fotovoltaico para Zonas Aisladas No Conectadas a Red, han evidenciado el impacto positivo de la energía solar en la reducción de la huella de carbono. En este sentido, la implementación de paneles bifaciales en la Universidad Nacional del Santa podría contribuir a los objetivos de sostenibilidad institucional.

V. CONCLUSIONES Y RECOMENDACIONES

5.1. CONCLUSIONES

- En este contexto, los paneles bifaciales demostraron un impacto energético mayor y estadísticamente significativo, con un incremento del 5.34% en comparación con los paneles monofaciales. Asimismo, se destacó que su implementación permitió reducir el costo nivelado de la energía (LCOE) y generar un mayor ahorro en términos de emisiones de CO₂ evitadas, lo que refuerza su viabilidad tanto desde el punto de vista económico como ambiental.
- El análisis de las condiciones ambientales y las características técnicas del entorno del Edificio Administrativo del Campus I de la Universidad Nacional del Santa, permiten la instalación de paneles bifaciales debido a su capacidad de captar radiación reflejada y optimizar la generación de energía.
- La comparación de simulaciones de los indicadores técnicos de los paneles fotovoltaicos monofaciales y bifaciales utilizando el software especializado PVsyst 8.0.7., revelan que los paneles bifaciales presentan un rendimiento final del sistema PR superior en un 5.34 % respecto a los paneles monofaciales.
- Al comparar los indicadores económicos de ambas tecnologías, se concluye que los paneles bifaciales presentan un Costo Nivelado de Energía (LCOE) menor en un 2.71% y un retorno de inversión más atractivo en comparación con los paneles monofaciales.
- Se evaluó la sensibilidad económica de los sistemas fotovoltaicos propuestos, los resultados permiten afirmar que se minimiza el costo nivelado de la energía siendo de 0.5379 S//kWh, mientras que el periodo de recuperación de la inversión se reduce hasta 6.7 años, para el sistema fotovoltaico bifacial de 15 kWp.
- Se cuantificó la reducción de emisiones de CO₂ asociada a cada tecnología, los resultados revelan que los paneles bifaciales permiten una mayor reducción de emisiones de CO₂, hasta un 11.98% más, lo que refuerza su viabilidad como alternativa sostenible para la transición energética en instituciones educativas.

5.2. RECOMENDACIONES

- La Universidad Nacional del Santa debe adoptar una estrategia de transición hacia paneles bifaciales en sus edificaciones, priorizando áreas con mayor incidencia de radiación y menor sombra.
- Se recomienda realizar estudios económicos adicionales para evaluar la escalabilidad de la implementación de paneles bifaciales en otras infraestructuras de la universidad.
- Es necesario establecer un plan de monitoreo y mantenimiento preventivo para garantizar el óptimo desempeño de los sistemas fotovoltaicos y prolongar su vida útil.
- Recomendamos desarrollar programas de concienciación y capacitación para estudiantes y personal de la universidad sobre el impacto positivo de la energía solar y su papel en la sostenibilidad.
- Se debe buscar alianzas estratégicas con el sector público y privado para obtener financiamiento y apoyo técnico que facilite la implementación de tecnologías solares en el campus.

VI. REFERENCIAS BIBLIOGRÁFICAS Y VIRTUALES

- Abou, Y., Hossain, E. & Hossain, E. (2022). *Photovoltaic systems: fundamentals and applications* [Sistemas fotovoltaicos: fundamentos y aplicaciones]. Springer.
- Aksoy, M. & Çalik, M. (2022). Performance investigation of bifacial photovoltaic panels at different ground conditions [Investigación del rendimiento de paneles fotovoltaicos bifaciales en diferentes condiciones de suelo]. *Konya Journal of Engineering Sciences*, 10(3), 704-718. https://doi.org/10.36306/konjes.1116729
- Bojek, P. (2023). *Solar PV* [Energía solar fotovoltaica]. IEA. https://www.iea.org/energy-system/renewables/solar-pv
- Cruz, E. (2022). Antamina: Comunidades en Huarmey se benefician con paneles solares.

 *Rumbo Minero. https://www.rumbominero.com/peru/antamina-comunidades-huarmey-paneles-solares/
- Espinoza, F. (2023). Generación energética sostenible con paneles solares monofaciales y bifaciales en la Universidad Nacional Toribio Rodríguez de Mendoza de Amazonas [Tesis doctoral, Universidad Nacional Toribio Rodríguez de Mendoza de Amazonas]. Repositorio de la Universidad Nacional Toribio Rodríguez de Mendoza de Amazonas. https://repositorio.untrm.edu.pe/handle/20.500.14077/3064
- Estrada, W. (2022). Estudio de viabilidad económica y técnica para la construcción de la central solar fotovoltaica de 10 MW [Tesis de grado, Universidad Nacional de Ingeniería]. Repositorio Institucional Universidad Nacional de Ingeniería. http://hdl.handle.net/20.500.14076/23824
- García, M., Quispe, G., Zamudio, M., Conde, L., Angulo, J., Berastain, A. & Töfflinger, J. (2023). Outdoor IV characterization of tilted and vertical bifacial PV modules [Caracterización exterior IV de módulos fotovoltaicos bifaciales inclinados y verticales]. *Journal of Physics: Conference Series IOP Publishing*, 2538(1), 012002. https://doi.org/10.1088/1742-6596/2538/1/012002
- Gonzales, F. (2023). Análisis experimental del rendimiento de un módulo fotovoltaico bifacial a diferentes ángulos de inclinación e irradiancia [Tesis de pregrado, Universidad Nacional de Juliaca]. Repositorio UNAJ. http://repositorio.unaj.edu.pe/handle/UNAJ/301

- Google Maps (2025). *Google Maps*. https://www.google.com/maps?authuser=0
- Hernández, R. y Mendoza, C. (2018). *Metodología de la investigación: las rutas:*cuantitativa, cualitativa y mixta. Mc Graw Hill educación.

 http://repositorio.uasb.edu.bo:8080/handle/54000/1292
- International Energy Agency (2023), *Latin America Energy Outlook 2023* [Perspectivas energéticas de América Latina 2023]. IEA. https://www.iea.org/reports/latin-america-energy-outlook-2023
- International Energy Agency (2023), *World Energy Outlook 2023* [Perspectivas de la energía en el mundo 2023]. IEA. https://www.iea.org/reports/world-energy-outlook-2023
- International Energy Agency: Photovoltaic Power Systems Programme (2023). *Trends in PV Applications 2023* [Tendencias en aplicaciones fotovoltaicas 2023]. https://iea-pvps.org/trends-reports/trends-2023/
- Jäger-Waldau, A. (2023). Snapshot of Photovoltaics—May 2023 [Fotovoltaica Mayo de 2023]. *EPJ Photovoltaics*, 14(23), 1-9. https://doi.org/10.1051/epjpv/2023016
- Kahar, N., Azhan, N., Alhamrouni, I., Zulkifli, M., Sutikno, T. & Jusoh, A. (2023). Comparative analysis of grid-connected bifacial and standard mono-facial photovoltaic solar systems [Análisis comparativo de sistemas solares fotovoltaicos bifaciales conectados a la red y monofaciales estándar]. *Bulletin of Electrical Engineering and Informatics*, 12(4), 1993-2004. https://doi.org/10.11591/eei.v12i4.5072
- Khan, M., Patel, M., Asadpour, R., Imran, H., Butt, N., & Alam, M. (2021). A review of next generation bifacial solar farms: predictive modeling of energy yield, economics, and reliability [Revisión de la próxima generación de huertos solares bifaciales: modelización predictiva del rendimiento energético, la economía y la fiabilidad]. Journal of Physics D: Applied Physics, 54(32), 323001. https://doi.org/10.1088/1361-6463/abfce5
- Kopecek, R., & Libal, J. (2018). Towards large-scale deployment of bifacial photovoltaics [Hacia la implantación a gran escala de la fotovoltaica bifacial]. *Nat Energy, 3*, 443–446. https://doi.org/10.1038/s41560-018-0178-0

- Kopecek, R., & Libal, J. (2021). Bifacial photovoltaics 2021: Status, opportunities and challenges [Fotovoltaica bifacial 2021: Situación, oportunidades y retos]. *Energies*, 14(8), 2076. https://doi.org/10.3390/en14082076
- Kumar, R., Rajoria, C. S., Sharma, A., & Suhag, S. (2021). Design and simulation of standalone solar PV system using PVsyst Software: A case study [Diseño y simulación de un sistema solar fotovoltaico autónomo mediante el software PVsyst: Un estudio de caso]. *Materials Today: Proceedings*, 46, 5322–5328. https://doi.org/10.1016/j.matpr.2020.08.785
- Kumbaroğlu, G., Çamlibel, M., & Avcı, C. (2021). Techno-economic comparison of bifacial vs monofacial solar panels [Comparación técnico-económica entre paneles solares bifaciales y monofaciales]. *Engineering Structures and Technologies*, *13*(1), 7–18. https://doi.org/10.3846/est.2021.17181
- La República (5 de abril de 2022). Programa fotovoltaico logró electrificar a zonas rurales de La Libertad, Cajamarca y Áncash. *La República*. https://larepublica.pe/nota-de-prensa/2022/04/05/programa-fotovoltaico-logro-electrificar-a-zonas-rurales-de-la-libertad-cajamarca-y-ancash
- Lozada, J. (2014). Investigación Aplicada: Definición, Propiedad Intelectual e Industria. *CienciAmérica*, 3(1), 47–50. https://cienciamerica.edu.ec/index.php/uti/article/view/30
- Milla, A. (26 de junio de 2023). Enel X pone en marcha primera planta solar en instalaciones de Siderperu. *Gestión*. https://gestion.pe/economia/empresas/enel-x-pone-en-marcha-primera-planta-solar-en-instalaciones-de-siderperu-noticia/
- Mohammad, A. & Mahjabeen, F. (2023). Revolutionizing solar energy: The impact of artificial intelligence on photovoltaic systems. *International Journal of Multidisciplinary Sciences and Arts*, 2(1), 117-127. https://jurnal.itscience.org/index.php/ijmdsa/article/view/2599
- Ñaupas, H., Valdivia, M., Palacios, J., y Romero, H. (2018). *Metodología de la investigación* cuantitativa-cualitativa y redacción de la tesis. Ediciones de la U.
- Organismo Supervisor de la Inversión en Energía y Minería (2023). *Compendio de proyectos de generación y transmisión eléctrica en construcción*. OSINERGMIN. https://www.osinergmin.gob.pe/empresas/electricidad/proyectos/publicaciones

- Perpiñán, O. (2023). Energía Solar Fotovoltaica. http://oscarperpinan.github.io/esf/
- Prasad, M. & Prasad, R. (2023). Bifacial vs monofacial grid-connected solar photovoltaic for small islands: A case study of Fiji [Energía solar fotovoltaica conectada a la red bifacial frente a monofacial para islas pequeñas: El caso de Fiyi]. *Renewable Energy*, 203, 686-702. https://doi.org/10.1016/j.renene.2022.12.068
- PVsyst (2023). PVsyst software. https://www.pvsyst.com/
- Raina, G., & Sinha, S. (2022). A holistic review approach of design considerations, modelling, challenges and future applications for bifacial photovoltaics [Un enfoque de revisión holística de las consideraciones de diseño, modelización, retos y aplicaciones futuras de la fotovoltaica bifacial]. *Energy Conversion and Management*, 271(2022), 116290. https://doi.org/10.1016/j.enconman.2022.116290
- Sánchez-Pantoja, N., Vidal, R. & Pastor, M. C. (2018). Aesthetic impact of solar energy systems. *Renewable and Sustainable Energy Reviews*, 98, 227-238. https://doi.org/10.1016/j.rser.2018.09.021
- Satpathy, R. & Pamuru, V. (2020). *Solar PV power: design, manufacturing and applications from sand to systems* [Energía solar fotovoltaica: diseño, fabricación y aplicaciones, de la arena a los sistemas]. Academic Press.
- Universidad Nacional de Santa (2021). *Áreas y líneas de investigación UNS 2021*.

 RESOLUCIÓN

 N°*

 110-2021-CU-R-UNS.

 https://www.uns.edu.pe/transparencia/recursos/2f8d9f0745b671d9f0ccced1366f9f4

 3.pdf
- Universidad Nacional del Santa (2024). Reglamento general de grados y títulos.

 RESOLUCIÓN N° 337-2024-CU-R-UNS.

 https://www.uns.edu.pe/transparencia/recursos/035f8a4d6e54b215123ab3b6020bfa
 48.%20580-2022-CU.pdf
- Zhong, J., Zhang, W., Xie, L., Zhao, O., Wu, X., Zeng, X., & Guo, J. (2023). Development and challenges of bifacial photovoltaic technology and application in buildings: A review [Desarrollo y retos de la tecnología fotovoltaica bifacial y su aplicación en edificios: Una revisión]. *Renewable and Sustainable Energy Reviews*, 187(2023), 113706. https://doi.org/10.1016/j.rser.2023.113706

VII. ANEXOS

Anexo 1: Matriz de Consistencia

Análisis comparativo entre la eficiencia energética con paneles fotovoltaicos monofaciales y bifaciales en la Universidad Nacional del Santa

| Problema | Objetivos | Hipótesis | Variable | Dimensiones | Indicadores |
|---|--|--|--------------------|-----------------------|---|
| | Objetivo General: Analizar el impacto energético de las tecnologías de paneles | | | | Número de paneles |
| | fotovoltaicos monofaciales y bifaciales para satisfacer las | | | Panel fotovoltaico | Área del arreglo fotovoltaico |
| | demandas energéticas del Edificio Administrativo del | | | monofacial | Peso total |
| | Campus I de la Universidad Nacional del Santa. | Los paneles | V.I.: | | Nivel sobre el suelo |
| ¿En qué porcentaje | * | fotovoltaicos | Panel fotovoltaico | | Número de paneles |
| una tecnología de | Objetivos Específicos: | bifaciales presentan un | | Panel fotovoltaico | Área del arreglo fotovoltaico |
| paneles | – Analizar las condiciones ambientales y las | impacto energético | | bifacial | Peso total |
| fotovoltaicos maximiza el | características técnicas del entorno del Edificio Administrativo del Campus I de la Universidad | superior en un 15%, en comparación con la | | | Nivel sobre el suelo |
| impacto energético para satisfacer las | Nacional del Santa. - Comparar simulaciones de los indicadores técnicos de | tecnología de los paneles fotovoltaicos | | | Rendimiento final del sistema PR |
| demandas | 1 | monofaciales, para | | Componente técnico | Fracción solar SF |
| energéticas del | utilizando el software especializado PVsyst 7.4.8. | satisfacer las | | tecnico | Producción del sistema |
| Edificio | tecnologías. Evaluar la sensibilidad económica de los sistemas fotovoltaicos propuestos. | demandas energéticas del Edificio Administrativo del Campus I de la | | Componente económico | Producción específica |
| Administrativo del | | | V.D.: Impacto | | Valor actual neto |
| Campus I de la | | | - | | Tasa interna de retorno |
| Universidad | | | energético | | Periodo de recuperación de |
| Nacional del Santa? | Cuantificar la reducción de emisiones de CO2 asociada | Universidad Nacional del Santa. | | | inversión Costo nivelado de energía |
| | a cada tecnología. | dei Santa. | | Componente | Emisiones de CO ₂ generadas |
| | | | | ambiental | Emisiones de CO ₂ reemplazadas |

| Marco teórico | Metodología | Población y muestra | Técnicas e instrumentos para la recolección de datos | Técnicas de procesamiento y análisis de los resultados |
|---|---|--|---|--|
| Antecedentes: Internacionales: | Tipo: Aplicada (Lozada, 2014). Preexperimental (Hernández y Mendoza, | | | |
| M. Prasad & R. Prasad (2023) Kahar et al. (2023) Aksoy & Çalik (2022) Kumbaroğlu et al. (2021) Nacionales: Espinoza (2023) García et al. (2023) Gonzales (2023) Estrada (2022) Marco Conceptual: Energía solar fotovoltaica Tecnología de la celda solar Paneles fotovoltaicos monofaciales y bifaciales Funcionamiento de los paneles bifaciales Albedo Software PVsyst | Preexperimental (Hernandez y Mendoza, 2018). Diseño: El diseño de la investigación, según Ñaupas et al. (2018) es el descriptivo comparativo. M₁ → O₁ M₂ → O₂ donde O₁ ≅/≠ O₂ Donde: M₁: Muestra de los paneles fotovoltaicos monofaciales M₂: Muestra de los paneles fotovoltaicos bifaciales O₁: Observación del impacto energético de la muestra 1 O₂: Observación del impacto energético de la muestra 2 | Población: Paneles fotovoltaicos de diferentes tecnologías de aprovechamiento de la energía solar. Muestra: Paneles fotovoltaicos monofaciales y bifaciales. Muestreo: No probabilístico por conveniencia. | Técnicas: - Análisis documental - Observación - Procesamiento Instrumentos: - Guía de revisión documental - Ficha de observación - Recibos de electricidad - Software PVsyst 8.0.7. | Técnicas: - Procesamiento - Simulación Instrumentos: - Hojas de cálculo de Microsoft Excel - Documento de Microsoft Word - Archivos de AutoCAD - Software PVsyst 8.0.7. |

Anexo 2: Matriz de operacionalización de las variables

| 1 | Definición conceptual | Definición operacional | Dimensiones | Indicadores | Escala de medida |
|--------------------------|---|---|--|---|---|
| V.I.: Panel fotovoltaico | Un panel fotovoltaico se configura como un conjunto organizado mediante disposiciones en serie y paralelo de celdas solares protegidas físicamente de la intemperie y aisladas eléctricamente del exterior, aportando rigidez mecánica al conjunto (Perpiñán, 2023). | Se divide en dos dimensiones: panel fotovoltaico monofacial y panel fotovoltaico bifacial | Panel fotovoltaico monofacial Panel fotovoltaico bifacial | Número de paneles Área del arreglo fotovoltaico Peso total Nivel sobre el suelo Número de paneles Área del arreglo fotovoltaico Peso total Nivel sobre el suelo | Escala de razón |
| V.D.: Impacto energético | Implica evaluar la eficiencia de las tecnologías energéticas, los costos y beneficios económicos asociados, así como los efectos en el medio ambiente, incluyendo emisiones de gases contaminantes y el uso de recursos naturales (Mohammad & Mahjabeen, 2023; Sánchez-Pantoja et al., 2018). | Se divide en dos dimensiones: componente técnico, componente económico y componente ambiental. | Componente técnico Componente económico Componente ambiental | Rendimiento final del sistema PR Fracción solar SF Producción del sistema anual Producción específica anual Valor actual neto Tasa interna de retorno Periodo de recuperación de inversión Costo nivelado de energía Emisiones de CO ₂ generadas Emisiones de CO ₂ reemplazadas | Escala de razón |

Anexo 3: Ficha de observación





ESCUELA PROFESIONAL DE INGENIERÍA EN ENERGÍA

Ficha de observación

Propósito: Recoger información sobre las características físicas y ambientales del entorno del Edificio Administrativo del Campus I de la Universidad Nacional del Santa para la instalación de paneles fotovoltaicos.

| Nombre | de | la | Análisis | comparativo | entre | la | eficiencia | energética | con | paneles | fotovoltaicos |
|---------|----|----|-----------|-------------------------------|----------|------|--------------|---------------|------|---------|---------------|
| tesis: | | | monofaci | ales y bifaciale | es en la | Uni | iversidad Na | acional del S | anta | | |
| Autor: | | | Bachiller | achiller Toribio Arroyo Diego | | | | | | | |
| Asesor: | | | Dr. Aran | gurí Cayetano | Denis J | avie | er | | | | |

| Parámetro | Descripción/Observación | Notas |
|---------------------------------------|-------------------------------------|-------|
| Fecha de observación | | |
| Ubicación exacta (Latitud/Longitud) | | |
| Tipo de superficie | - Césped | |
| | - Concreto | |
| | - Arena | |
| | - Tierra | |
| | - Otros (especificar) | |
| Estado de la superficie | - Limpia | |
| | - Sucia | |
| | - Desgastada | |
| | - Cubierta con vegetación | |
| Área disponible para instalación (m²) | | |
| Obstáculos potenciales | - Árboles | |
| | - Edificios | |
| | - Sombras constantes | |
| | - Otros (especificar) | |
| Orientación principal | - Norte | |
| | - Sur | |
| | - Este | |
| | - Oeste | |
| Inclinación del terreno | - Plana | |
| | - Inclinada (grados de inclinación) | |
| Presencia de estructuras reflectantes | - Edificios | |
| | - Vidrio | |
| | - Metal | |
| | - Otros (especificar) | |
| Observaciones adicionales | | |
| | | |
| | <u> </u> | |



Facultad de Ingeniería

Escuela Profesional de Ingeniería en Energía

Tesis para obtener el Título Profesional de Ingeniero en Energía

| 1) | Nombres y Apellidos: | |
|----|---------------------------------|--|
| | Bachiller Toribio Arroyo, Diego | |

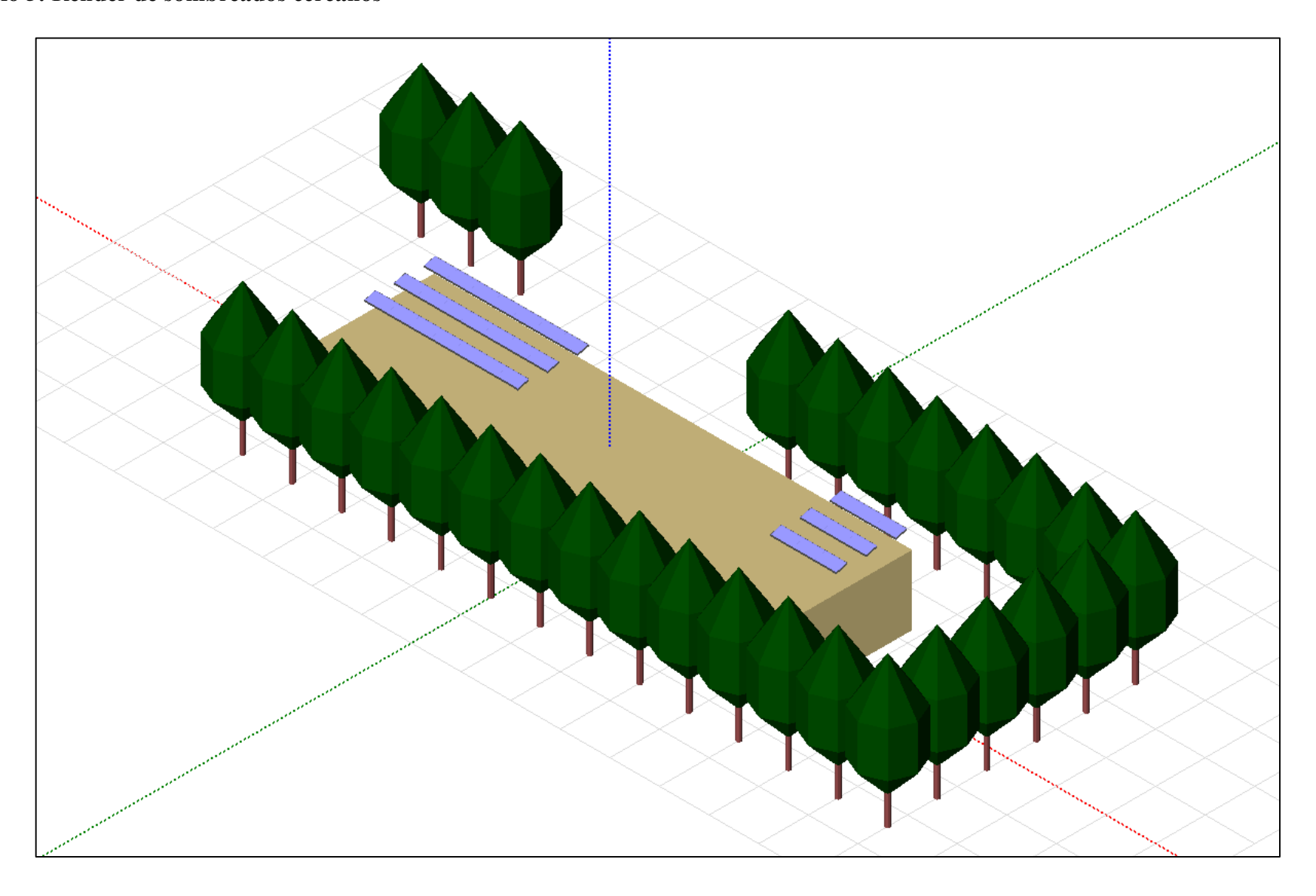
- 2) Título del informe final de Tesis: Análisis comparativo entre la eficiencia energética con paneles fotovoltaicos monofaciales y bifaciales en la Universidad Nacional del Santa.
- 3) Evaluación del Contenido: El informe final de Tesis para título reúne las condiciones metodológicas de la investigación científica y está en conformidad con el artículo 64° del Reglamento General de Grados y Títulos vigente de la Universidad Nacional del Santa (Resolución N° 337-2024-CU-R-UNS), concluyéndose que el tesista ha elaborado el informe final de Tesis dentro de las líneas de investigación que promueve la Escuela Académico Profesional de Ingeniería en Energía (E.P.I.E.).
- 4) Observaciones: Ninguna
- 5) Certificación de Aprobación: En calidad de asesor certifico la aprobación del informe final de Tesis para Título.

Fecha: 25/08/2025

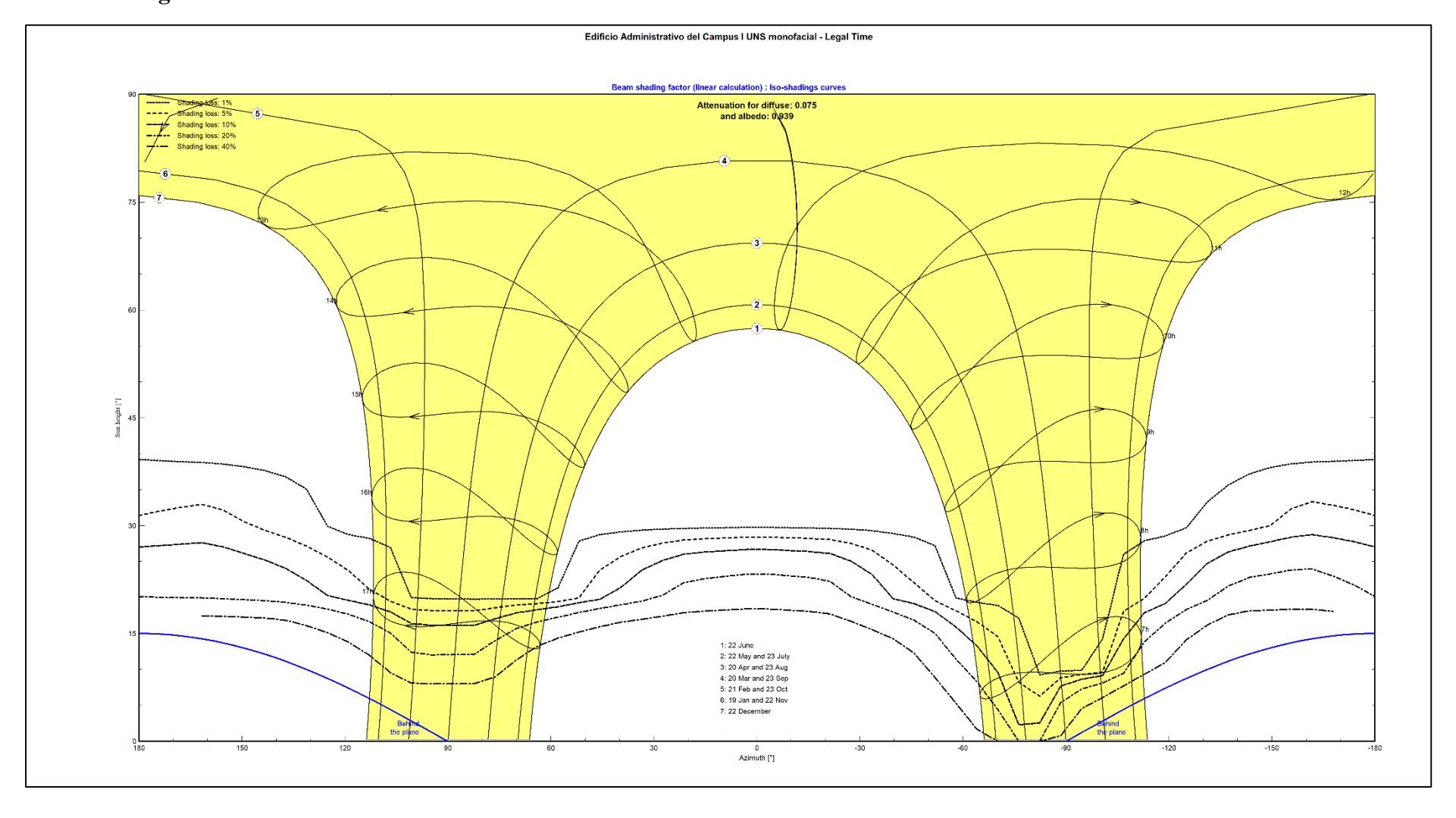
Dr. Denis Javier Aranguri Cayetano Asesor

DNI: 42009679

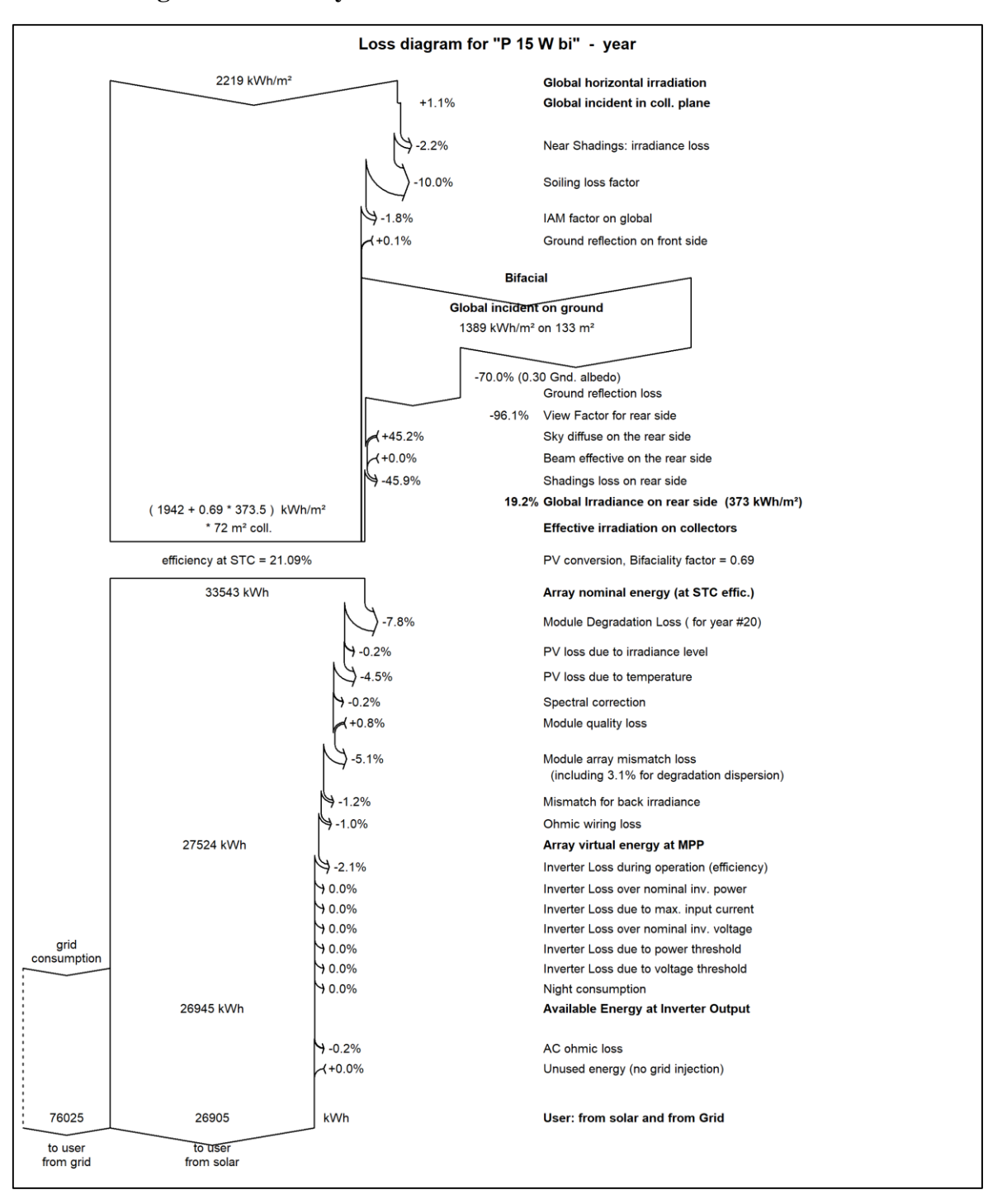
Anexo 5: Render de sombreados cercanos



Anexo 6: Diagrama de sombreado



Anexo 7: Diagrama de sankey del sistema



Anexo 8: Balance energético y resultados principales

P 15 W bi Balances and main results

| | GlobHor | DiffHor | T_Amb | GlobInc | GlobEff | EArray | E_User | E_Solar | EUnused | EFrGrid |
|-----------|---------|---------|-------|---------|---------|--------|--------|---------|---------|---------|
| | kWh/m² | kWh/m² | °C | kWh/m² | kWh/m² | kWh | kWh | kWh | kWh | kWh |
| January | 212.4 | 71.03 | 22.42 | 193.1 | 166.3 | 2375 | 8742 | 2319 | -0.356 | 6423 |
| February | 184.2 | 72.33 | 23.32 | 175.4 | 151.6 | 2132 | 7896 | 2083 | -0.327 | 5813 |
| March | 210.6 | 69.78 | 23.07 | 212.3 | 184.6 | 2565 | 8742 | 2506 | -0.376 | 6236 |
| April | 184.0 | 64.07 | 21.18 | 196.5 | 170.8 | 2386 | 8460 | 2331 | -0.365 | 6129 |
| May | 176.4 | 51.91 | 20.54 | 198.7 | 174.0 | 2431 | 8742 | 2376 | -0.394 | 6366 |
| June | 153.3 | 54.92 | 19.50 | 175.5 | 152.8 | 2161 | 8460 | 2113 | -0.392 | 6347 |
| July | 160.6 | 56.99 | 19.17 | 182.4 | 157.9 | 2232 | 8742 | 2183 | -0.405 | 6559 |
| August | 157.6 | 71.42 | 18.71 | 169.9 | 146.7 | 2086 | 8742 | 2041 | -0.399 | 6701 |
| September | 167.9 | 69.35 | 18.36 | 172.2 | 148.9 | 2114 | 8460 | 2066 | -0.365 | 6394 |
| October | 199.7 | 79.31 | 18.86 | 193.9 | 167.4 | 2390 | 8742 | 2338 | -0.372 | 6404 |
| November | 199.1 | 77.75 | 19.39 | 183.2 | 157.3 | 2276 | 8460 | 2226 | -0.360 | 6234 |
| December | 213.6 | 73.05 | 20.83 | 191.0 | 164.1 | 2377 | 8742 | 2324 | -0.372 | 6418 |
| Year | 2219.5 | 811.92 | 20.43 | 2244.1 | 1942.2 | 27524 | 102930 | 26905 | -4.483 | 76025 |

Anexo 9: Necesidades del usuario y uso energético

P 15 W bi Energy use and User's needs

| | E_Avail | E_User | E_Grid | SolFrac | PR |
|-----------|---------|--------|--------|---------|-------|
| | kWh | kWh | kWh | ratio | ratio |
| January | 2319 | 8742 | 0.000 | 0.265 | 0.801 |
| February | 2083 | 7896 | 0.000 | 0.264 | 0.792 |
| March | 2506 | 8742 | 0.000 | 0.287 | 0.787 |
| April | 2331 | 8460 | 0.000 | 0.276 | 0.791 |
| Мау | 2376 | 8742 | 0.000 | 0.272 | 0.797 |
| June | 2113 | 8460 | 0.000 | 0.250 | 0.803 |
| July | 2183 | 8742 | 0.000 | 0.250 | 0.798 |
| August | 2041 | 8742 | 0.000 | 0.233 | 0.801 |
| September | 2066 | 8460 | 0.000 | 0.244 | 0.800 |
| October | 2338 | 8742 | 0.000 | 0.267 | 0.804 |
| November | 2226 | 8460 | 0.000 | 0.263 | 0.810 |
| December | 2324 | 8742 | 0.000 | 0.266 | 0.811 |
| Year | 26905 | 102930 | 0.000 | 0.261 | 0.799 |



PVsyst V8.0.7

PVsyst - Simulation report

Grid-Connected System

Project: Edificio Administrativo del Campus I UNS monofacial

Variant: P 15 W bi Sheds on a building System power: 15.00 kWp

Edificio Administrativo del Campus I UNS - Peru

PVsyst student

PVsyst student

Author

Universidad Nacional del Santa (Peru)

PVsvst student



Variant: P 15 W bi

PVsyst V8.0.7 VCE, Simulation date: 01/03/25 23:25 with V8.0.7

Universidad Nacional del Santa (Peru)

Project summary

Geographical Site

Edificio Administrativo del Campus I UNS

Peru

Latitude Longitude

Situation

-9.12 °S -78.52 °W 44 m

Altitude UTC-5 Time zone

Weather data

Edificio Administrativo del Campus I UNS Meteonorm 8.2 (2016-2021), Sat=100% - Synthetic

System summary

Grid-Connected System

Simulation for year no 20

Orientation #1

Fixed plane Tilt/Azimuth

15/0°

Near Shadings

Sheds on a building

Linear shadings : Fast (table)

Average

User's needs

Daily profile

Constant over the year No grid reinjection

Project settings

Albedo

System information

PV Array

Nb. of modules Pnom total

30 units 15.00 kWp Inverters Nb. of units Pnom total

1 unit 13.00 kWac

1.154 Pnom ratio

Results summary

Produced Energy Used Energy

26905 kWh/year 102930 kWh/year

Specific production

1794 kWh/kWp/year

Perf. Ratio PR Solar Fraction SF

79 93 % 26.14 %

282 kWh/Day

0.20

Table of contents

| General parameters, PV Array Characteristics, System losses | |
|---|-----|
| Near shading definition - Iso-shadings diagram | |
| Detailed User's needs | |
| Main results | |
| Loss diagram | |
| Predef. graphs | |
| Aging Tool | |
| Single-line diagram | |
| Cost of the system | |
| Financial analysis | AAT |
| CO ₂ Emission Balance | |



Variant: P 15 W bi

PVsyst V8.0.7 VCE, Simulation date: 01/03/25 23:25 with V8.0.7

Universidad Nacional del Santa (Peru)

General parameters

Grid-Connected System

Orientation #1

Fixed plane

Models used

Transposition

Circumsolar

Diffuse

Tilt/Azimuth

15/0°

Perez

separate

Perez. Meteonorm

Sheds configuration

Sheds on a building

Nb. of sheds

Shading limit angle

Horizon

3.00 m

1.12 m

86° 37.4 %

1.50 m

13.91 kWp

24 A

570 V

3 units

Free Horizon

Limit profile angle

Collector width 8.6 °

6 units

Average GCR Top inactive band Bottom inactive band

Sheds spacing

1.10 m 36.7 % 0.02 m 0.02 m

3.00 m

Near Shadings

Linear shadings : Fast (table)

Bifacial system definition

Orientation #1

Bifacial system

Model

Unlimited Sheds 2D Model

Bifacial model geometry

Sheds spacing Sheds width Limit profile angle **GCR** Height above ground Nb. of sheds

Bifacial model definitions

Ground albedo 0.30 Bifaciality factor 69 % Rear shading factor 5.0 % Rear mismatch loss 10.0 % Shed transparent fraction 0.0 %

User's needs Daily profile Constant over the year

Average 282 kWh/Day

No grid reinjection

| Hourly load | 0 h | 1 h | 2 h | 3 h | 4 h | 5 h | 6 h | 7 h | 8 h | 9 h | 10 h | 11 h | |
|-------------|-------|-------|-------|-------|-------|------|------|------|-------|-------|-------|-------|----|
| | 5.00 | 5.00 | 5.00 | 5.00 | 5.00 | 5.00 | 5.00 | 5.00 | 23.00 | 23.00 | 23.00 | 23.00 | kW |
| | 12 h | 13 h | 14 h | 15 h | 16 h | 17 h | 18 h | 19 h | 20 h | 21 h | 22 h | 23 h | |
| | 23.00 | 23.00 | 23.00 | 23.00 | 23.00 | 5.00 | 5.00 | 5.00 | 5.00 | 5.00 | 5.00 | 5.00 | kW |

PV Array Characteristics

PV module

Manufacturer Generic Model TSM-DEG18MC-20-(II)-500-Bifacial

(Original PVsyst database)

Unit Nom. Power 500 Wp Number of PV modules 30 units Nominal (STC) 15.00 kWp Modules 2 string x 15 In series

At operating cond. (50°C) Pmpp

U mpp I mpp

Inverter Manufacturer Model

Generic S5-GR3P13K

(Original PVsyst database) Unit Nom. Power

Number of inverters Total power Operating voltage Pnom ratio (DC:AC)

13.0 kWac 2 * MPPT 50% 1 unit 13.0 kWac 160-1000 V

1.15

No power sharing between MPPTs

03/03/25

PVsyst Student License for Universidad Nacional del Santa (Peru)

Page 3/16



Variant: P 15 W bi

PVsyst V8.0.7 VCE, Simulation date: 01/03/25 23:25 with V8.0.7

Universidad Nacional del Santa (Peru)

PV Array Characteristics

Total PV power

Total inverter power

Nominal (STC) Total

15 kWp 30 modules Total power Number of inverters 13 kWac 1 unit

Module area

72.3 m²

Pnom ratio

1.15

Array losses

Array Soiling Losses

Thermal Loss factor

DC wiring losses

Loss Fraction

Loss Fraction

Module temperature according to irradiance

Global array res.

387 mΩ

Uc (const) Uv (wind)

Loss Fraction

29.0 W/m²K 0.0 W/m2K/m/s Loss Fraction

1.5 % at STC

Module Quality Loss

-0.8 %

10.0 %

Module mismatch losses

2.0 % at MPP

Module average degradation 20

Year no

Loss factor Imp / Vmp contributions 0.4 %/year 80% / 20%

Mismatch due to degradation

0.4 %/year

Imp RMS dispersion Vmp RMS dispersion

0.4 %/year

IAM loss factor

Incidence effect (IAM): Fresnel, AR coating, n(glass)=1.526, n(AR)=1.290

| (|)° | 30° | 50° | 60° | 70° | 75° | 80° | 85° | 90° |
|-----|-----|-------|-------|-------|-------|-------|-------|-------|-------|
| 1.0 | 000 | 0.999 | 0.987 | 0.963 | 0.892 | 0.814 | 0.679 | 0.438 | 0.000 |

Spectral correction

FirstSolar model

Precipitable water estimated from relative humidity

| Coefficient Set | C0 | C1 | C2 | C3 | C4 | C5 |
|--------------------|---------|----------|------------|---------|----------|-----------|
| Monocrystalline Si | 0.85914 | -0.02088 | -0.0058853 | 0.12029 | 0.026814 | -0.001781 |

AC wiring losses

Inv. output line up to injection point

Inverter voltage 400 Vac tri Loss Fraction 0.29 % at STC

Inverter: S5-GR3P13K

Wire section (1 Inv.) Copper 1 x 3 x 6 mm² Wires length 10 m

03/03/25

PVsyst Student License for Universidad Nacional del Santa (Peru)

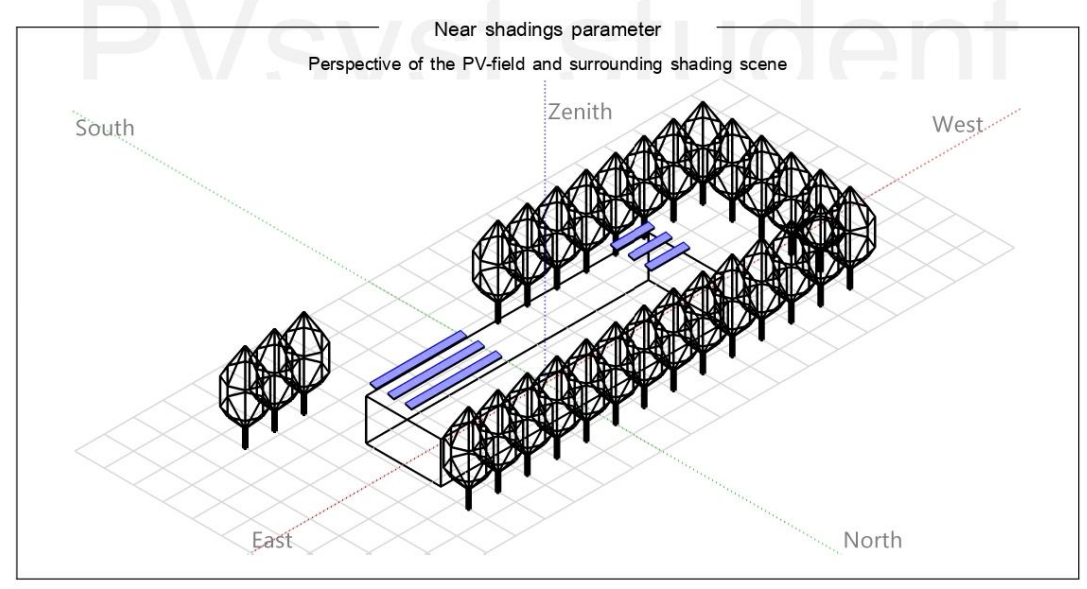
Page 4/16

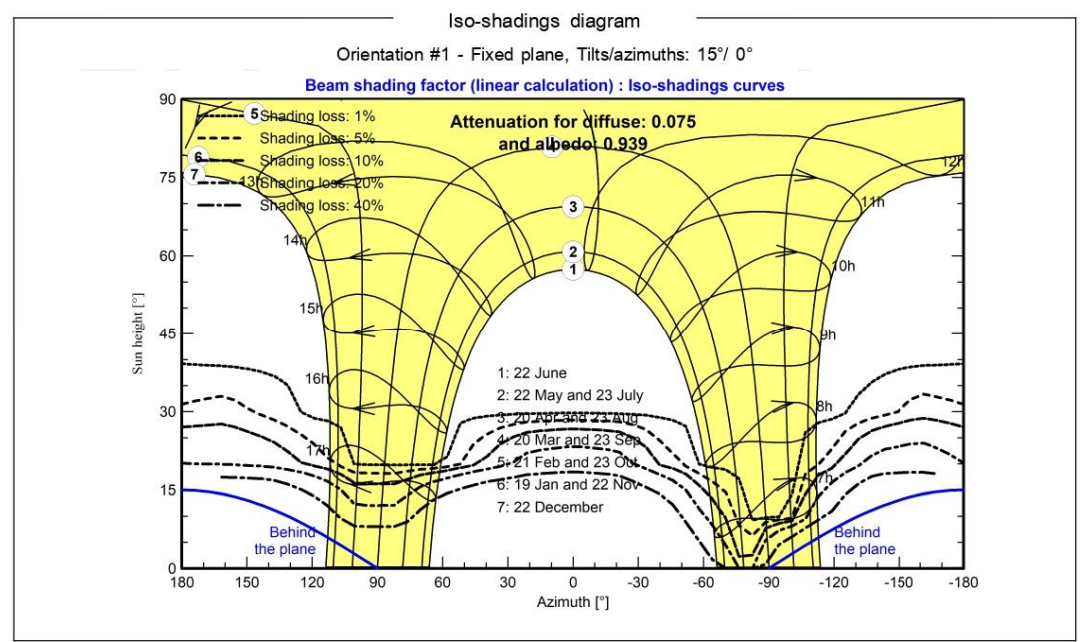


Variant: P 15 W bi

PVsyst V8.0.7 VCE, Simulation date: 01/03/25 23:25 with V8.0.7

Universidad Nacional del Santa (Peru)





03/03/25

PVsyst Student License for Universidad Nacional del Santa (Peru)

Page 5/16



Variant: P 15 W bi

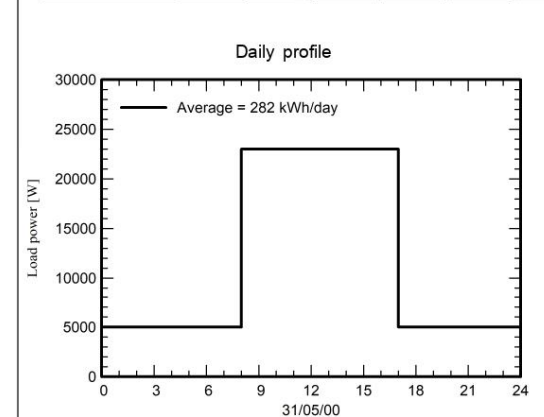
PVsyst V8.0.7 VCE, Simulation date: 01/03/25 23:25 with V8.0.7

Universidad Nacional del Santa (Peru)

Detailed User's needs

Daily profile, Constant over the year, average = 282 kWh/day

| Hourly load | 0 h | 1 h | 2 h | 3 h | 4 h | 5 h | 6 h | 7 h | 8 h | 9 h | 10 h | 11 h | |
|-------------|-------|-------|-------|-------|-------|------|------|------|-------|-------|-------|-------|----|
| | 5.00 | 5.00 | 5.00 | 5.00 | 5.00 | 5.00 | 5.00 | 5.00 | 23.00 | 23.00 | 23.00 | 23.00 | kW |
| | 12 h | 13 h | 14 h | 15 h | 16 h | 17 h | 18 h | 19 h | 20 h | 21 h | 22 h | 23 h | |
| | 23.00 | 23.00 | 23.00 | 23.00 | 23.00 | 5.00 | 5.00 | 5.00 | 5.00 | 5.00 | 5.00 | 5.00 | kW |



PVsyst student

PVsyst student

03/03/25

PVsyst Student License for Universidad Nacional del Santa (Peru)

Page 6/16



Variant: P 15 W bi

PVsyst V8.0.7 VCE, Simulation date: 01/03/25 23:25 with V8.0.7

Universidad Nacional del Santa (Peru)

Main results

System Production Produced Energy Used Energy

26905 kWh/year 102930 kWh/year Specific production Perf. Ratio PR 1794 kWh/kWp/year

Solar Fraction SF

79.93 % 26.14 %

Economic evaluation

Investment Global

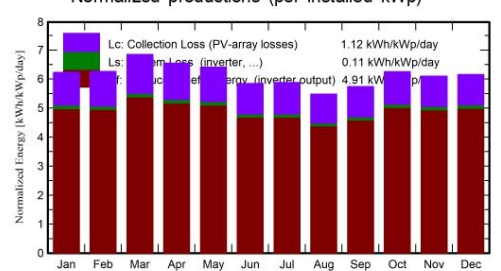
Specific

81,300.00 Sol 5.42 Sol/Wp Yearly cost Annuities Run. costs Payback period

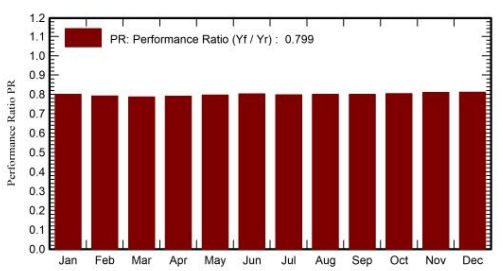
0.00 Sol/yr 3,595.70 Sol/yr 6.7 years LCOE Energy cost

0.54 Sol/kWh

Normalized productions (per installed kWp)



Performance Ratio PR



Balances and main results

| | GlobHor kWh/m² | DiffHor kWh/m² | T_Amb °C | GlobInc kWh/m² | GlobEff kWh/m² | EArray MWh | E_User MWh | E_Solar MWh | EUnused MWh | EFrGrid MWh |
|-----------|-------------------|-------------------|-------------|-------------------|-------------------|---------------|---------------|----------------|----------------|----------------|
| January | 212.4 | 71.03 | 22.42 | 193.1 | 166.3 | 2.37 | 8.74 | 2.32 | 0.000 | 6.42 |
| February | 184.2 | 72.33 | 23.32 | 175.4 | 151.6 | 2.13 | 7.90 | 2.08 | 0.000 | 5.81 |
| March | 210.6 | 69.78 | 23.07 | 212.3 | 184.6 | 2.56 | 8.74 | 2.51 | 0.000 | 6.24 |
| April | 184.0 | 64.07 | 21.18 | 196.5 | 170.8 | 2.39 | 8.46 | 2.33 | 0.000 | 6.13 |
| May | 176.4 | 51.91 | 20.54 | 198.7 | 174.0 | 2.43 | 8.74 | 2.38 | 0.000 | 6.37 |
| June | 153.3 | 54.92 | 19.50 | 175.5 | 152.8 | 2.16 | 8.46 | 2.11 | 0.000 | 6.35 |
| July | 160.6 | 56.99 | 19.17 | 182.4 | 157.9 | 2.23 | 8.74 | 2.18 | 0.000 | 6.56 |
| August | 157.6 | 71.42 | 18.71 | 169.9 | 146.7 | 2.09 | 8.74 | 2.04 | 0.000 | 6.70 |
| September | 167.9 | 69.35 | 18.36 | 172.2 | 148.9 | 2.11 | 8.46 | 2.07 | 0.000 | 6.39 |
| October | 199.7 | 79.31 | 18.86 | 193.9 | 167.4 | 2.39 | 8.74 | 2.34 | 0.000 | 6.40 |
| November | 199.1 | 77.75 | 19.39 | 183.2 | 157.3 | 2.28 | 8.46 | 2.23 | 0.000 | 6.23 |
| December | 213.6 | 73.05 | 20.83 | 191.0 | 164.1 | 2.38 | 8.74 | 2.32 | 0.000 | 6.42 |
| Year | 2219.5 | 811.92 | 20.43 | 2244.1 | 1942.2 | 27.52 | 102.93 | 26.91 | -0.004 | 76.02 |

Legends

GlobHor Global horizontal irradiation

DiffHor Horizontal diffuse irradiation
T_Amb Ambient Temperature
Globlnc Global incident in coll. plane

GlobEff Effective Global, corr. for IAM and shadings

EArray Effective energy at the output of the array

E_User Energy supplied to the user
E_Solar Energy from the sun

EUnused Unused energy (no grid injection)

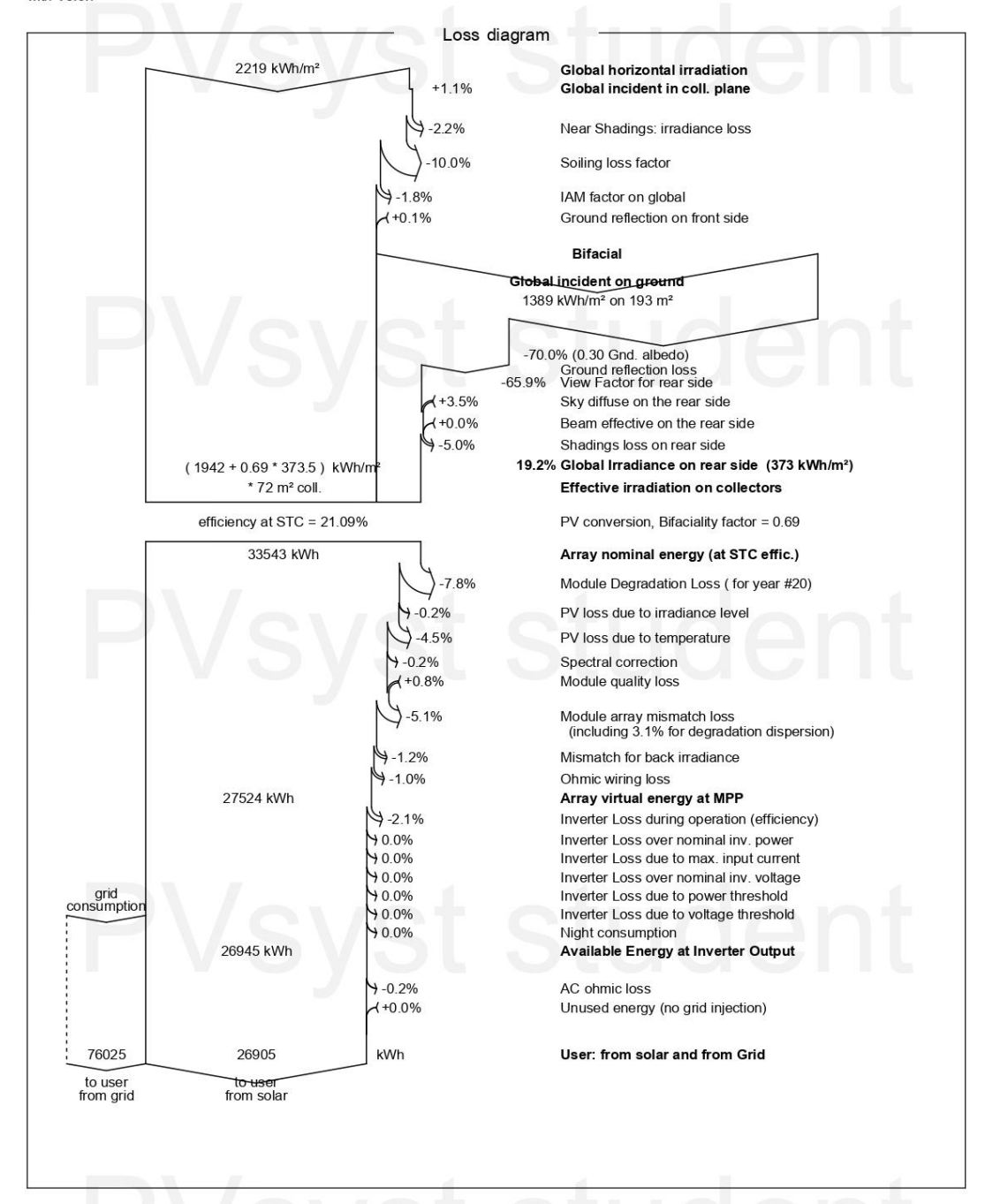
EFrGrid Energy from the grid



Variant: P 15 W bi

PVsyst V8.0.7 VCE, Simulation date: 01/03/25 23:25 with V8.0.7

Universidad Nacional del Santa (Peru)

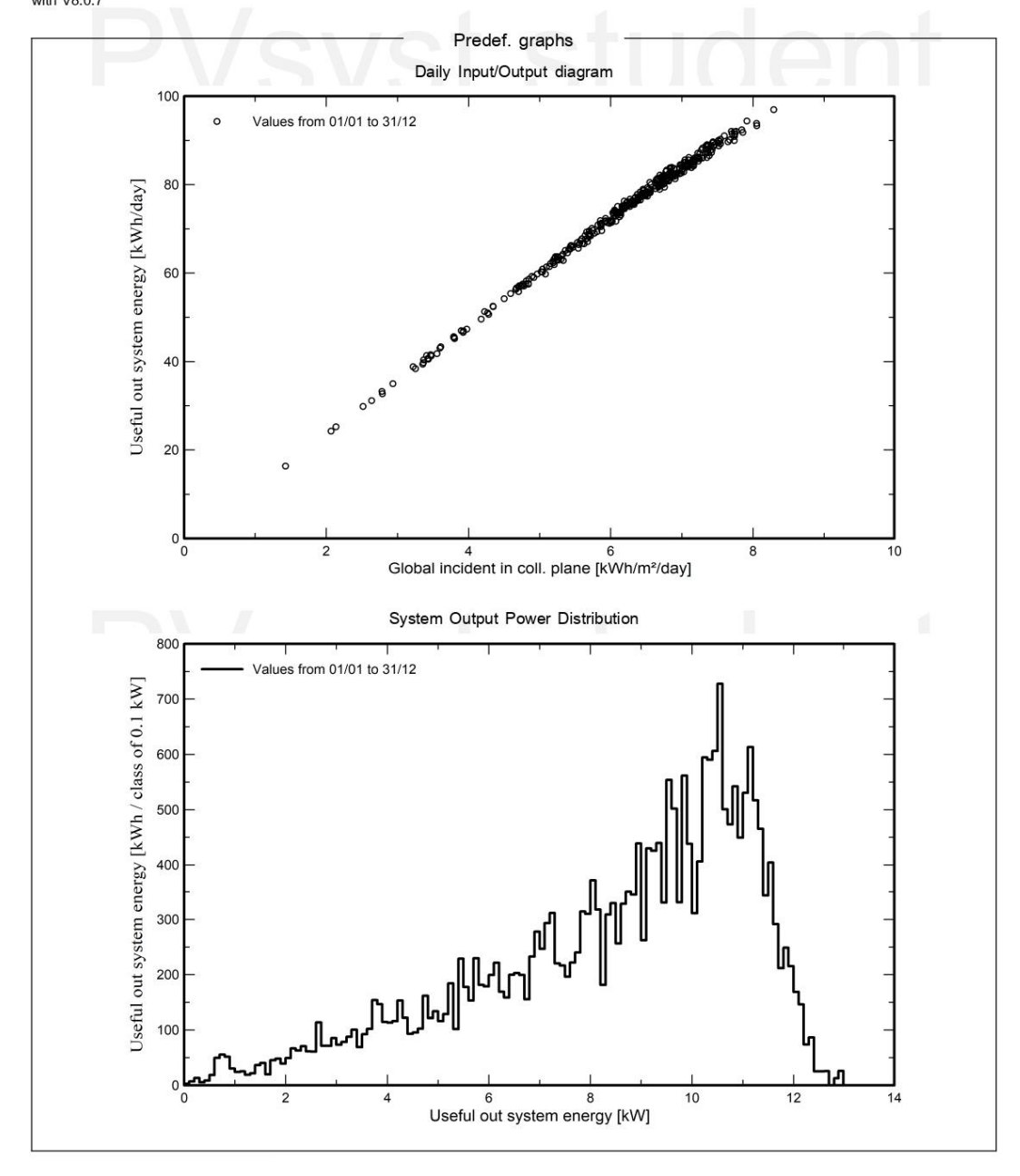




Variant: P 15 W bi

PVsyst V8.0.7 VCE, Simulation date: 01/03/25 23:25 with V8.0.7

Universidad Nacional del Santa (Peru)



03/03/25

PVsyst Student License for Universidad Nacional del Santa (Peru)

Page 9/16



Variant: P 15 W bi

PVsyst V8.0.7 VCE, Simulation date: 01/03/25 23:25 with V8.0.7

Universidad Nacional del Santa (Peru)

Aging Tool

20 years

0.4 %/year

Aging Parameters

Time span of simulation

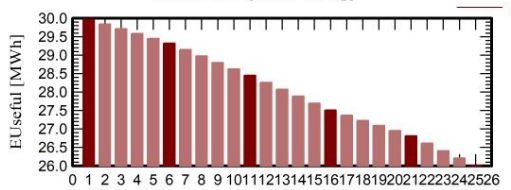
Module average degradation

Loss factor

Weather data used in the simulation

Edificio Administrativo del Campus I UNS MN82 SYN

Useful out system energy



Mismatch due to degradation

Imp RMS dispersion

88

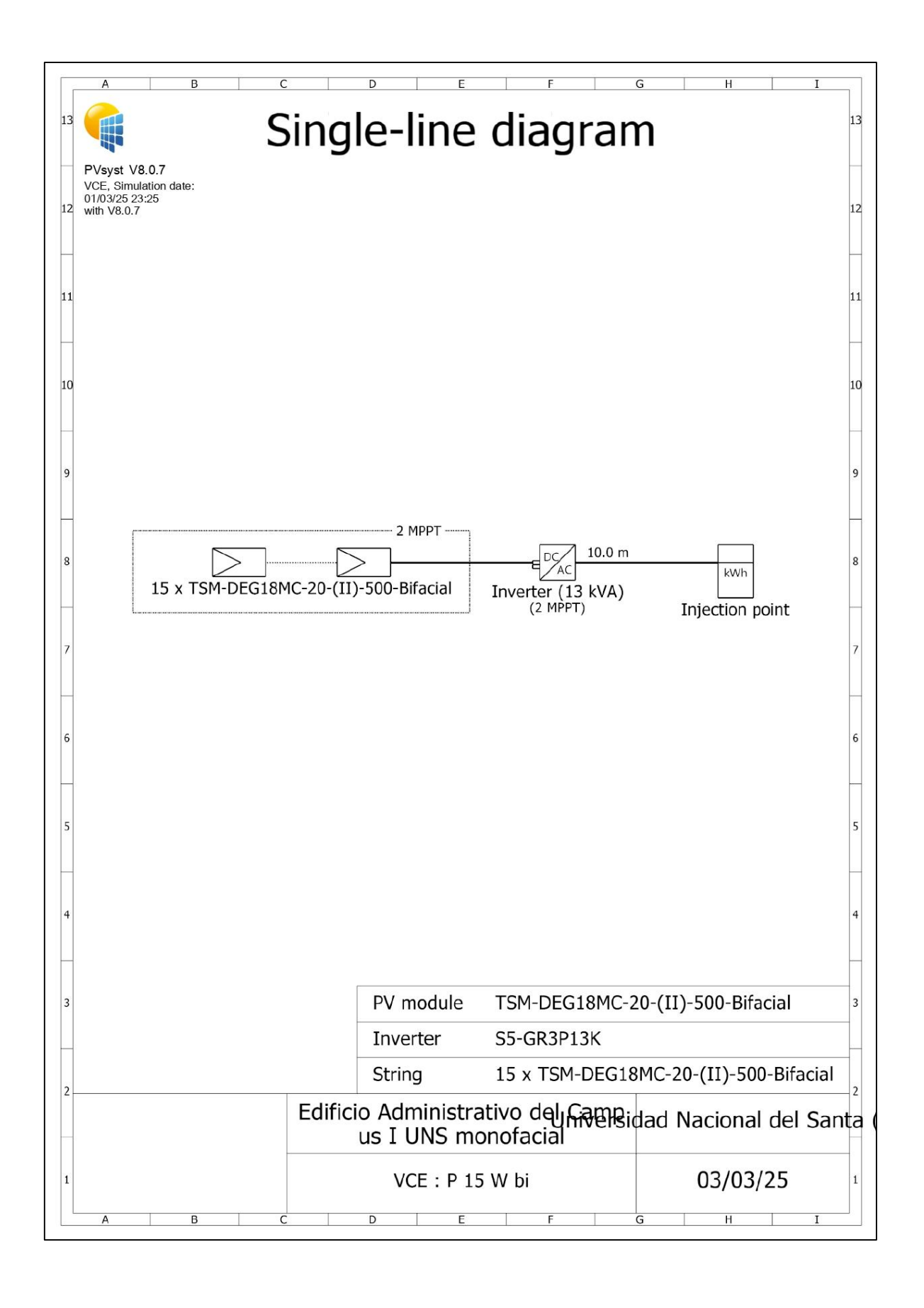
0.4 %/year

Vmp RMS dispersion 0.4 %/year

Performance Ratio

PR [%] 84 82 80 78 8 9 1011121314151617181920212223242526 Year of operation

| | EUseful | PR | PR loss |
|------|---------|-------|---------|
| Year | MWh | % | % |
| 1 | 29.97 | 89.03 | -0.22 |
| 2 | 29.84 | 88.65 | -0.65 |
| 3 | 29.71 | 88.26 | -1.08 |
| 4 | 29.58 | 87.88 | -1.51 |
| 5 | 29.45 | 87.49 | -1.94 |
| 6 | 29.32 | 87.11 | -2.37 |
| 7 | 29.15 | 86.59 | -2.95 |
| 8 | 28.97 | 86.07 | -3.53 |
| 9 | 28.80 | 85.55 | -4.12 |
| 10 | 28.62 | 85.03 | -4.70 |
| 11 | 28.45 | 84.51 | -5.28 |
| 12 | 28.26 | 83.95 | -5.91 |
| 13 | 28.07 | 83.39 | -6.53 |
| 14 | 27.88 | 82.84 | -7.16 |
| 15 | 27.70 | 82.28 | -7.78 |
| 16 | 27.51 | 81.72 | -8.41 |
| 17 | 27.37 | 81.31 | -8.87 |
| 18 | 27.23 | 80.89 | -9.34 |
| 19 | 27.09 | 80.48 | -9.80 |
| 20 | 26.95 | 80.06 | -10.26 |
| 21 | 26.81 | 79.65 | -10.73 |
| 22 | 26.61 | 79.05 | -11.40 |
| 23 | 26.41 | 78.46 | -12.07 |
| 24 | 26.21 | 77.86 | -12.74 |
| 25 | 26.01 | 77.26 | -13.41 |





Variant: P 15 W bi

PVsyst V8.0.7 VCE, Simulation date: 01/03/25 23:25 with V8.0.7

Universidad Nacional del Santa (Peru)

Cost of the system

| Installation | costs |
|--------------|-------|
| | |

| Item | Quantity | Cost | Total |
|-------------------------------------|----------|-------------------|-----------|
| | units | Sol | Sol |
| PV modules | | | |
| TSM-DEG18MC-20-(II)-500-Bifacial | 30 | 675.00 | 20,250.00 |
| Supports for modules | 30 | 200.00 | 6,000.00 |
| Inverters | | | |
| S5-GR3P13K | 1 | 17,910.00 | 17,910.00 |
| Studies and analysis | | | |
| Engineering | 1 | 15,435.00 | 15,435.00 |
| Installation | 3. | | |
| Global installation cost per module | 30 | 91.50 | 2,745.00 |
| Grid connection | T (3) T1 | 18,960.00 | 18,960.00 |
| | | Total | 81,300.00 |
| | | Depreciable asset | 44,160.00 |

Operating costs

| Item | Total |
|------------------------------------|----------|
| | Sol/year |
| Maintenance | |
| Provision for inverter replacement | 315.00 |
| Repairs | 2,100.00 |
| Total (OPEX) | 2,415.00 |
| Including inflation (4.00%) | 3,595.70 |

System summary

Total installation cost
Operating costs (incl. inflation 4.00%/year)
Produced Energy
Cost of produced energy (LCOE)

81,300.00 Sol 3,595.70 Sol/year 26.9 MWh/year 0.5379 Sol/kWh

PVsyst student

03/03/25

PVsyst Student License for Universidad Nacional del Santa (Peru)

Page 12/16



Variant: P 15 W bi

PVsyst V8.0.7 VCE, Simulation date: 01/03/25 23:25 with V8.0.7

Universidad Nacional del Santa (Peru)

Financial analysis

Simulation period

Project lifetime 20 years Start year 2026

Income variation over time

Inflation 4.00 %/year
Production variation (aging) Aging tool results
Discount rate 12.00 %/year

Income dependent expenses

 Income tax rate
 0.00 %/year

 Other income tax
 0.00 %/year

 Dividends
 0.00 %/year

Depreciable assets

| Asset | Depreciation | Depreciation | Salvage | Depreciable |
|----------------------------------|---------------|--------------|---------|-------------|
| A3361 | Depreciation | Depreciation | Galvage | Depreciable |
| | method | period | value | (Sol) |
| | | (years) | (Sol) | |
| PV modules | | | | |
| TSM-DEG18MC-20-(II)-500-Bifacial | Straight-line | 20 | 0.00 | 20,250.00 |
| Supports for modules | Straight-line | 20 | 0.00 | 6,000.00 |
| Inverters | 100 | | | |
| S5-GR3P13K | Straight-line | 20 | 0.00 | 17,910.00 |
| | | Total | 0.00 | 44,160.00 |

Financing

Own funds 81,300.00 Sol

Electricity sale

 Feed-in tariff
 0.70000 Sol/kWh

 Duration of tariff warranty
 20 years

 Annual connection tax
 0.00 Sol/kWh

 Annual tariff variation
 0.0 %/year

 Feed-in tariff decrease after warranty
 0.00 %

Self-consumption

Consumption tariff 0.70000 Sol/kWh
Tariff evolution +5.0 %/year

Return on investment

 Payback period
 6.7 years

 Net present value (NPV)
 82,675.75 Sol

 Internal rate of return (IRR)
 24.04 %

 Return on investment (ROI)
 101.7 %



Variant: P 15 W bi

PVsyst V8.0.7 VCE, Simulation date: 01/03/25 23:25 with V8.0.7

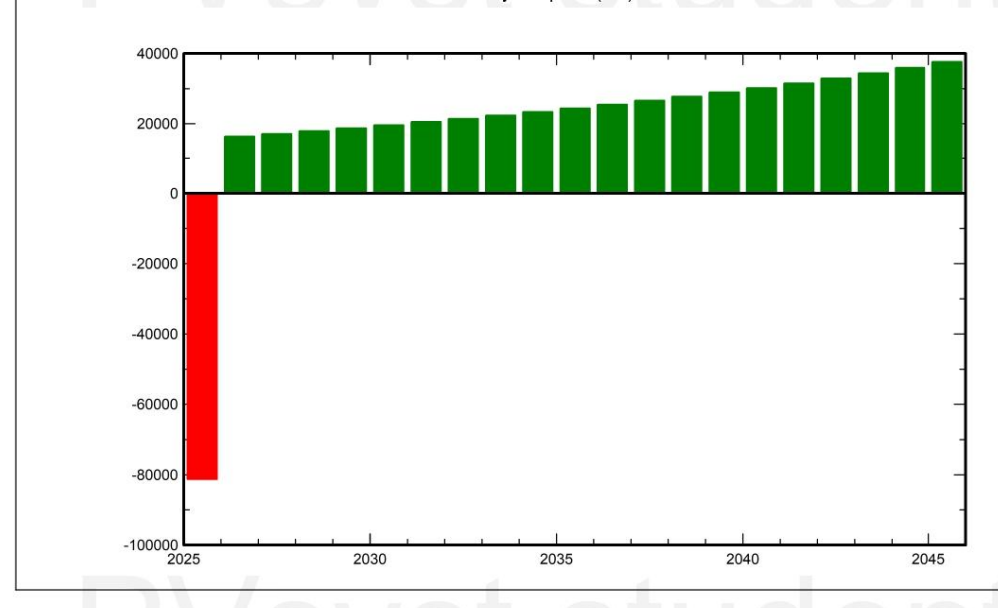
Universidad Nacional del Santa (Peru)

Financial analysis

Detailed economic results (Sol)

| Year | Electricity sale | Own funds | Run. | Deprec. allow. | Taxable income | Taxes | After-tax profit | Self-cons. | Cumul. | % amorti. |
|-------|------------------|--------------|--------|-------------------|----------------|-------|---------------------|------------|---------|--------------|
| 0 | 0 | 81,300 | 0 | 0 | 0 | 0 | 0 | 0 | -81,300 | 0.0% |
| 1 | 0 | 0 | 2,415 | 2,208 | 0 | 0 | -2,415 | 18,793 | -66,677 | 18.0% |
| 2 | 0 | 0 | 2,512 | 2,208 | 0 | 0 | -2,512 | 19,648 | -53,016 | 34.8% |
| 3 | 0 | 0 | 2,612 | 2,208 | 0 | 0 | -2,612 | 20,541 | -40,255 | 50.5% |
| 4 | 0 | 0 | 2,717 | 2,208 | 0 | 0 | -2,717 | 21,474 | -28,334 | 65.1% |
| 5 | 0 | 0 | 2,825 | 2,208 | 0 | 0 | -2,825 | 22,449 | -17,199 | 78.8% |
| 6 | 0 | 0 | 2,938 | 2,208 | 0 | 0 | -2,938 | 23,468 | -6,798 | 91.6% |
| 7 | 0 | 0 | 3,056 | 2,208 | 0 | 0 | -3,056 | 24,494 | 2,900 | 103.6% |
| 8 | 0 | 0 | 3,178 | 2,208 | 0 | 0 | -3,178 | 25,565 | 11,941 | 114.7% |
| 9 | 0 | 0 | 3,305 | 2,208 | 0 | 0 | -3,305 | 26,681 | 20,371 | 125.1% |
| 10 | 0 | 0 | 3,437 | 2,208 | 0 | 0 | -3,437 | 27,844 | 28,229 | 134.7% |
| 11 | 0 | 0 | 3,575 | 2,208 | 0 | 0 | -3,575 | 29,058 | 35,555 | 143.7% |
| 12 | 0 | 0 | 3,718 | 2,208 | 0 | 0 | -3,718 | 30,309 | 42,380 | 152.1% |
| 13 | 0 | 0 | 3,866 | 2,208 | 0 | 0 | -3,866 | 31,613 | 48,739 | 159.9% |
| 14 | 0 | 0 | 4,021 | 2,208 | 0 | 0 | -4,021 | 32,972 | 54,663 | 167.2% |
| 15 | 0 | 0 | 4,182 | 2,208 | 0 | 0 | -4,182 | 34,387 | 60,182 | 174.0% |
| 16 | 0 | 0 | 4,349 | 2,208 | 0 | 0 | -4,349 | 35,862 | 65,322 | 180.3% |
| 17 | 0 | 0 | 4,523 | 2,208 | 0 | 0 | -4,523 | 37,464 | 70,120 | 186.2% |
| 18 | 0 | 0 | 4,704 | 2,208 | 0 | 0 | -4,704 | 39,137 | 74,597 | 191.8% |
| 19 | 0 | 0 | 4,892 | 2,208 | 0 | 0 | -4,892 | 40,883 | 78,776 | 196.9% |
| 20 | 0 | 0 | 5,088 | 2,208 | 0 | 0 | -5,088 | 42,707 | 82,676 | 201.7% |
| Total | 0 | 81,300 | 71,914 | 44,160 | 0 | 0 | -71,914 | 585,348 | 82,676 | 201.7% |

Yearly net profit (Sol)



03/03/25

PVsyst Student License for Universidad Nacional del Santa (Peru)

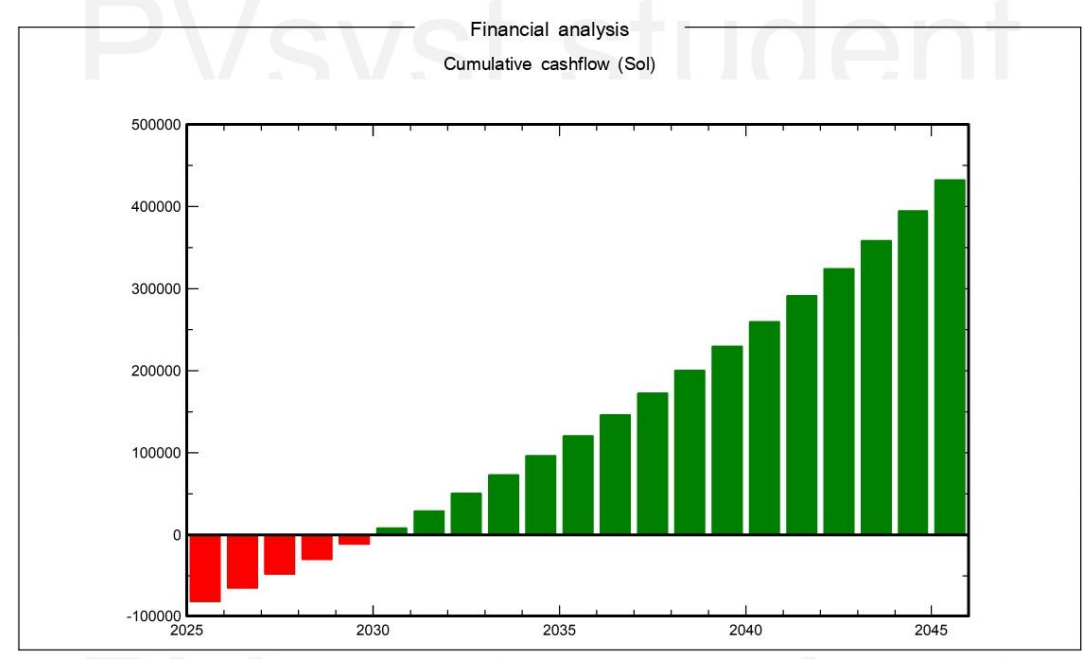
Page 14/16



Variant: P 15 W bi

PVsyst V8.0.7 VCE, Simulation date: 01/03/25 23:25 with V8.0.7

Universidad Nacional del Santa (Peru)



PVsyst student

PVsyst student

03/03/25

PVsyst Student License for Universidad Nacional del Santa (Peru)

Page 15/16



Variant: P 15 W bi

PVsyst V8.0.7 VCE, Simulation date: 01/03/25 23:25 with V8.0.7

Universidad Nacional del Santa (Peru)

CO₂ Emission Balance

tal: 101.5 tCO₂

Generated emissions
Total: 26.39 tCO₂

Source: Detailed calculation from table below

Replaced Emissions

Total:

System production: Grid Lifecycle Emissions:

Source:

Country: Lifetime:

Annual degradation:

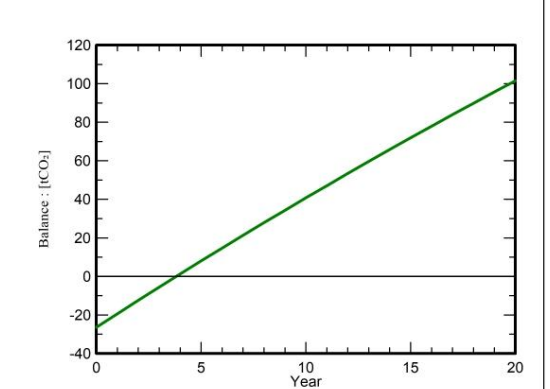
140.4 tCO₂

26.91 MWh/yr 261 gCO₂/kWh

IEA List

Peru

20 years 1.0 %



Saved CO₂ Emission vs. Time

System Lifecycle Emissions Details

| Item | LCE | Quantity | Subtotal |
|-----------|-----------------|------------|----------|
| 1 | | | [kgCO₂] |
| Modules | 1713 kgCO2/kWp | 15.0 kWp | 25691 |
| Supports | 1.74 kgCO2/kg | 300 kg | 522 |
| Inverters | 172 kgCO2/units | 1.00 units | 172 |

PVsyst student

03/03/25

PVsyst Student License for Universidad Nacional del Santa (Peru)

Page 16/16

Anexo 11: Ficha técnica módulo fotovoltaico

Mono Multi Solutions



BIFACIAL DUAL GLASS MONOCRYSTALLINE MODULE

500W+

MAXIMUM POWER OUTPUT

21.0%

MAXIMUM EFFICIENCY

0~+5W

POSITIVE POWER TOLERANCE

Founded in 1997, Trina Solar is the world's leading Founded in 1997, I'll a Solar is the wond's leading total solution provider for solar energy. With local presence around the globe, Trina Solar is able to provide exceptional service to each customer in each market and deliver our innovative, reliable products with the backing of Trina as a strong, bankable brand. Trina Solar now distributes its PV products to over 100 countries all over the world. We are committed to building strategic, mutually beneficial collaborations with installers, develope distributors and other partners in driving smart energy together

Comprehensive Products and System Certificates

IEC61215/IEC61730/IEC61701/IEC62716/UL1703 ISO 9001: Quality Management System
ISO 14001: Environmental Management System ISO14064: Greenhouse Gases Emissions Verification ISO45001: Occupational Health and Safety Management System















POWER RANGE

475-505W

High customer value

- Lower LCOE (Levelized Cost Of Energy), reduced BOS (Balance of System) cost, shorter payback time
- Lowest guaranteed first year and annual degradation; extended 30-year
- Designed for compatibility with existing mainstream system components
- Higher return on Investment



High power up to 505W

- Large area cells based on 210mm silicon wafers and 1/3-cut cell technology
- Up to 21.0% module efficiency with high density interconnect technology
- Multi-busbar technology for better light trapping effect, lower series resistance and improved current collection



High reliability

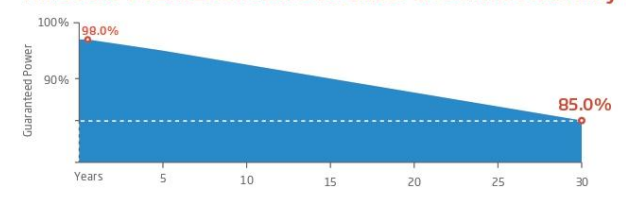
- Minimized micro-cracks with innovative non-destructive cutting technology
- Ensured PID resistance through cell process and module material control
- Resistant to harsh environments such as salt, ammonia, sand, high temperature and high humidity areas
- Mechanical performance up to 5400 Pa positive load and 2400 Pa negative load
- · Certificated to fire class A

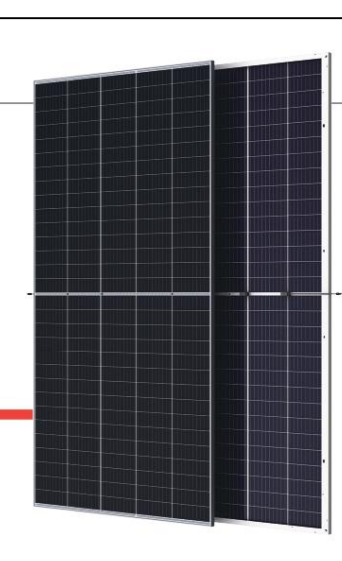


High energy yield

- Excellent IAM (Incident Angle Modifier) and low irradiation performance, validated by 3rd party certifications
- The unique design provides optimized energy production under inter-row shading conditions
- Lower temperature coefficient (-0.35%) and operating temperature
- Up to 25% additional power gain from back side depending on albedo

Trina Solar's VERTEX Bifacial Dual Glass Performance Warranty







BIFACIAL DUAL GLASS MONOCRYSTALLINE MODULE

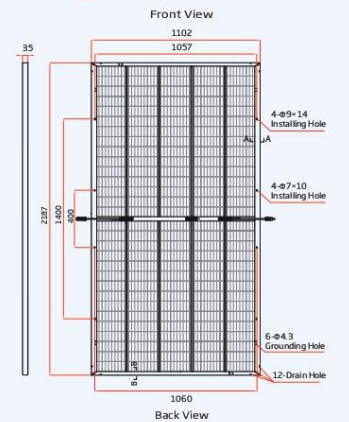
20.5

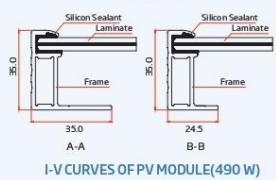
20.3

20.7

21.0

DIMENSIONS OF PV MODULE(mm)

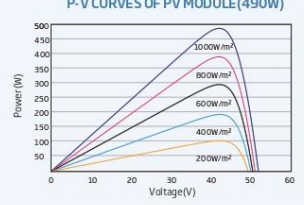




14.0 12.0 10.0 9.0 8.0 7.0 6.0 4.0 3.0 2.0

200W/m²

P-V CURVES OF PV MODULE(490W)



| ELECTRICAL DATA (STC) | | | | | | | |
|--|-------|-------|-------|-------|-------|-------|-------|
| Peak Power Watts-P _{MAX} (Wp)* | 475 | 480 | 485 | 490 | 495 | 500 | 505 |
| PowerTolerance-P _{MAX} (W) | | | | 0~+5 | | | |
| Maximum Power Voltage-V _{MPP} (V) | 41.9 | 42.2 | 42.5 | 42.8 | 43.1 | 43.4 | 43.7 |
| Maximum Power Current-Impp (A) | 11.34 | 11.38 | 11.42 | 11.45 | 11.49 | 11.53 | 11.56 |
| Open Circuit Voltage-V∞ (V) | 50.5 | 50.7 | 50.9 | 51.1 | 51.3 | 51.5 | 51.7 |
| Short Circuit Current-Isc (A) | 11.93 | 11.97 | 12.01 | 12.05 | 12.09 | 12.13 | 12.17 |

20.1

19.9

STC: Irradiance 1000W/m², Cell Temperature 25°C, Air Mass AM1.5. *Measuring tolerance: ±3%.

Electrical characteristics with different power bin (reference to 10% Irradiance ratio)

19.7

| Total Equivalent power -PMAX (Wp) | 508 | 514 | 519 | 524 | 530 | 535 | 540 |
|--|-------|-------|-------|-------|-------|-------|-------|
| Maximum Power Voltage-V _{MPP} (V) | 41.9 | 42.2 | 42.5 | 42.8 | 43.1 | 43.4 | 43.7 |
| Maximum Power Current-Impp (A) | 12.13 | 12.18 | 12.22 | 12.24 | 12.29 | 12.34 | 12.37 |
| Open Circuit Voltage-V∞ (V) | 50.5 | 50.7 | 50.9 | 51.1 | 51.3 | 51.5 | 51.7 |
| Short Circuit Current-Isc (A) | 12.77 | 12.81 | 12.85 | 12.89 | 12.94 | 12.98 | 13.02 |
| Irradiance ratio (rear/front) | 10% | | | | | | |

ELECTRICAL DATA (NMOT)

Module Efficiency η m (%)

| Maximum Power-P _{MAX} (Wp) | 360 | 363 | 367 | 371 | 374 | 378 | 382 |
|--|------|------|------|------|------|------|------|
| Maximum Power Voltage-V _{MPP} (V) | 39.5 | 39.8 | 40.0 | 40.2 | 40.5 | 40.8 | 41.0 |
| Maximum Power Current-Impp (A) | 9.09 | 9.13 | 9.18 | 9.21 | 9.25 | 9.28 | 9.33 |
| Open Circuit Voltage-V∞ (V) | 47.7 | 47.9 | 48.1 | 48.3 | 48.5 | 48.7 | 48.8 |
| Short Circuit Current-Isc (A) | 9.61 | 9.64 | 9.67 | 9.70 | 9.73 | 9.77 | 9.80 |

NMOT: Irradiance at 800W/m², Ambient Temperature 20°C, Wind Speed 1m/s.

MECHANICAL DATA

| Solar Cells Monocrystalline No. of cells 150 cells Module Dimensions 2187×11/02×35 mm (86.10×43.39×1.38 inches) | |
|---|-----------|
| | |
| M-d-l- Dii 2007 1107 25 (0510 1270 120 1 | |
| Module Dimensions 2187×1102×35 mm (86.10×43.39×1.38 inches) | |
| Weight 30.1 kg (66.4 lb) | |
| Front Glass 2.0 mm (0.08 inches), High Transmission, AR Coated Heat Strengther | ned Glass |
| Encapsulant material POE/EVA | |
| Back Glass 2.0 mm (0.08 inches), Heat Strengthened Glass (White Grid Glass) | |
| Frame 35mm(1.38 inches) Anodized Aluminium Alloy | |
| J-Box IP 68 rated | |
| Cables Photovoltaic Technology Cable 4.0mm² (0.006 inches²), Portrait: 280/280 mm(11.02/11.02 inches) Landscape: 2000/2000 mm(78.74/78.74 inches) | |
| Connector MC4 EV02 / TS4* | |

*Please refer to regional datasheet for specified connector

TEMPERATURE RATINGS

| NMOT (Nominal Moudule Operating Temperature) | 41°C(±3°C) |
|--|------------|
| Temperature Coefficient of PMAX | -0.35%/°C |
| Temperature Coefficient of Voc | - 0.25%/°C |
| Temperature Coefficient of Isc | 0.04%/°C |

| MAXIMUM RATINGS | |
|-------------------------|--|
| Operational Temperature | |

| Operational Temperature | -40~+85°C | | | | |
|-------------------------|----------------|--|--|--|--|
| Maximum SystemVoltage | 1500V DC (IEC) | | | | |
| Max Series Fuse Rating | 25A | | | | |

(Do not connect Fuse in Combiner Box with two or more strings in parallel connection)

WARRANTY

12 year Product Workmanship Warranty 30 year Power Warranty 2% first year degradation 0.45% Annual Power Attenuation (Please refer to product warranty for details)

PACKAGING CONFIGURATION

Modules per box: 30 pieces Modules per 40' container: 600 pieces



CAUTION: READ SAFETY AND INSTALLATION INSTRUCTIONS BEFORE USING THE PRODUCT.

 $@\ 2020 Trina\ Solar\ Co., Ltd.\ All\ rights\ reserved.\ Specifications\ included\ in\ this\ data sheet\ are\ subject to\ change\ without\ notice.$ Version number: TSM_EN_2020_A

Anexo 12: Ficha técnica inversor fotovoltaico



S5-GR3P(3-20)K

Inversores trifásicos de conexión a red Solis

Eficiente

- 98.7% de eficiencia máxima
- Corriente de string hasta 16A
- Amplio rango de voltaje y bajo voltaje de arranque

Inteligente

- Soporta el control de exportación de potencia
- Soporta RS485, WiFi, GPRS
- Escanea para registrar en SolisCloud, soporta la actualización y control remoto

Seguro

- IP66
- Protección AFCI, reduce activamente el riesgo de incendio
- Tecnología de estabilización automática de voltaje bajo condiciones de red débil

Económico

- Diseño compacto, instalación y mantenimiento simple
- > Ratio DC/AC del 150%
- Soporta módulos de alta potencia para costos de instalación más bajos

Modelo:

S5-GR3P3K / S5-GR3P4K

S5-GR3P5K / S5-GR3P6K

S5-GR3P8K / S5-GR3P9K

S5-GR3P10K/S5-GR3P12K

S5-GR3P13K/S5-GR3P15K

S5-GR3P20K









Hoja de datos

S5-GR3P(3-20)K

| Modelo | 3K | 4K | 5K | 6K | 8K | 9K | 10K | 12K | 13K | 15K | 20K | | |
|---|---|--------------------------------------|------------------|------------------|-------------------|--------------------|--------------------|---------------------------|--|--------------------|------------------|--|--|
| Entrada (DC) | | | | | | | | | | | | | |
| Potencia FV máxima de entrada recomendada | 4.5 kW | 6 kW | 7.5 kW | 9 kW | 12 kW | 13.5 kW | 15 kW | 18 kW | 19.5 kW | 22.5 kW | 30 kW | | |
| Voltaje máximo de entrada | | | | | | 1100 V | | | | | | | |
| Voltaje nominal | | | | | | 600 V | | | | | | | |
| Voltaje de arranque | | | | | | 180 V | | | | | | | |
| Rango de voltaje MPPT | | | | | | 160 - 1000 V | 10 | | | | | | |
| Corriente máxima de entrada | | 16 A / 16 A | | | | | | | 32 A / 32 A | | | | |
| Corriente máxima de cortocircuito | 20 A/20 A | | | | | | | 40 A / 40 A | | | | | |
| Número de MPPT / Número máximo de cadenas de entrada | 2/2 | | | | | | | 2/4 | | | | | |
| Salida (AC) | | | | | | | | | | | | | |
| Potencia nominal de salida | 3 kW | 4 kW | 5 kW | 6 kW | 8 kW | 9 kW | 10 kW | 12 kW | 13 kW | 15 kW | 20 kW | | |
| Potencia aparente máxima de salida | 3.3 kVA | 4.4 KVA | 5.5 kVA | 6.6 kVA | 8.8 kVA | 9.9 KVA | 11 kVA | 13.2 kVA | 14.3 kVA | 16.5 KVA | 22 KVA | | |
| Potencia máxima de salida | 3.3 kW | 4.4 KW | 5.5 kW | 6.6 kW | 8.8 kW | 9.9 kW | 11 kW | 13.2 kW | 14.3 kW | 16.5 kW | 22 kW | | |
| Voltaje nominal de la red | | 3/N/PE, 220 V / 380 V, 230 V / 400 V | | | | | | | | | | | |
| Frecuencia nominal de la red | | 50 Hz / 60 Hz | | | | | | | | | | | |
| Corriente nominal de salida de red | 4.6 A / 4.3 A | 6.1 A / 5.8 A | 7.6 A / 7.2 A | 9.1 A / 8.7 A | 12.2 A/ 11.5 A | 13.7 A / 13.0 A | 15.2 A / 14.4 A | 18.2 A / 17.3 A | 19.8 A / 18.8 A | 22.8 A / 21.7 A | 30.4 A 28.9 A | | |
| Corriente máxima de salida | 4.7 A | 6.4 A | 7.9 A | 9.5 A | 12.7 A | 14.3 A | 15.9 A | 19.1 A | 20.7A | 23.8 A | 31.8 A | | |
| Factor de potencia | > 0.99 (0.8 capacitivo a 0.8 inductivo) | | | | | | | | | | | | |
| THDi | < 2% | | | | | | | | | | | | |
| Eficiencia | | | | | | | | | | | | | |
| Eficiencia máxima | 98.3% | | | | 98.5% | | | | 98.6% | | | | |
| Eficiencia EU | 97.7% | | | | 97.9% | | | | 98.0% | | 98.1% | | |
| Protección | | | | | | | | | | | | | |
| Protección contra polaridad inversa DC | | | | | | Sí | | | | | | | |
| Protección contra cortocircuito | | Sí | | | | | | | | | | | |
| Protección de sobrecorriente de salida | | | | | | Sí | | | | | | | |
| Protección contra sobretensiones | | | | | | Sí | | | | | | | |
| Monitoreo de red | | | | | | Sí | | | | | | | |
| Protección Anti-isla | | | | | | Sí | | | | | | | |
| Protección de temperatura | | | | | | Sí | | | | | | | |
| Escaneo multipico | | | | | | Sí | | | | | | | |
| AFCI 2.0 integrado | | | | | | Opcional | | | | | | | |
| Interruptor de DC integrado | | | | | | Sí | | | | | | | |
| Datos generales | | | | | | | | | | | | | |
| Dimensiones (longitud × altura × ancho) | 310 × 563 × 219 mm | | | | | | | | | | | | |
| Peso | 16.5 kg 16.9 kg 17.9 kg | | | | | | | | 19.6 kg | | 20.8 kg | | |
| Topología | Sin Transformador | | | | | | | | | | | | |
| Consumo propio (noche) | <1W | | | | | | | | | | | | |
| Rango de temperatura de funcionamiento | | | | | | -25 ~ +60°C | | | | | | | |
| Humedad relativa | | | | | | 0 - 100% | | | | | | | |
| Nivel de protección | IP66 | | | | | | | | | | | | |
| Emisión de ruido (típica) | < 30 dB(A) < 60 dB(A) | | | | | | | | | | | | |
| Enfriamiento | Refrigeración natural | | | | | | | | Refrigeración inteligente con ventilador | | | | |
| Altitud máxima de funcionamiento | | | | 100 | | 4000 m | | | | | | | |
| Estándar de conexión de red | | | | | | | | 2019, RD 16 61727, IEC | | | | | |
| Estándar de seguridad / EMC | | | | | | -2, IEC/EN 6. | | | | | | | |
| Características | | | | | | | | | | | | | |
| Conexión de DC | | | | | (| Conector MC | 4 | | | | | | |
| Conexión de AC | | | | | | de conexió | | | | | | | |
| Pantalla | LCD | | | | | | | | | | | | |
| Comunicación | RS485, Opcional: Wi-Fi, GPRS | | | | | | | | | | | | |